

NGU Rapport 2010.005

Returkraft AS planlagte forbrenningsanlegg i  
Langemyr – undersøkelse av tungmetaller og  
organiske miljøgifter i jord

Rapport nr.: 2010.005	ISSN 0800-3416	Gradering: Åpen
Tittel: Returkraft AS planlagte forbrenningsanlegg i Langemyr – undersøkelse av tungmetaller og organiske miljøgifter i jord		
Forfatter: H. K. B. Jensen, T. E. Finne og M. Andersson	Oppdragsgiver: Returkraft AS	
Fylke: Vest-Agder	Kommune: Kristiansand	
Kartblad (M=1:250.000)	Kartbladnr. og -navn (M=1:50.000)	
Forekomstens navn og koordinater:	Sidetall: 11 Kartbilag: -	Pris: 100,-
Feltarbeid utført: Nov. – Des. 2009	Rapportdato: 30.03.2010	Prosjektnr.: 334000 Ansvarlig:  Rolf Tore Ottesen

#### Sammendrag:

Våren 2010 starter Returkraft AS et avfallsforbrenningsanlegg i Langemyr, Kristiansand kommune. I den forbindelse har Returkraft AS ønsket å gjøre en kartlegging av konsentrasjonene av en rekke organiske miljøgifter og uorganiske elementer i overflatejord (0 – 2 cm) fra i alt 30 lokaliteter i et om lag 100 km<sup>2</sup> stort område rundt anlegget. De organiske miljøgiftene omfatter klorerte dioksiner/furaner (PCDD/F), 16 polsykliske aromatiske hydrokarboner (PAH<sub>16</sub>) og 7 polyklorerte bifenyldikongenere (PCB<sub>7</sub>). De uorganiske elementene omfatter As, Cd, Cr, Cu, Hg, Ni, Pb og Zn.

Dioksin/furan analysene viser lave konsentrasjoner. Kongenersammensetningen antyder at dioksinene har en "industrisignatur" lik analyseresultatet fra 1995 for utslipp av dioksiner til luft fra Elkem sitt daværende anlegg i Fiskå, Kristiansand. Dette anlegget er nå ombygget og heter Elkem Solar med registrerte utslipp av dioksiner fra 2008. Det kumulative frekvensdiagram for de 30 analyserte jordprøvene antyder at det muligvis er flere kilder for dioksiner. Andre mulige utslippskilder er Xstrata (tidligere Falconbridge) Nikkelverk AS, der utslippene til luft har vært Ni, Cu og Co.

Det er registrert lave konsentrasjoner av enkelte PAH forbindelser i 14 av 30 prøver. Høyeste PAH<sub>16</sub> er på 0,97 mg/kg jord, hvilket svarer til KLIF tilstandsklasse 1.

PCB<sub>7</sub> analysene viser at alle prøver har konsentrasjoner under deteksjonsgrensene for de individuelle PCB-kongenere. Det er dermed ikke registrert PCB i de 30 jordprøvene.

De uorganiske elementene har alle lave konsentrasjoner. Unntaket er Cr, som for enkelte prøver er i Klif tilstandsklasse 2.

Det anbefales en ny prøvetaking og analyse i de samme 30 prøvetakingspunktene om 10 år for å overvåke påvirkningen fra avfallsforbrenningsanlegget på omgivelsene.

Det er viktig å lagre prøvene fra denne undersøkelsen for å reanalyse disse prøvene sammen med en ny prøvetaking og kartlegging av miljøgifter på de samme lokalitetene i en fremtidig undersøkelse for å overvåke påvirkningen fra avfallforbrenningsanlegget.

Emneord: PAH <sub>16</sub>	PCB <sub>7</sub>	Dioksiner/furaner
Metaller	Jord/humus	forbrenningsanlegg

## **INNHOLD**

1.	INNLEDNING .....	4
2.	METODER.....	4
2.1	Prøvetaking .....	4
2.2	Prøvepreparering og kjemiske analyser.....	5
2.3	Kvalitetskontroll av uorganiske analyseresultater .....	5
3.	RESULTATER .....	6
3.1	Organiske forbindelser (dioksiner/furaner, PCB, PAH).....	6
3.1.1	Dioksiner (PCDD/F) .....	6
3.1.2	PAH og PCB .....	9
3.2	Uorganiske grunnstoffer .....	10
4.	KONKLUSJONER OG OPPFØLGNING .....	10
5.	REFERANSER .....	11

## **VEDLEGG (PDF-format i CD)**

### Vedlegg 1

Detaljert beskrivelse av prøvetakingen. Bilder av prøvetakingslokalitetene RTK01 – RTK30. Prøvetakingslokaliteter, koordinater og lokalitetsbeskrivelser. Spredningsberegninger for utslipp til luft (NILU-rapport nr. O-106056, Mars 2006)

### Vedlegg 2

PAH<sub>16</sub> og PCB<sub>7</sub> analyserapporter. AlControl AB, Linköping, Sverige.

### Vedlegg 3

Dioksin analyserapport. NILU rapport nr. O-6689.

### Vedlegg 4

Prøveliste og analyseresultater for prøver fra 30 lokaliteter (RTK01 – RTK30) inklusive innsatte standardprøver, HNO<sub>3</sub>-ekstrahert og analysert med AAS (Hg, As, Cd, Pb,) og ICP-AES (31 elementer). NGU Lab analyserapport nr.2010.0054.

### Vedlegg 5

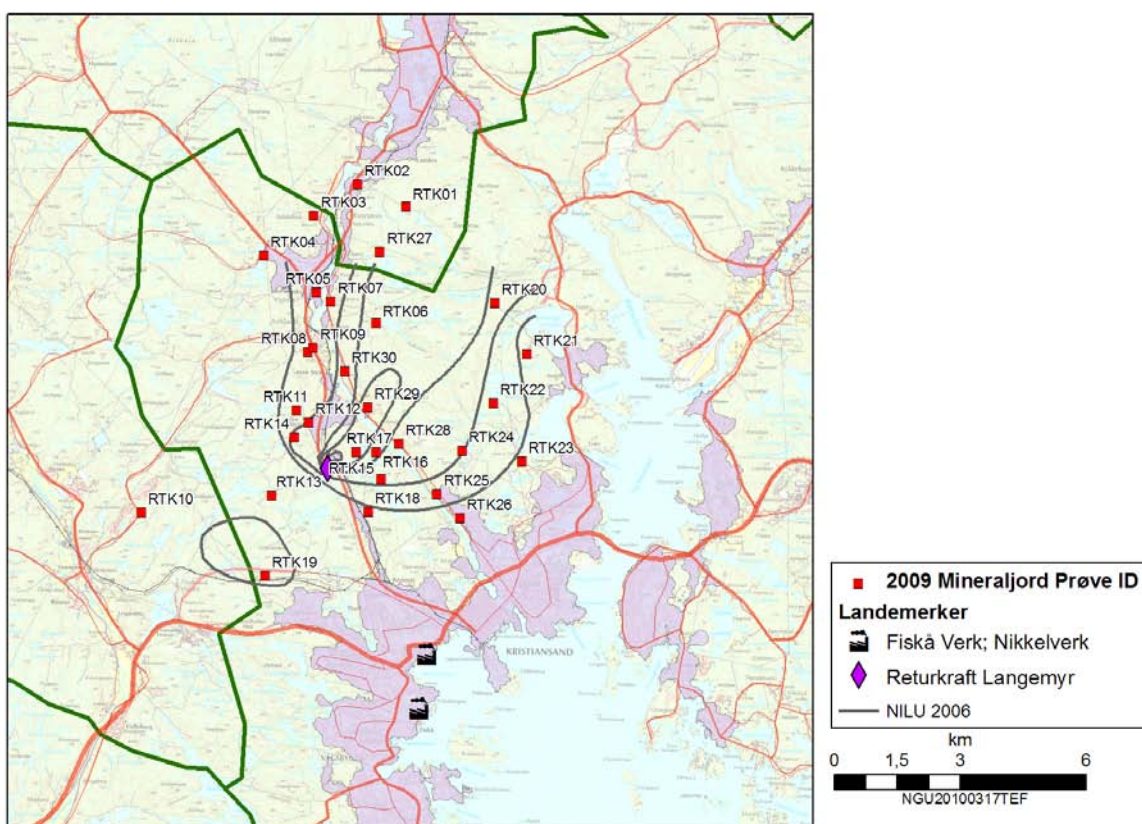
Kart over analysedata for As, Cd, Cr, Cu, Hg, Ni, Pb, Zn, PAH SUM16, og dioksiner. 10 kart.

### Vedlegg 6

Kumulative frekvensdiagrammer for As, Cd, Cr, Cu, Hg, Ni, Pb, Zn, PAH SUM16 og dioksiner.

## 1. INNLEDNING

Returkraft AS har etablert et avfallsforbrenningsanlegg på Langemyr i Kristiansand våren 2010. Som en del av dokumentasjonen av miljøtilstanden i området rundt anlegget før oppstart ble det utført prøvetaking og analyse av 30 jordprøver i ca. 100 km<sup>2</sup> omegn rundt anlegget (Figur 1). Prøvepunktene som er vist på kartet, ble planlagt i samarbeid med Returkraft AS. Utvelgelsen av prøvelokalitetene ble gjort med hensyn til nedslagsfelt beregnet av NILU i 2006 (Tønnesen, 2006).



**Figur 1. Prøvelokalitetene plassert rundt det planlagte forbrenningsanlegg i Langemyr. Større industrianlegg med utslipp til luft, Elkem Fiskå/Elkem Solar anlegget og Xstrata/Falconbridge nikkelsmelteverk er innplassert i kartet.**

## 2. METODER

### 2.1 Prøvetaking

Tretti jordprøver ble tatt med stål hagespade i tidsrommet 30. november – 3. desember 2009. Mineraljordas øverste 2 cm ble samlet i 3 parallelle prøver. Detaljert beskrivelse av prøvetakingen finnes i Vedlegg 1 sammen med fotodokumentasjon av samtlige lokaliteter.

## **2.2 Prøvepreparering og kjemiske analyser**

Prøver til uorganiske analyser ble sendt til NGU-Lab for analyse. Prøvene ble tørket i mindre enn 40 °C før sikting med 2 mm nylonsikt og ekstraksjon med HNO<sub>3</sub>.

Prøver til PAH<sub>16</sub> og PCB<sub>7</sub> analyse ble sendt til AlControl AB, Sverige for analyse. Prøvene er blitt ekstrahert med organisk løsemiddel før de ble analysert i henholdsvis gass kromatografi – masse spektrometri instrument (GC-MS) for PAH<sub>16</sub> og gass kromatografi – "electron capture detektor" (GC-ECD) for PCB<sub>7</sub> analysene. Mer detaljerte metodebeskrivelser og analyseresultatene finnes i Vedlegg 2.

Prøver til dioksin/furan analyse ble sendt til NILU, Kjeller for analyse. Prøvene ble ekstrahert med toluen som løsningsmiddel. Den detaljerte beskrivelsen av opparbeiding av ekstraktene til analyse finnes i Vedlegg 3. Analyseresultatene er presentert i samme vedlegg.

For de uorganiske analysene ble alle bestemmelsene gjort ved NGUs laboratorium, NGULab. Ett gram prøve fra hver av de 30 jordprøvene ble sluttet opp i 7 N HNO<sub>3</sub> i autoklav (Norsk Standard – NS 4770). Arsen, kadmium og bly ble bestemt ved atomabsorpsjons spektrofotometri med grafittovnsteknikk (GF-AAS). Kvikksov er bestemt med kalddampsteknikk (CV-AAS). De resterende grunnstoffene (silisium, aluminium, jern, titan, magnesium, kalsium, natrium, kalium, fosfor, **kobber**, sink, bly, **nikkel**, kobolt, vanadium, molybden, kadmium, **krom**, barium, zirkon, strontium, sòlv, bor, beryllium, litium, scandium, cerium, lantan, yttrium og arsen) er bestemt med plasmaspektrometri (ICP-AES). Glødetapsresultatene ved 480°C representerer det organiske karbon i prøvene. Glødetapet i prøvene ble bestemt med gravimetrisk metode. NGU rapporterer i denne rapport de elementene som vurderes som forurensende i henhold til KLIF: arsen, bly, kadmium, kobber, krom, kvikksov, nikkel og sink. Der GF-AAS metode er brukt er det disse resultatene som er benyttet for å dra nytte av bedre (lavere) deteksjonsgrenser. Samtlige uorganiske analyser finnes i Vedlegg 4.

## **2.3 Kvalitetskontroll av uorganiske analyseresultater**

Det er inkludert to naturlige standarder i prøveserien, med 5 prøver av hver standard fordelt ut i hele prøveserien. De to standardene, STD KDF og STD Hynne er rapportert sammen med de 30 jordprøvene i NGULab analyserapporten for ICP-AES, GF-AAS og CV-AAS.

### **3. RESULTATER**

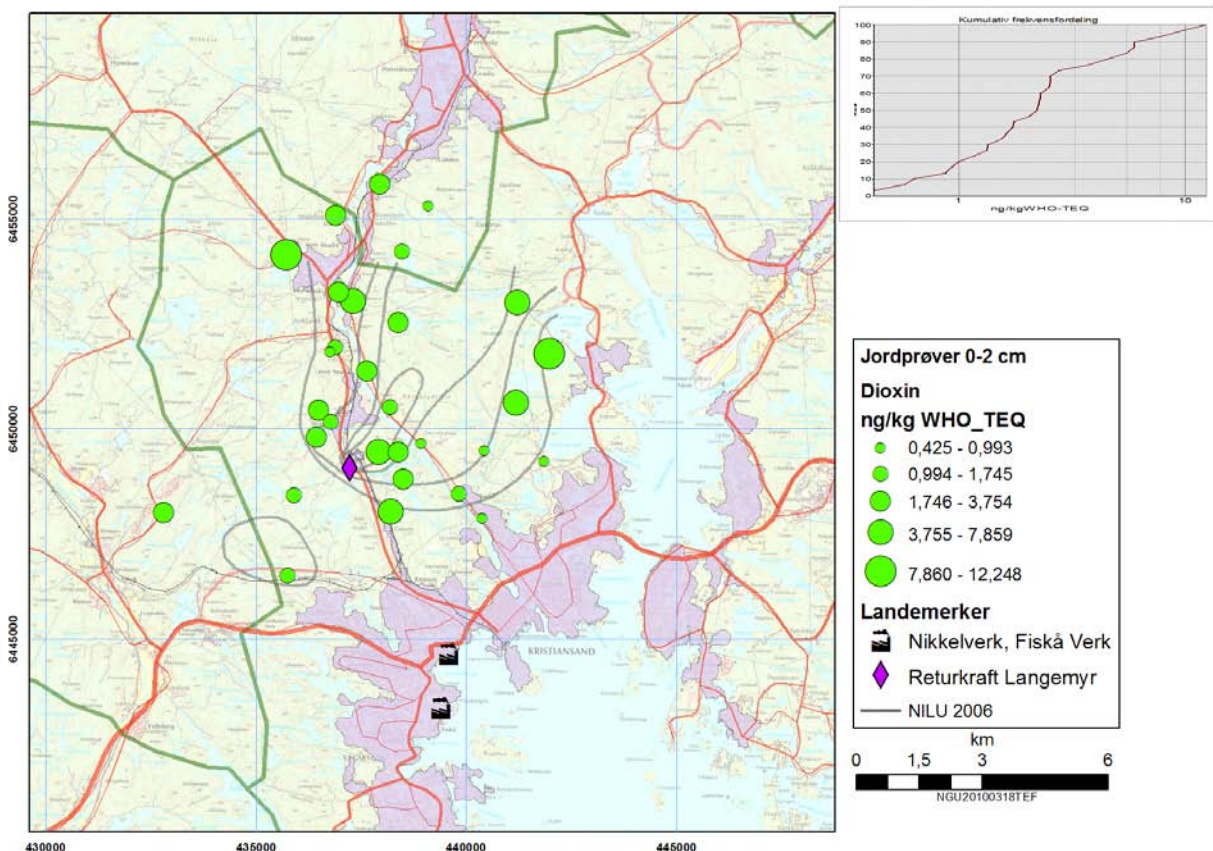
Geokjemiske data fra samtlige analyser finnes i Vedleggene 2-4. I de fleste sammenhenger benyttes konsentrasjonsenheten mg/kg jord. Denne er ekvivalent med ppm (parts per million), som er benyttet der plasshensyn krever det. For å kunne operere med datasett for alle observasjoner er alle analyseresultater rapportert < deteksjonsgrense satt til verdien 0,5 \* deteksjonsgrense for det gjeldende stoff.

#### **3.1 Organiske forbindelser (dioksiner/furaner, PCB, PAH)**

De geokjemiske kartene for de organiske forbindelser er presentert i Vedlegg 5. Alle analysedata er gitt i samme vedlegg. Det er beregnet statistiske parametere for alle kjemiske elementer i datasettet (Tabell 1). Medianverdien for alle de organiske forbindelsene er svært lave.

##### **3.1.1 Dioksiner (PCDD/F)**

Alle dioksinresultat vises i Vedlegg 3. Dioksinkonsentrasjonene i overflatejord i de 30 analyserte prøvene varierer fra 0,43 - 12,2 ng WHO-TEQ/kg (Figur 2). Mediane konsentrasjonen er 2,2 ng WHO-TEQ/kg, som er svært lav. Kartet viser ingen distinkte geografiske konsentrasjonsmønster. Området som er prøvetatt er sannsynligvis for lite for å definere klare konsentrasjonsmønster som kan indikere dioksinkilder. For å kunne påvise et mønster og se relative konsentrasjonsforskjeller bør det tas prøver i hele by-området.



**Figur 2.** Figuren viser plassering av prøvepunkter samt konsentrasjonen i ng WHO-TEQ/kg.

Tabell 1 viser andre områder i Norge. En sammenligning viser lignende konsentrasjoner i andre bynære områder.

**Tabell 1. Statistiske parametere for innholdet av dioksin/furan i overflatejord fra Bergensregionen (ng I-TEQ/kg), Trondheim og Kristiansand (ng WHO-TEQ/kg).**

Område	Min	Max	Median	Antall prøver
Bergensregionen <sup>1)</sup>	0,43	11,7	4,61	8
Trondheim <sup>2)</sup>	0,18	14,0	1,6	50
Kristiansand	0,43	12,2	2,2	30

<sup>1)</sup> Ottesen og Volden 1999

<sup>2)</sup> Andersson og medarbeidere 2006

Kun en prøve ligger i tilstandsklasse 2 (Tabell 2), resterende prøver kan klassifisieres som ren jord (Klif, 2009). Ingen av prøvene overskridet tiltaksgrensen for dioksin/furan for jord i barnehager og lekeplasser på 20 ng WHO-TEQ/kg (Klif, 2007).

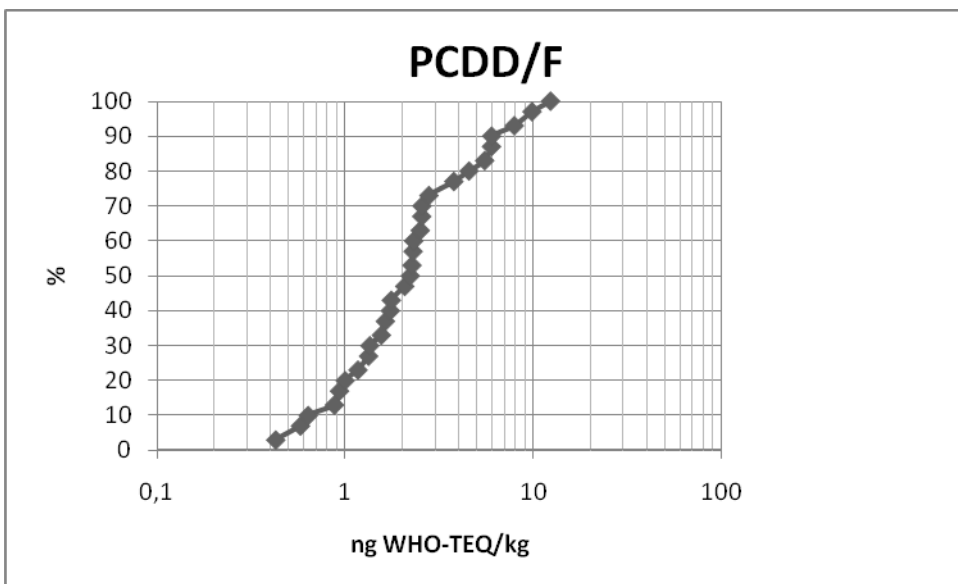
**Tabell 2. Helsebaserte tilstandsklasser for dioksiner/furaner.**

Tilstandsklasse	1	2	3	4	5
	Meget god	God	Moderat	Dårlig	Svært dårlig
ng WHO-TEQ/kg	<10	10-20	20-100	100-360	360-15000

Den kumulative frekvensfordelingskurven for PCDD/F opptrer som en linje med en knekk ved ca 2,5 ng WHO-TEQ/kg (Figur 3). Dette kan indikere to hovedkilder for dioksin i lokalområdet.

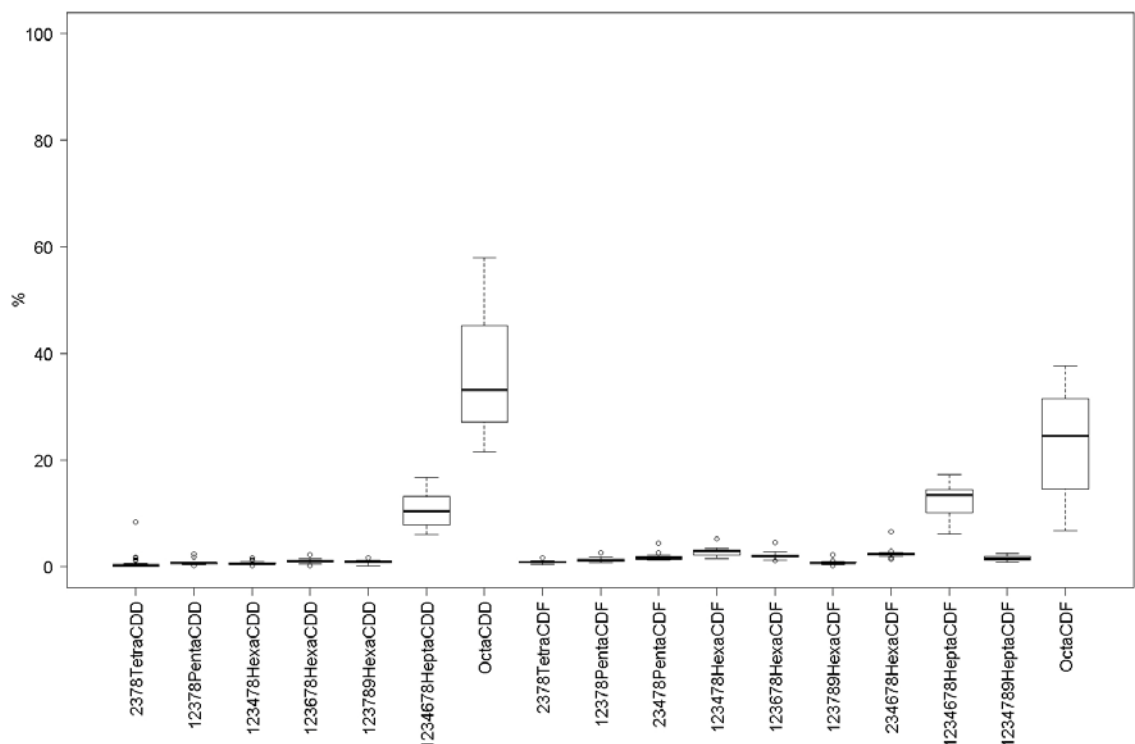
Det er en bedrift i området som er pålagt å rapportere dioksinutslipp til luft: Elkem Fiskå Silicon (1990 - 2005/), Elkem Solar (2008 - ). Xstrata Nikkelverk (tidligere Falconbridge Nikkelverk) har rapportert inn prøvetaking og analyser for dioksiner til luft til Klif siden 1994. For Nikkelverket er samtlige årsverdier for utslipp av dioksin til luft rapportert til 0.0 gram på Klif sin nettside. Det vises til følgende hjemmeside for utslippene:

(<http://www.norskeutslipp.no/Templates/NorskeUtslipp/Pages/listPage.aspx?id=50&epslanguage=no>)

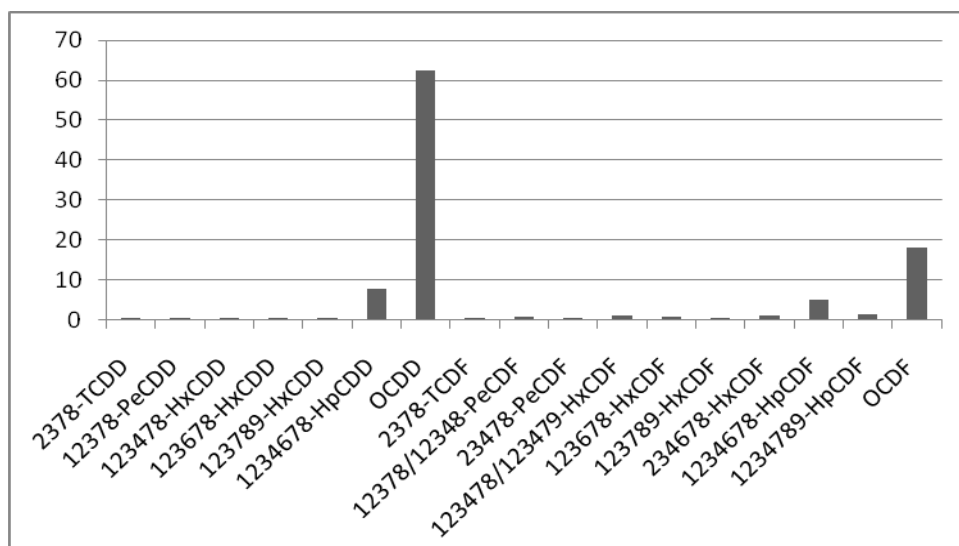


**Figur 3. Kumulativ frekvensfordeling for innholdet av dioksiner i 30 prøver av overflatejord fra området Nodeland-Ålefjær-Vennesla.**

Figur 4 viser kongenerprofiler for de 30 dioksinanalyser på overflatejord som er utført. Profilene viser de 17 toksiske kongenerne som %-andeler av den totale summen av kongenerne, mens Figur 5 viser profilen for en analyse av røykgassen fra Elkem Fiskaa (1995) som forfatterne har klart å finne. Profilen viser avvik fra "vanlige" byprofiler, som Trondheim og Bergen ved en høyere andel av OctaCDF. En lignende profil som den i denne undersøkelse kan ses i jordprøver fra Porsgrunn (Andersson og medarbeidere, 2010). Dermed kan man si at profilen ligner en "industriprofil" som trolig er pga kilder som skiller seg fra kilder som opptrer i bymiljøer (vedfyring, trafikk etc). Andersson m. fl. (2010) viser at dioksin profiler fra røykgass fra avfalls forbrenningsanlegg i Bergen og Trondheim viser visse forskjeller fra kongenermønstret i dioksinene i jordprøvene rundt Langemyr. Det er blant annet en lavere prosentvis andel av octaCDF i røykgassen fra forbrenningsanlegg.



**Figur 4.** Kongenermønstre for jordprøvene i denne undersøkelse.



**Figur 5.** Kongenermønstre for røykgassprøve tatt i 1995 fra Elkem Fiskå anlegget.

### 3.1.2 PAH og PCB

Samtlige 30 prøver har PCB konsentrasjoner for 7 kongenere under deteksjonsgrensen på 0,003 mg/kg for de enkelte kongenere.

PAH-analysene viser at det er lave PAH SUM16 konsentrasjoner i 14 av de 30 jordprøvene. Seksten prøver har samtlige 16 PAH forbindelser under deteksjonsgrensene. Høyeste PAH SUM16 konsentrasjon er 0,97 mg/kg.

### 3.2 Uorganiske grunnstoffer

Vedlegg 4 gjengir analyserapporten fra NGU Lab i sin helhet. Analyserapporten inneholder ytterligere opplysninger om analysemetoder og -kvalitet. De eksterne analyserapportene er presentert i Vedlegg 2 og Vedlegg 3. Denne rapporten viser resultatene for arsen og tungmetallene bly, kadmium, kobber, krom, kvikksølv, nikkel og sink. Kumulativ frekvensfordelingsdiagrammer for elementene arsen, bly, kadmium, kobber, krom, kvikksølv, nikkel og sink finnes i Vedlegg 6. Minimum, maksimum, gjennomsnitt og medianverdier er presentert i Tabell 4.

**Tabell 4. Statistiske parametere for tungmetaller og arsen i 30 prøver av overflatejord fra området Nodeland-Ålefjær-Vennesla..**

Kjemisk stoff	Minimum	Max	Gjennomsnitt	Median
Arsen (As) [mg/kg]	1,4	14,2	4,7	3,7
Bly (Pb) [mg/kg]	1,6	91,4	34,4	30,0
Kadmium (Cd) [mg/kg]	<0,02	1,7	0,2	0,2
Kobber (Cu) [mg/kg]	<1	23,1	10,2	10,5
Krom (Cr) [mg/kg]	1,1	169	20,7	10,0
Kvikksølv (Hg) [mg/kg]	<0,005	0,11	0,04	0,04
Nikkel (Ni) [mg/kg]	1,4	89,6	15,0	11,0
Sink (Zn) [mg/kg]	7,6	249	68,7	54,2

Tilstandsklasser for forurenset grunn. Konsentrasjonene er angitt i mg/kg TS.

Tilstandsklasse	1	2	3	4	5
Stoff	Meget god	God	Moderat	Dårlig	Svært dårlig
Arsen	< 8	8-20	20-50	50-600	600-1000
Bly	< 60	60 -100	100-300	300-700	700-2500
Kadmium	<1,5	1,5-10	10-15	15-30	30-1000
Kvikksølv	<1	1-2	2-4	4-10	10-1000
Kobber	< 100	100-200	200-1000	1000-8500	8500-25000
Sink	<200	200-500	500-1000	1000-5000	5000-25000
Krom (III)	<50	50-200	200-500	500-2800	2800-25000
Krom (VI)	<2	2-5	5-20	20-80	80-1000
Nikkel	< 60	60- 135	135-200	200-1200	1200-2500

## 4. KONKLUSJONER OG OPPFØLGNING

Det er generelt lave konsentrasjoner av tungmetaller, arsen, PAH og dioksiner i de 30 jordprøvene tatt i området rundt det planlagte forbrenningsanlegget i Langemyr.

Dioksin/furan kongener sammensetningen i jordprøvene ligner på kongenersammensetningen av dioksinutslipp til luft fra Elkem Fiskå anlegget (nå Elkem Solar) prøvetatt og analysert i 1995. PAH forekommer i lave konsentrasjoner i 14 av 30 lokaliteter. På de resterende 16 lokaliteter er PAH-konsentrasjonene under deteksjonsgrensene.

PCB-verdiene for samtlige prøver er under deteksjonsgrensen.

For å overvåke en mulig effekt av avfallsforbrenningsanlegget i Langemyr bør ny prøvetaking av jord på de samme lokalitetene foretas 10 år etter igangsetting av forbrenningsanlegget. Ny prøvetaking og analyse gjøres vanligvis etter 10 år ved andre norske forbrenningsanlegg, eksempelvis Trondheim og Bergen.

Det er viktig å lagre prøvene fra denne undersøkelsen for å re-analysere disse prøve sammen med en ny prøvetaking og kartlegging av miljøgifter på de samme lokalitetene i en fremtidig undersøkelse. NGU har på anmodning fra Returkraft AS påtatt seg denne lagringen.

## 5. REFERANSER

Anderson M. og Volden T., 2008. Overvåking av jordforurensing i Rådalen, Bergen 1998 – 2007. NGU-rapport 2008.001.

Andersson M., Ottesen R.T. og Haugland T., 2006. Overvåking av jordforurensning i Trondheim 1994-2004. NGU rapport 2006.033.

Andersson M., Holt Y. og Eggen O.A., 2010. Polychlorinated dibenzo-p-dioxins and dibenzofurans (PCDD/F) in urban surface soil in Norway. Mapping the Chemical Environment of Urban Areas (utgis i 2010 av John Wiley & Sons Ltd.).

Klif, 2009. Helsebaserte tilstandsklasser for forurensset grunn. Klif-rapport TA-2553.

Klif, 2007. Veileder for undersøkelse av jordforurensning i barnehager og på lekeplasser på industristeder. Klif-rapport TA-2263

Ottesen R.T. og Volden T., 1999. Jordforurensning i Bergen. NGU-rapport 99.022.

Ottesen R. T., Bogen J., Bølviken B., Volden T. og Haugland T., 2000. Geokjemisk atlas for Norge, del 1: Kjemisk sammensetning av flomsedimenter. Norges Geologiske Undersøkelse, ISBN:82-7385-192-3. 140 sider.

Tønnesen D., 2006. Spredningsberegninger for utslipp til luft fra alternativ F8, energianlegg i Kristiansand. NILU rapport O-10605, 18s.

## **Vedlegg 1**

- Detaljert beskrivelse av prøvetakingen.
- Fotos av lokalitetene RTK01 – RTK30.
- Prøvetakingslokaliteter, koordinater og lokalitetsbeskrivelser.

## **Detaljert beskrivelse av prøvetakingen**

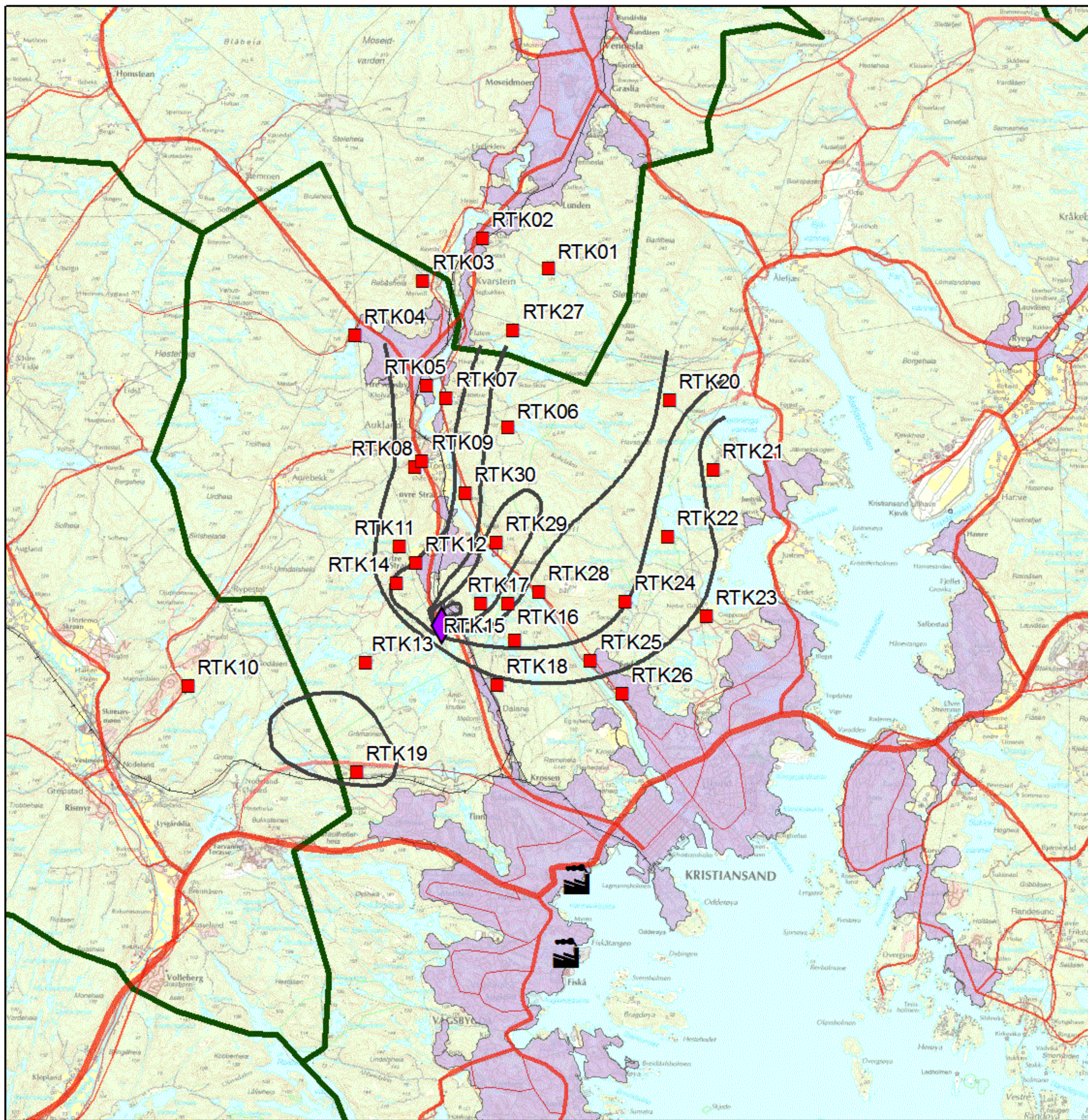
De 30 prøvepunktene ble lagt ut på kart for å gi best dekning av området rundt forbrenningsanlegget i henhold til spredningsmodellen utarbeidet av Tønnesen (2006), men også slik at man ville beskrive tilstanden oppstrøms fremherskende vindretning. Planen ble lagt fram først for Returkraft i forkant av feltarbeidet, og endelig justering foretatt på møte om morgenens første feltdag. Da kom også punktet i barnehagen på Nodeland i Songdalen kommune på lista, slik at det er 5 punkter som kan regnes å være oppstrøms i forhold til forventet avsetning fra anlegget på Langemyr.

Prøvelokalitetenes karakter varierer mye, ettersom det var ønskelig å dekke både barns oppvekstmiljø og mer perifere friluftsområder, så vel som lokaliteter i forbrenningsanleggets nærområde. Alle lokalitetene er imidlertid beskrevet med koordinater, foto og kommentar, og skal kunne benyttes i framtidig undersøkelse for å dokumentere om forbrenningsanlegget påvirker det kjemiske miljøet i jorda i det undersøkte området.

Prøvene ble samlet inn i tidsrommet 30.11 – 3.12.2009. I samme periode ble det gjort feltarbeid i tilstøtende områder for en byomfattende kartlegging, slik at medgått tid ble som planlagt for de lokalitetene som utgjør grunnlaget for denne rapporten. På ovennevnte møte ble det også bekreftet at prosjektforslagets punkt om at prøvemateriale som inngår i denne undersøkelsen kan benyttes av NGU senere i andre prosjekter gjelder. I praksis ble det i felt tatt ut ekstra materiale emballert separat for framtidig arbeid.

På prøvestedet ble vegetasjon fjernet, og de øverste 2cm av mineraljord prøvetatt vha stålspade. Prøver innsamlet for metallanalyser ble oppbevart i polyetylenposer, mens de prøvene som skulle til bestemmelse av PAH, PCB og dioksin ble emballert i RILSAN-poser. Prøvene for metallanalyser utgjorde 2-3dl, mens volumet av hver av PAH+PCB prøvene og dioksin-prøvene var om lag 5dl.

Lokalitetene ble fotografert og posisjon bestemt med GPS. Et kort notat ble gjort mhp lokalitetens og/eller prøvematerialets beskaffenhet. Seks av lokalitetene er barnehager, de fem i Kristiansand kommune (Eventyrskogen, Høietun, Mosby, Strai og Jegersberg – dvs Kristiansand Montessori) ble undersøkt ved barnehageundersøkelsen i 2008 (Vatland, 2009a og 2009b).



■ 2009 Mineraljord Prøve ID  
Landemerker

■ Fiskå Verk; Nikkelverk

◆ Returkraft Langemyr

— NILU 2006

km  
0 1,5 3 6

NGU20100317TEF

Sampl_ID	Field_Date	UTMz	mE32wgs	mN32wgs	XYmet	Pos_Err_m	Long	Lat	Altitude_m	Alt_met	Prøvemedium
RTK01	2009-11-30	32	439097,1	6455306,9	92		3 7,962834	58,234680	158,3	GPS	Mineraljord
RTK02	2009-11-30	32	437947,9	6455829,3	92		3 7,943129	58,239210	50,8	GPS	Mineraljord
RTK03	2009-11-30	32	436906,9	6455081,2	92		3 7,925606	58,232345	45,3	GPS	Mineraljord
RTK04	2009-11-30	32	435707,5	6454136,5	92		3 7,905446	58,223687	99,4	GPS	Mineraljord
RTK05	2009-11-30	32	436975,0	6453250,0	92		3 7,927260	58,215910	0,6	GPS	Mineraljord
RTK06	2009-11-30	32	438387,3	6452535,3	92		3 7,951484	58,209691	95,3	GPS	Mineraljord
RTK07	2009-11-30	32	437312,8	6453030,6	92		3 7,933069	58,213988	17,2	GPS	Mineraljord
RTK08	2009-11-30	32	436771,7	6451828,8	92		3 7,924187	58,203118	27,3	GPS	Mineraljord
RTK09	2009-11-30	32	436887,0	6451942,0	92		3 7,926118	58,204151		GPS	Mineraljord
RTK10	2009-12-01	32	432795,0	6448003,1	92		3 7,857643	58,168175	103,9	GPS	Mineraljord
RTK11	2009-12-01	32	436490,5	6450448,6	92		3 7,919780	58,190683	41,7	GPS	Mineraljord
RTK12	2009-12-01	32	436773,6	6450163,8	92		3 7,924672	58,188166	36,4	GPS	Mineraljord
RTK13	2009-12-01	32	435893,6	6448422,9	92		3 7,910187	58,172405	133,0	GPS	Mineraljord
RTK14	2009-12-01	32	436440,9	6449806,8	92		3 7,919112	58,184912	50,8	GPS	Mineraljord
RTK15	2009-12-01	32	438500,8	6448809,6	92		3 7,954398	58,176249	111,6	GPS	Mineraljord
RTK16	2009-12-01	32	438393,2	6449445,8	92		3 7,952401	58,181947	98,9	GPS	Mineraljord
RTK17	2009-12-01	32	437909,5	6449452,9	92		3 7,944176	58,181943	119,1	GPS	Mineraljord
RTK18	2009-12-01	32	438204,2	6448018,8	92		3 7,949567	58,169106	27,0	GPS	Mineraljord
RTK19	2009-12-01	32	435741,7	6446506,8	92		3 7,908132	58,155176	114,5	GPS	Mineraljord
RTK20	2009-12-02	32	441215,0	6453000,5	92		3 7,999479	58,214255	79,4	GPS	Mineraljord
RTK21	2009-12-02	32	441972,0	6451781,4	92		3 8,012665	58,203407	66,7	GPS	Mineraljord
RTK22	2009-12-02	32	441182,2	6450619,2	92		3 7,999523	58,192865	27,8	GPS	Mineraljord
RTK23	2009-12-02	32	441861,4	6449223,0	92		3 8,011422	58,180417	9,0	GPS	Mineraljord
RTK24	2009-12-02	32	440431,1	6449489,2	92		3 7,987038	58,182617	90,5	GPS	Mineraljord
RTK25	2009-12-02	32	439833,6	6448452,3	92		3 7,977146	58,173224	53,5	GPS	Mineraljord
RTK26	2009-12-02	32	440380,5	6447876,4	92		3 7,986590	58,168127	4,9	GPS	Mineraljord
RTK27	2009-12-02	32	438481,6	6454219,4	92		3 7,952643	58,224828	107,3	GPS	Mineraljord
RTK28	2009-12-03	32	438927,7	6449648,4	92		3 7,961436	58,183841	3,7	GPS	Mineraljord
RTK29	2009-12-03	32	438185,4	6450518,3	92		3 7,948585	58,191550	22,2	GPS	Mineraljord
RTK30	2009-12-03	32	437641,0	6451374,0	92		3 7,939098	58,199158	8,3	GPS	Mineraljord

Sampl_ID	Prøvetype	Hoved	Dup	Tri	Taker1	Taker2	Sampl_met	Field_treat	Wrapping	Sampl_vol	Vol_un	Sampl_wt	Wt_unit
RTK01	Punktprøve	X			TEF		Spade		PE pose_metall;Rilsan_POPS		500	g	
RTK02	Punktprøve	X			TEF		Spade		PE pose_metall;Rilsan_POPS		500	g	
RTK03	Punktprøve	X			TEF		Spade		PE pose_metall;Rilsan_POPS		500	g	
RTK04	Punktprøve	X			TEF		Spade		PE pose_metall;Rilsan_POPS		500	g	
RTK05	Punktprøve	X			TEF		Spade		PE pose_metall;Rilsan_POPS		500	g	
RTK06	Punktprøve	X			TEF		Spade		PE pose_metall;Rilsan_POPS		500	g	
RTK07	Punktprøve	X			TEF		Spade		PE pose_metall;Rilsan_POPS		500	g	
RTK08	Punktprøve	X			TEF		Spade		PE pose_metall;Rilsan_POPS		500	g	
RTK09	Punktprøve	X			TEF		Spade		PE pose_metall;Rilsan_POPS		500	g	
RTK10	Punktprøve	X			TEF		Spade		PE pose_metall;Rilsan_POPS		500	g	
RTK11	Punktprøve	X			TEF		Spade		PE pose_metall;Rilsan_POPS		500	g	
RTK12	Punktprøve	X			TEF		Spade		PE pose_metall;Rilsan_POPS		500	g	
RTK13	Punktprøve	X			TEF		Spade		PE pose_metall;Rilsan_POPS		500	g	
RTK14	Punktprøve	X			TEF		Spade		PE pose_metall;Rilsan_POPS		500	g	
RTK15	Punktprøve	X			TEF		Spade		PE pose_metall;Rilsan_POPS		500	g	
RTK16	Punktprøve	X			TEF		Spade		PE pose_metall;Rilsan_POPS		500	g	
RTK17	Punktprøve	X			TEF		Spade		PE pose_metall;Rilsan_POPS		500	g	
RTK18	Punktprøve	X			TEF		Spade		PE pose_metall;Rilsan_POPS		500	g	
RTK19	Punktprøve	X			TEF		Spade		PE pose_metall;Rilsan_POPS		500	g	
RTK20	Punktprøve	X			TEF		Spade		PE pose_metall;Rilsan_POPS		500	g	
RTK21	Punktprøve	X			TEF		Spade		PE pose_metall;Rilsan_POPS		500	g	
RTK22	Punktprøve	X			TEF		Spade		PE pose_metall;Rilsan_POPS		500	g	
RTK23	Punktprøve	X			TEF		Spade		PE pose_metall;Rilsan_POPS		500	g	
RTK24	Punktprøve	X			TEF		Spade		PE pose_metall;Rilsan_POPS		500	g	
RTK25	Punktprøve	X			TEF		Spade		PE pose_metall;Rilsan_POPS		500	g	
RTK26	Punktprøve	X			TEF		Spade		PE pose_metall;Rilsan_POPS		500	g	
RTK27	Punktprøve	X			TEF		Spade		PE pose_metall;Rilsan_POPS		500	g	
RTK28	Punktprøve	X			TEF		Spade		PE pose_metall;Rilsan_POPS		500	g	
RTK29	Punktprøve	X			TEF		Spade		PE pose_metall;Rilsan_POPS		500	g	
RTK30	Punktprøve	X			TEF		Spade		PE pose_metall;Rilsan_POPS		500	g	

Sampl_ID	Fro_d	To_de	Depth_c	Min_grain	Mx_grain	Grain_Random	Field_time
RTK01	0	3 cm	0	2 mm	1	09:59	
RTK02	0	3 cm	0	2 mm	2	10:47	
RTK03	0	3 cm	0	2 mm	3	11:24	
RTK04	0	3 cm	0	2 mm	4	13:40	
RTK05	0	3 cm	0	2 mm	5	15:23	
RTK06	0	3 cm	0	2 mm	8	15:59	
RTK07	0	3 cm	0	2 mm	9	16:28	
RTK08	0	3 cm	0	2 mm	10	17:13	
RTK09	0	3 cm	0	2 mm	11	17:46	
RTK10	0	3 cm	0	2 mm	12	09:19	
RTK11	0	3 cm	0	2 mm	15	10:04	
RTK12	0	3 cm	0	2 mm	16	10:28	
RTK13	0	3 cm	0	2 mm	17	11:24	
RTK14	0	3 cm	0	2 mm	18	12:08	
RTK15	0	3 cm	0	2 mm	19	14:15	
RTK16	0	3 cm	0	2 mm	22	14:52	
RTK17	0	3 cm	0	2 mm	23	15:35	
RTK18	0	3 cm	0	2 mm	24	16:28	
RTK19	0	3 cm	0	2 mm	25	17:19	
RTK20	0	3 cm	0	2 mm	26	09:16	
RTK21	0	3 cm	0	2 mm	29	09:59	
RTK22	0	3 cm	0	2 mm	30	12:47	
RTK23	0	3 cm	0	2 mm	31	13:46	
RTK24	0	3 cm	0	2 mm	32	15:05	
RTK25	0	3 cm	0	2 mm	33	15:58	
RTK26	0	3 cm	0	2 mm	36	16:32	
RTK27	0	3 cm	0	2 mm	37	17:26	
RTK28	0	3 cm	0	2 mm	38	09:21	
RTK29	0	3 cm	0	2 mm	39	09:56	
RTK30	0	3 cm	0	2 mm	40	10:40	

Sampl_ID	Note_No	Cm-Cover	Cover
RTK01	Bergrygg i forholdsvis flatt torv område,v X vei til Sagevann, sti til Åballknutei	10	torv
RTK02	(Glasi)fluvial lateral avsetning opp fra skolegård;Lavvo og lekeområde	0	
RTK03	Ved >20 år gml tømmervei 10m ovenfor bekkeslette;leirdueskyting	1	mose,g
RTK04	Høletun BHG,Organisk rik jord opparbeidet vegetasjonsskjerm	0	
RTK05	Mosby bhg utenfor sandkasse, siden kassesand skiftes (annen)hvert år	0	
RTK06	Residualjord på fjell,Høy LOI,Ved siden av sti ved dam	1	strø
RTK07	5m høyere enn hovedveg,forbi kraftlinje	1	mose
RTK08	Knust berg?+mer org materiale,Ved foten av lekehus	0	
RTK09	Torridal skole,Nedenfor sand lekeplass	1	gras
RTK10	Tunballen bhg,Org rik jord i treklynge, berg,Permanent landskapselement	1	strø
RTK11	Eventyrskogen bhg,Opp fra sandområdet i heller bratt skråning,Mose,gress	1	strø
RTK12	Strai bhg,Ved "båt",Under gress,podzolaktig jordprofil	1	gras
RTK13	N for trig-pkt,Under 8cm humus,brunjord,NGUpøve under RTKprøve	1	torv
RTK14	250m? fra grustak,Prøve fra skjæring i gml kjerreveg	1	mose
RTK15	Prøve fra under 5cm humus,Brun jord,Furu og eik	2	strø
RTK16	Silt ved fastfjell,ved sti,Smyle(Deschampsia)?	1	gras
RTK17	Mineralisert humus?N for 25m høyt stup,Eik,	1	strø
RTK18	Ovenfor gml "vei" i forlatt slalåmbakke,20m ovenfor dalbunnen,skraphaug	1	strø
RTK19	Utkant av flatt område på motsatt side av "veg" ift lysløype,Fin sand	1	mose
RTK20	N-siden av sti og NE av 80m høyt stup,Høy LOI	2	strø
RTK21	4cm humus over prøven,Humus-blandet rustbrun jord	2	gras
RTK22	Siltig,organisk rik flate 20m fra sti T-kryss,Vier,eik,	1	strø
RTK23	Jegersberg bhg,Sandrop i vrimleområde	0	
RTK24	Meget homogent grått, siltig materiale,naturlig form	1	gras
RTK25	Liten mineraljordavsetning nedenfor gammel sti,Iblandet humus fra 7cm humi	3	strø
RTK26	Kant av "terrasse",sand med noe knust stein	3	gras
RTK27	Brunjord i kontakt med fastfjell på ene siden,Stedet er lønnepllass el,l	0	
RTK28	Hovedsakelig mineralisert humus+noe residualjord,N for P-plass for anleggsm	1	strø
RTK29	Marin leire,traktorflyttet?,Et par småstein,Kanten av to jorder m høydeforskjell	1	gras
RTK30	Fra "veg"skjæring ca 20m høyere enn hovedveg,Gran	1	mose

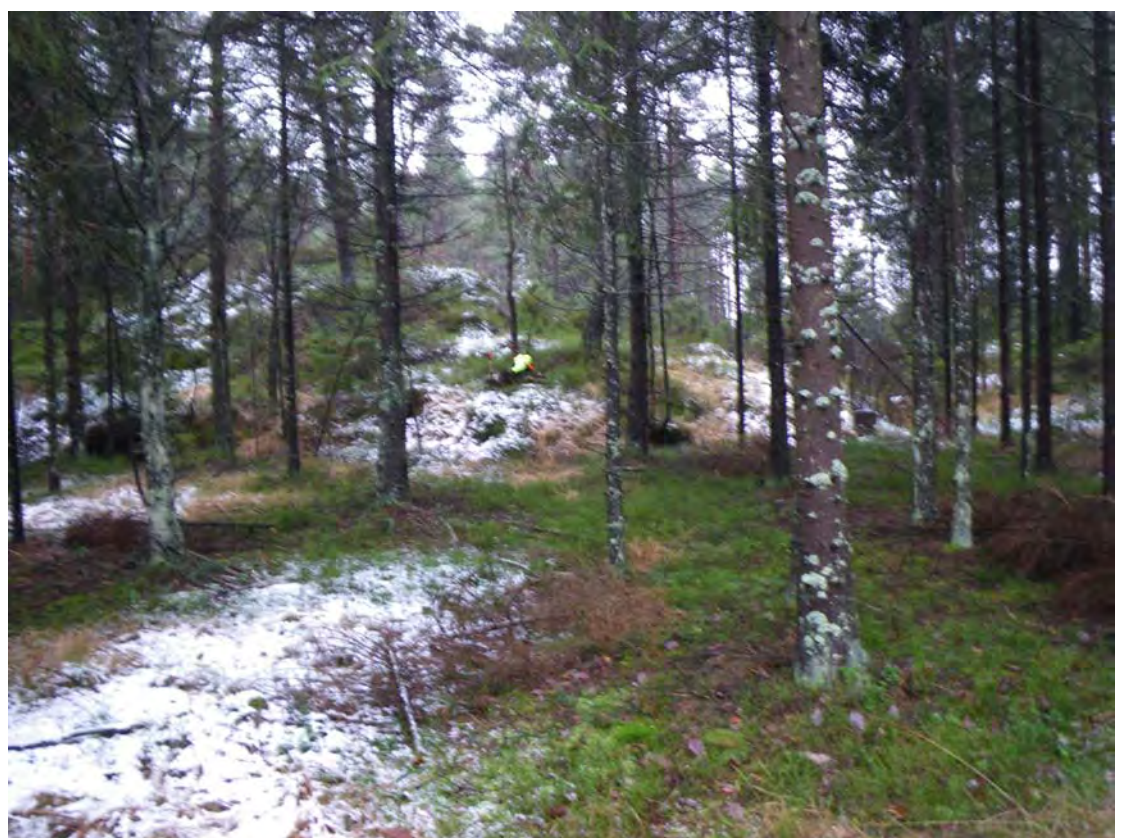
Sampl_ID	Note	NGU-batch	WHO-TEQ	%LOI480
RTK01	Rock ridge in fairly level peat area,By X rd to SagevannXpathÅbållknuten	2010,0025	0,4250	7,25
RTK02	(Glaci)fluvial lateral dep uphill from school yd;Lavvo+playarea	2010,0025	2,2780	9,64
RTK03	By >20yrs old logging rd 10m above stream flat;skeet shooting	2010,0025	2,2473	9,76
RTK04	Høletun BHG,Org rich soil in plantation shelter	2010,0025	12,2478	7,47
RTK05	Mosby BHG,Outside of sandbasins,as sand is changed (bi)annually	2010,0025	2,0584	3,65
RTK06	Res soil on BR,High LOI,Next to track by dam	2010,0025	3,7537	10,91
RTK07	5m up from highway,behind el line	2010,0025	5,9594	9,37
RTK08	Crushed rock?+more org content,At base of playhouse	2010,0025	0,6321	4,12
RTK09	Torridal Skole,Down from sand play lot	2010,0025	1,1620	2,94
RTK10	Tunballen BHG,Org rich soil in tree cluster -rocks,Permanent landscape feature	2010,0025	2,7664	19,76
RTK11	Eventyrskogen BHG,Up from sand area,in rather steep slope,Moss,grass	2010,0025	2,4908	16,98
RTK12	Strai BHG,Behind "boat",Under grass,podzol-like soil profile	2010,0025	1,3427	6,08
RTK13	N of trif pt,Under 8cm humus,brown soil,NGUsample deeper than RTK	2010,0025	1,6228	5,03
RTK14	250m? from gravel quarry,Sample cut from "rd"cut	2010,0025	2,5349	9,79
RTK15	Sample from under 5cm humus,Brown soil,Pine+oak trees	2010,0025	2,5393	7,10
RTK16	Silt next to bedrock,by footpath,Deschampsia?	2010,0025	2,2953	13,82
RTK17	Mineralized humus?,N of 25m high cliff,Oak	2010,0025	5,4723	6,37
RTK18	Up from old "rd" for abandoned slalom hill,20m above valley floor,junkyard	2010,0025	4,5169	8,32
RTK19	Outskirt of level area on opposite side of "rd" compared to el-ski track,Fine sand,	2010,0025	1,3219	7,44
RTK20	N side of path and NE of 80m cliff,High LOI	2010,0025	7,8592	12,19
RTK21	4cm humus on top of sample,Humus-mixed,rust brown soil	2010,0025	9,7710	7,49
RTK22	Silty org rich flat 20m from corner of T-junction footpaths,Villows,oak	2010,0025	5,9433	24,62
RTK23	Jegersberg BHGSandpit in general play/roaming area	2010,0025	0,9275	5,71
RTK24	Very hom grey,silty materail;natural form	2010,0025	0,5753	4,62
RTK25	Small min soil deposit down from old path,Mixed in humus from 7cm humus above	2010,0025	1,7452	9,34
RTK26	Edge of "terrace",sand with some crushed rocks	2010,0025	0,8710	1,03
RTK27	Brown soil in contact with BR on the side,Site is logging store or similar	2010,0025	1,7287	9,79
RTK28	Mostly mineralized humus + some residual soil,N end of machine yard,under bird house	2010,0025	0,9930	7,38
RTK29	Marine clay,tractor moved?A couple of pebbles,Edge of two fields w different altitude;by talus	2010,0025	1,5463	10,83
RTK30	From "rd"cut c 20m up from highway,Spruce	2010,0025	2,2040	8,29

Sampl_ID	ppmSi	ppmAl	ppmFe	ppmTi	ppmMg	ppmCa	ppmNa	ppmK	ppmMn	ppmP	ppmCu	ppmZn	ppmPb	ppmNi	ppmCo	ppmV
RTK01	770	3800	16700	1200	228	263	207	188	27,6	104	0,50	12,50	19,10	1,80	0,22	28,30
RTK02	674	8160	14300	1320	1250	1610	265	373	129,0	884	6,00	34,20	29,10	6,00	1,86	31,40
RTK03	599	7720	22700	2170	1570	756	235	589	154,0	308	2,90	18,80	29,10	5,50	1,69	45,90
RTK04	657	5970	5660	363	905	2010	210	439	122,0	1120	17,00	249,00	33,20	4,40	1,32	10,30
RTK05	421	4480	8220	550	1570	1870	262	629	243,0	1380	15,30	53,90	63,50	5,30	2,35	16,30
RTK06	125	35600	40800	4380	29800	1420	272	10400	519,0	394	21,40	152,00	14,00	89,60	21,00	88,20
RTK07	125	18300	24800	2260	6590	2700	425	3080	394,0	500	15,00	94,60	29,30	21,40	7,89	47,70
RTK08	504	7420	13100	1030	4100	3660	299	2020	179,0	835	16,60	39,00	14,30	12,70	6,31	26,40
RTK09	125	7010	12800	1180	4890	2090	237	3530	230,0	542	13,60	182,00	12,40	11,10	4,80	23,30
RTK10	473	15400	31800	1540	4390	2240	100	351	242,0	602	10,00	55,60	27,10	4,80	2,92	14,50
RTK11	825	5350	12000	1180	731	1660	248	535	193,0	562	7,30	54,40	43,10	11,90	1,25	26,70
RTK12	702	6170	6930	482	849	1700	100	274	79,6	526	6,60	22,20	19,30	6,10	1,43	12,00
RTK13	642	1280	7990	1620	129	213	100	170	14,5	165	2,80	7,60	35,80	1,40	0,05	26,30
RTK14	765	9170	21500	1660	861	465	100	341	73,2	150	3,50	20,00	26,90	4,80	1,16	41,50
RTK15	540	5660	42500	3650	1730	570	207	667	306,0	343	14,80	31,40	59,10	5,30	2,55	114,00
RTK16	544	18900	46300	2770	1510	360	100	1100	252,0	417	7,00	103,00	38,90	4,70	2,00	63,10
RTK17	449	7040	34800	5660	2510	1260	213	301	797,0	385	3,70	46,80	45,00	15,70	10,30	83,60
RTK18	350	10800	24100	3320	8300	2720	225	4270	282,0	921	12,10	81,50	45,10	51,70	8,36	50,30
RTK19	394	12600	25800	1420	4000	3870	218	2600	529,0	1130	10,90	122,00	23,80	12,50	7,63	19,90
RTK20	843	4270	9210	565	791	410	236	396	64,6	409	11,10	14,80	78,90	3,90	1,17	25,70
RTK21	685	1680	12200	1310	219	269	100	189	22,9	182	4,90	10,60	52,90	5,10	0,42	40,80
RTK22	333	34200	33700	2150	5880	3760	267	2630	2180,0	554	23,10	208,00	90,00	42,40	18,20	55,70
RTK23	272	12700	17400	1280	4110	2050	250	1930	195,0	432	10,70	58,00	15,90	12,70	4,52	29,80
RTK24	125	7940	13300	1290	3890	4050	408	2100	189,0	898	13,30	55,90	16,30	12,10	4,30	26,10
RTK25	724	3740	8700	525	471	328	100	302	31,8	147	10,20	14,10	44,20	10,90	1,07	20,60
RTK26	125	2680	4820	203	789	587	100	286	43,6	145	1,40	12,00	1,00	2,00	0,92	8,60
RTK27	251	18300	30300	2750	8180	1080	100	1660	613,0	502	3,40	90,90	23,20	24,00	11,20	51,80
RTK28	623	1540	3070	566	222	605	220	260	21,1	198	11,00	10,20	39,90	21,60	0,72	12,30
RTK29	125	21200	32800	2820	11400	7300	777	8690	601,0	1060	21,60	132,00	19,70	24,90	12,80	57,50
RTK30	252	13000	19800	1890	3290	1610	256	926	180,0	286	7,00	74,10	30,50	12,30	3,75	33,60

Sampl_ID	ppmMo	ppmCd	ppmCr	ppmBa	ppmSr	ppmZr	ppmB	ppmBe	ppmLi	ppmSc	ppmCe	ppmLa	ppmY	ppmAs	ppmAs_a	ppmCd_a
RTK01	0,50	0,11	3,64	5,10	2,70	1,00	5,00	0,05	1,04	0,42	5,70	3,35	1,21	2,80	4,42	0,08
RTK02	0,50	0,19	9,74	14,60	9,00	1,00	5,00	0,05	4,07	1,52	46,40	15,90	9,30	3,10	5,06	0,25
RTK03	0,50	0,05	14,90	15,10	3,20	1,00	5,00	0,05	2,82	1,36	10,00	5,73	3,07	1,00	3,68	0,10
RTK04	0,50	0,33	5,54	48,70	21,80	1,00	5,00	0,11	2,71	0,95	20,00	9,17	4,38	1,00	2,66	0,30
RTK05	0,50	0,12	8,80	29,20	6,70	1,00	5,00	0,10	4,75	1,53	33,60	14,40	8,97	8,40	11,30	0,07
RTK06	0,50	0,34	169,00	98,10	5,60	1,00	5,00	0,05	58,40	10,40	54,70	16,20	7,20	1,00	2,00	0,23
RTK07	0,50	0,16	23,20	73,30	9,00	4,30	5,00	0,10	21,70	5,46	72,60	27,50	18,30	1,00	2,65	0,15
RTK08	0,50	0,10	18,10	74,20	25,40	1,00	5,00	0,05	9,06	1,85	38,50	19,60	6,94	1,00	1,88	0,12
RTK09	0,50	0,05	17,20	94,20	6,90	2,10	5,00	0,05	13,00	2,99	57,40	28,50	12,60	3,30	4,16	0,06
RTK10	15,40	0,26	3,07	14,60	5,10	5,30	5,00	0,27	5,78	7,18	176,00	73,00	49,60	13,10	14,20	0,23
RTK11	0,50	0,20	7,00	18,40	10,20	1,00	5,00	0,05	2,84	1,01	12,10	5,04	3,71	2,10	3,69	0,20
RTK12	0,50	0,16	5,27	11,70	9,70	1,00	5,00	0,05	2,40	1,02	21,20	9,38	5,55	1,00	3,06	0,12
RTK13	1,80	0,24	1,88	4,90	1,90	1,00	5,00	0,05	0,25	0,32	2,70	1,74	1,21	2,50	4,29	0,24
RTK14	0,50	0,14	9,21	9,40	3,00	2,70	5,00	0,05	4,07	1,54	13,40	6,17	3,19	1,00	3,71	0,26
RTK15	1,90	0,10	24,30	17,90	2,30	1,00	5,00	0,05	2,34	1,78	6,40	5,08	1,24	2,80	7,14	0,11
RTK16	2,20	0,41	9,24	28,90	3,60	3,10	5,00	0,05	16,50	2,52	32,50	17,10	7,85	2,80	4,78	0,43
RTK17	0,50	0,16	40,20	15,80	2,80	3,30	5,00	0,05	5,78	1,63	17,20	7,01	4,42	1,00	3,63	0,20
RTK18	0,50	0,17	76,40	65,40	5,50	1,00	5,00	0,05	12,10	1,86	23,60	10,60	4,85	1,00	5,54	0,15
RTK19	1,30	0,41	10,30	96,60	9,90	2,60	5,00	0,62	13,50	4,52	124,00	44,70	30,20	1,00	1,41	0,38
RTK20	0,50	0,13	2,60	12,00	3,10	2,60	5,00	0,05	1,05	0,82	63,70	26,60	8,04	8,20	9,68	0,12
RTK21	0,50	0,05	1,14	21,70	7,40	1,00	5,00	0,05	0,25	0,27	40,60	21,70	1,93	5,80	7,13	0,06
RTK22	19,10	1,68	31,30	302,00	29,80	1,00	5,00	2,02	68,50	8,53	81,60	24,70	15,10	5,80	9,21	1,74
RTK23	1,50	0,11	15,00	46,30	10,50	2,90	5,00	0,11	12,40	3,77	64,60	28,80	11,70	2,00	2,44	0,11
RTK24	0,50	0,05	13,00	51,50	13,20	3,60	5,00	0,05	10,60	3,51	60,40	28,40	20,60	1,00	1,64	0,08
RTK25	1,30	0,12	3,43	9,70	3,00	1,00	5,00	0,05	1,57	0,69	45,00	21,20	4,16	4,30	4,62	0,11
RTK26	0,50	0,05	3,05	5,80	2,20	1,00	5,00	0,11	4,40	0,56	7,50	4,42	2,28	2,60	3,12	0,01
RTK27	0,50	0,12	45,00	38,20	4,70	1,00	5,00	0,05	26,00	3,48	90,60	26,30	9,30	1,00	1,91	0,19
RTK28	0,50	0,05	2,45	7,40	3,60	1,00	5,00	0,05	0,25	0,51	12,10	3,72	2,34	5,40	6,39	0,07
RTK29	0,50	0,12	32,30	156,00	39,30	7,70	5,00	0,20	36,00	8,99	133,00	61,90	40,20	1,00	1,41	0,16
RTK30	0,50	0,18	15,60	34,70	6,20	2,70	5,00	0,05	14,90	2,93	68,70	14,40	10,50	1,00	3,09	0,20









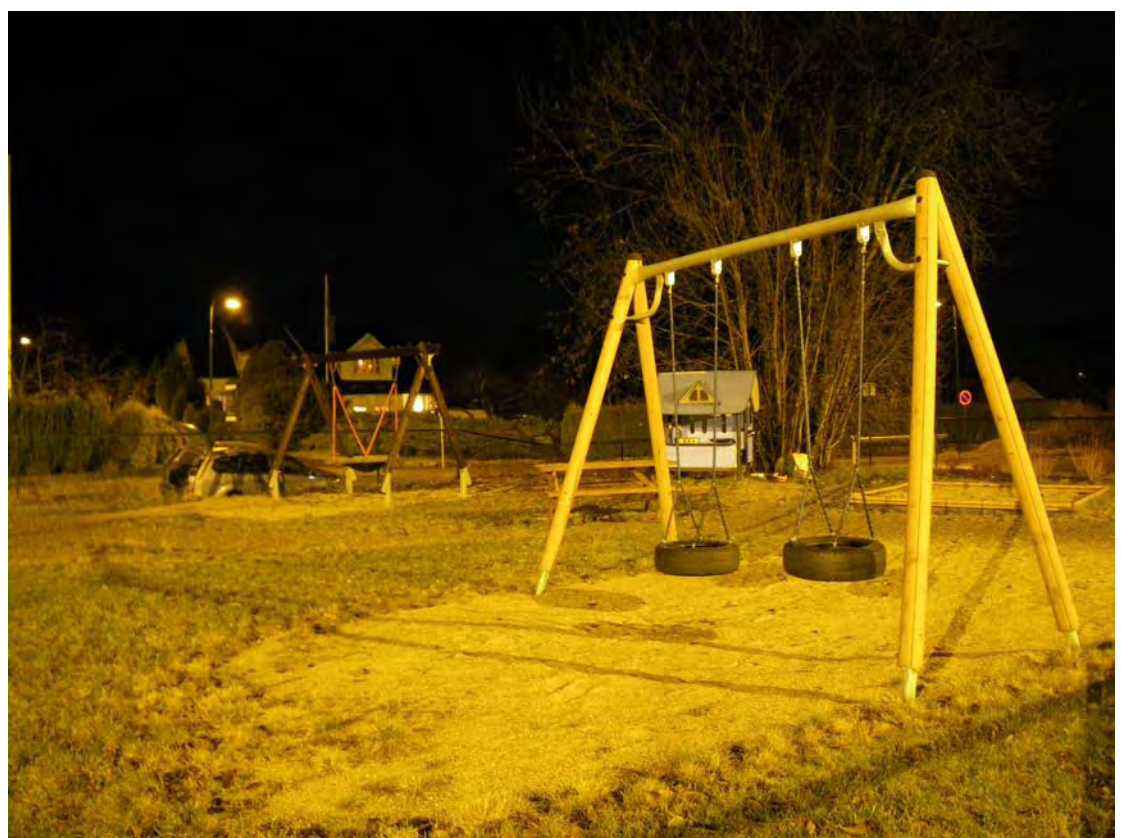












































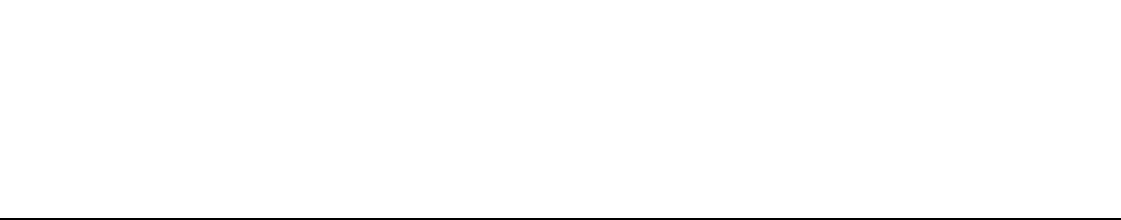
















NILU: OR .. /2006  
REFERANSE: O-106056  
DATO: MARS 2006  
ISBN: 82-425-

# Spredningsberegninger for utslipp til luft fra alternativ F8, energianlegg i Kristiansand.

Dag Tønnesen



Norsk institutt for  
luftforskning

# Innhold

	Side
<b>Sammendrag .....</b>	<b>3</b>
<b>1 Innledning .....</b>	<b>4</b>
<b>2 Inngangsdata.....</b>	<b>5</b>
2.1 Tekniske data .....	5
2.2 Bakgrunnskonsentrasjoner .....	7
<b>3 Spredningsberegninger .....</b>	<b>7</b>
3.1 Generelt .....	7
3.2 Maksimale timemiddelkonsentrasjoner ved bakken .....	8
3.3 Langtidsbelastning .....	10
<b>4 Vurdering av lukt .....</b>	<b>12</b>
<b>5 Konklusjon.....</b>	<b>12</b>
<b>6 Referanser .....</b>	<b>12</b>
<b>Vedlegg A Frekvensfordeling av vind og spredningsforhold. ....</b>	<b>14</b>

## Sammendrag

*Norsk institutt for luftforskning (NILU) har på oppdrag fra Rambøll Norge AS utført spredningsberegninger for utsipp til luft av forurensende komponenter som følge av alternative plasseringer av et planlagt energianlegg i Kristiansand. Beregninger for tre alternativ er utført tidligere. Denne rapporten gjelder et fjerde alternativ, F8 på Langemyr.*

Det er utført spredningsberegninger av korttidsmiddelkonsentrasjoner i nærområdet rundt det planlagte anlegget ved hjelp av NILUs gaussiske spredningsmodell CONCX. Middelbelastningen over ett år er beregnet med NILUs spredningsmodell CONDEP.

Ved beregning av nødvendig skorsteinshøyde er NO<sub>2</sub> benyttet som dimensjonerende komponent. NO<sub>2</sub> er valgt fordi utsippene av denne er relativt mye høyere enn for de andre forurensende komponentene i utsippet, sett i forhold til SFTs anbefalte luftkvalitetskriterier for korttidskonsentrasjoner (timemiddel).

Resultatene er sammenlignet med norske anbefalte luftkvalitetskriterier for helse og vegetasjon gitt av Statens forurensningstilsyn og grenseverdier gitt av Verdens helseorganisasjon (WHO).

Beregningene er utført for de mest kritiske meteorologiske situasjoner for spredning av forurensing fra anlegget.

Maksimalt bidrag fra anlegget til timemiddelkonsentrasjon av NO<sub>2</sub> er beregnet til 4,6 µg/m<sup>3</sup> utenom spredningsektorer med spesiell topografi, og til 15 µg/m<sup>3</sup> for sektorer med vesentlig topografisk påvirkning. Bidrag fra andre kilder er anslått til 30 µg/m<sup>3</sup>, slik at maksimal belastning av NO<sub>2</sub> blir maksimalt 45 % av luftkvalitetskriteriet på 100 µg/m<sup>3</sup>. Anleggets bidrag til årsmiddelverdien av NO<sub>2</sub> er beregnet til 2 µg/m<sup>3</sup>, mens bidraget til årsmiddelverdien av Kadmium er beregnet til 0,4 ng/m<sup>3</sup>. Disse verdiene utgjør henholdsvis 5 % og 40 % av sine grenseverdier for luftkvalitet.

Hvorvidt anlegget kan **bedre** luftkvaliteten i vesentlig grad, avhenger av i hvor stor grad det erstatter andre utsipp, og hvilke typer utsipp det erstatter

# Spredningsberegninger for utslipp til luft fra energianlegg i Kristiansand

## 1 Innledning

Norsk institutt for luftforskning (NILU) har på oppdrag fra Rambøll Norge AS utført spredningsberegninger for utslipp til luft fra et planlagt energianlegg i Kristiansand med plassering på Langemyr. Det er tidligere utført beregninger for 3 alternative plasseringer nærmere Kristiansand sentrum. Beregningene er utført med skorsteinshøyde 75 m gitt fra anleggsleverandøren og utført for å kontrollere at anbefalte luftkvalitetskriterier for helse og miljø gitt av myndighetene til enhver tid overholdes.

Det planlagte anlegget er beregnet for energigjenvinning av avfall. Planlagt lokalisering er vist i Figur 1. Endelig plassering og utforming på Langemyr er ikke fastlagt, men plasseringen av skorsteinen i de alternative utformingene er innenfor 40 m fra hverandre. Denne forskjellen påvirker ikke de beregnede konsentrasjonsbidragene fra anlegget, og den nøyaktige plasseringen av skorsteinen på tomta er fleksibel mellom de utredede løsningene fordi de verste situasjonene er vurdert.

Resultatene av spredningsberegningene viser hvilke konsentrasjoner av forerensende komponenter som kan forekomme i nærområdet rundt energianlegget. Beregningene er utført for de mest ugunstige spredningsforholdene (timemiddel) og middelforhold (årsmiddel).



*Figur 1: Plasseringer av energigjenvinningsanlegget i Kristiansand, alternativ F8.*

## 2 Inngangsdata

### 2.1 Tekniske data

Ved beregning av konsentrasjoner som følge av utslipp til luft fra energianlegget er  $\text{NO}_2$  benyttet som dimensjonerende komponent.  $\text{NO}_2$  er valgt som dimensjonerende komponent fordi konsentrasjonen i utslippet av denne komponenten er den høyeste sett i forhold til Statens forurensningstilsyns (SFTs) anbefalte luftkvalitetskriterier (timemiddelkonsentrasjon). Luftkvalitetstskriteriene er vist i tabell 3. Hvis anlegget utformes slik at utslippet av  $\text{NO}_2$  ikke gir overskridelse av luftkvalitetskriteriene, vil heller ikke de øvrige utslippskomponentene overskride sine luftkvalitetskriterier, med et mulig unntak for grenseverdi for årsmiddelkonsentrasjon av Kadmium.

Tekniske data for energianlegget er gitt av Rambøll Danmark AS. (Tabell 1 og Tabell 2).

*Tabell 1: Utslipp gitt ved røykgassmengde og NO<sub>x</sub>-konsentrasjon i røykgassene. Avgasstemperatur (Tg) og avgasshastighet (Vg).*

R (m <sup>3</sup> /h)	NO <sub>x</sub> (mg/m <sup>3</sup> )	Vg (m/s)	Diameter (m)	Tg
108 450*	25	-		0*
167 200**	-	20	1,7	140

R: Røykgassmengde  
 Tg: Røykgassstemperatur i utslippet  
 Vg: Røykgasshastighet i utslippet

\*11% vol O<sub>2</sub> tørr gass og 0 °C

\*\* 9,3 % vol O<sub>2</sub> tørr gass

Beregningene er utført med røykgassstemperatur 140 °C.

Om lag 90% av NO<sub>X</sub>-konsentrasjonen i utslippet vil foreligge som NO, og ca. 10% som NO<sub>2</sub>. I atmosfæren vil ozon (O<sub>3</sub>) raskt omdanne NO til NO<sub>2</sub>. Dette forutsetter imidlertid at det er tilstrekkelige mengder bakkenær ozon tilstede. I disse beregningene er det benyttet en ozonkonsentrasjon på 60 µg/m<sup>3</sup> som utgangspunkt for å estimere oksydasjon av NO. I beregningene av NO<sub>2</sub> konsentrasjon i maksimalt belastet område er det også tatt hensyn til hvor lang tid røykgassen vil bruke fra utslipp til mest belastet område. Det vil ta om lag 200 sekunder å oppnå fullstendig reduksjon av et ozon-nivå på 60 µg/m<sup>3</sup> når det er nok NO tilstede i røykgassen.

I beregningene av timemiddelkonsentrasjoner av NO<sub>2</sub> er det benyttet **forventet utslippskonsentrasjonen for normaldrift** gitt i Tabell 2. Kravene til utslippskonsentrasjon i Avfallsforskriften er høyere (se kolonne 3). Årsmiddelkonsentrasjoner er også beregnet ut fra forventet utslipp.

*Tabell 2: Utslippstall for ulike komponenter fra energianlegget i Kristiansand. Normal avgassmengde: 108 450 Nm<sup>3</sup>/h.*

Parameter	Forventet konsentrasjon mg/Nm <sup>3</sup>	Krav mg/Nm <sup>3</sup>	Utslippssrate mg/s
Støv	2	10	60,25
TOC	5	10	150,63
HCl	2	10	60,25
HF	0,05	1	1,51
CO	30	50	903,75
SO <sub>2</sub>	15	50	451,88
NO <sub>x</sub>	25	200	753,13
Cd + Ti	0,005	0,05	0,15
Hg	0,005	0,03	0,15
Sum 9 metaller*	0,05	0,5	1,51
Dioxiner	0,05 (ng/Nm <sup>3</sup> )	0,1 (ng/Nm <sup>3</sup> )	60,25 (pg/s)

\* Tungmetaller: Pb+Cr+Cu+Mn+Sb+As+Co+Ni+V+Ni

## 2.2 Bakgrunnskonsentrasjoner

$\text{NO}_2$ -konsentrasjoner ved bakkenivå vil bli dimensjonerende for skorsteinshøyden.

På bakgrunn av avstand til Kristiansand sentrum og bidrag fra industri lenger nordover langs Otra er  $30 \mu\text{g NO}_2/\text{m}^3$  benyttet som et estimat for bakgrunnskonsentrasjoner i området når forurensning fra forbrenningsanlegget skal bestemmes. Konsentrasjonsnivået vil gjelde for vindretninger oppover og nedover langs dalføret. Ved vind på tvers av dalføret vil den høyeste bakgrunnskonsentrasjonen ligge nærmere  $10 \mu\text{g/m}^3$ . Den største belastningen fra anlegget inntreffer når spredningsforholdene for utsipp ved/nær bakken er gode. I slike situasjoner vil belastningen av  $\text{NO}_2$  som skyldes bakkeutslipp (trafikk)være lav.

## 3 Spredningsberegninger

### 3.1 Generelt

Grunnlaget for krav til minimum skorsteinshøyde er at de maksimale timemidlene bakkekonsentrasjonene (inkludert bakgrunnskonsentrasjonene) av enhver forurensende komponent skal være lavere enn de anbefalte luftkvalitetskriteriene gitt av SFT og WHO som timemiddel (se Tabell 3).

*Tabell 3: Anbefalte luftkvalitetskriterier og grenseverdier for luftkvalitet for de respektive komponentene gitt av henholdsvis SFT og WHO, samt foreslalte EU-direktiver.*

Komponent	Enhet	Virknings-område	Midlingstid			
			1 time	24 timer	6 mnd.	1 år
$\text{NO}_2$	$\mu\text{g}/\text{m}^3$	Helse Vegetasjon	100 <sup>d)</sup>		50 <sup>d)</sup>	40 <sup>c)</sup> 30 <sup>d)</sup>
$\text{SO}_2$	$\mu\text{g}/\text{m}^3$	Helse Vegetasjon	350 <sup>c)</sup> 150 <sup>d)</sup>	125 <sup>c)</sup>		50 <sup>b)</sup> 20 <sup>d)</sup>
CO	$\text{mg}/\text{m}^3$	Helse	25 <sup>d)</sup>			
Svevestøv <sup>a)</sup>	$\mu\text{g}/\text{m}^3$	Helse				30 <sup>c)</sup>
Hg <sup>f)</sup>	$\mu\text{g}/\text{m}^3$	Helse				1 <sup>b)</sup>
Cd	$\text{ng}/\text{m}^3$	Helse				1 - 5 <sup>d)</sup>

a) Partikler med diameter  $< 10 \mu\text{m}$  ( $\text{PM}_{10}$ ).

b) Anbefalt grenseverdi WHO (1987). Gjelder kvikksølv i partikler og i gasser.

c) EU-direktiv, 1998.

d) Anbefalte luftkvalitetskriterier SFT, 1992.

e) Anbefalt luftkvalitetskriterium SFT/Folkehelsa, 1998.

f) Atmosfærens totale Hg-konsentrasjon (partikler og gasser)

SFT krever videre at bidraget fra enkeltanlegg ikke skal utgjøre mer enn maksimum 50% av forskjellen mellom luftkvalitetskriteriet ( $100 \mu\text{g}/\text{m}^3$  for  $\text{NO}_2$ ) og  $\text{NO}_2$ -forurensningene i området før det planlagte anlegget tas i bruk.

Basert på dette grunnlaget bør ikke maksimal bakkekonsentrasjon på nedvindsiden av pipa være større enn  $(100-30)/2 \mu\text{g NO}_2/\text{m}^3 = 35 \mu\text{g NO}_2/\text{m}^3$ .

Det framgår av tabellen over at grenseverdiene for den samme komponenten er forskjellig ved ulike midlingstider. Dette fordi man ved korte eksponeringer i forhold til eksponering over lengre tid (måneder, år) må ha et høyere nivå/konsentrasjon for at effekter på helse/vegetasjon skal inntrefte. De fleste grenseverdier/retningslinjer er angitt med en sikkerhetsfaktor på fra 2 til 5 i forhold til et nivå der det er dokumentert skadelige virkninger. For virkninger av de ulike stoffene henvises det til SFT/WHOs rapporter.

Ved bruk av tekniske data for energianlegget (Tabell 1 og Tabell 2) og data for vind- og stabilitetsfordeling har NILU utført spredningsberegninger av timemiddelkonsentrasjoner av NO<sub>2</sub> i området rundt det planlagte energianlegget. Det finnes tilgjengelige meteorologiske data fra området. NILU har bearbeidet målinger av vindretning og vindstyrke fra Kjevik, og anslått stabilitetsfordeling i ulike vindretningssektorer på bakgrunn av slike målinger fra Lista (se Vedlegg A). Spredningsberegningene er utført ved hjelp av NILUs gaussiske spredningsmodeller CONCX og CONDEP, hvor det antas at konsentrasjonsfordelingen i røykfanen følger en normalfordeling (Gaussfordeling) horisontalt og vertikalt vinkelrett på vindretningen (Böhler, 1987). Beregningene er utført for ustabile (U), nøytrale (N), lett stabile (Ls) og stabile (S) atmosfæriske forhold, og det er tatt hensyn til bygninger og at vindhastigheten øker med høyden. Maksimale timemiddelverdier er beregnet for forskjellige driftsforhold. Disse modellene er godkjent av SFT til bruk for dimensjonering av skorsteinshøyde og beregning av forurensningsbelastning.

Ustabile forhold opptrer om dagen og om sommeren med klart vær og solinnstråling. Da er atmosfærens vertikale spredningsevne god. Stabile forhold opptrer om natten og om vinteren når det er klarvær. Atmosfærens vertikale spredningsevne er dårlig. Nøytrale forhold, med relativ god spredning, opptrer i overskyet vær og ved middels sterk og sterk vind.

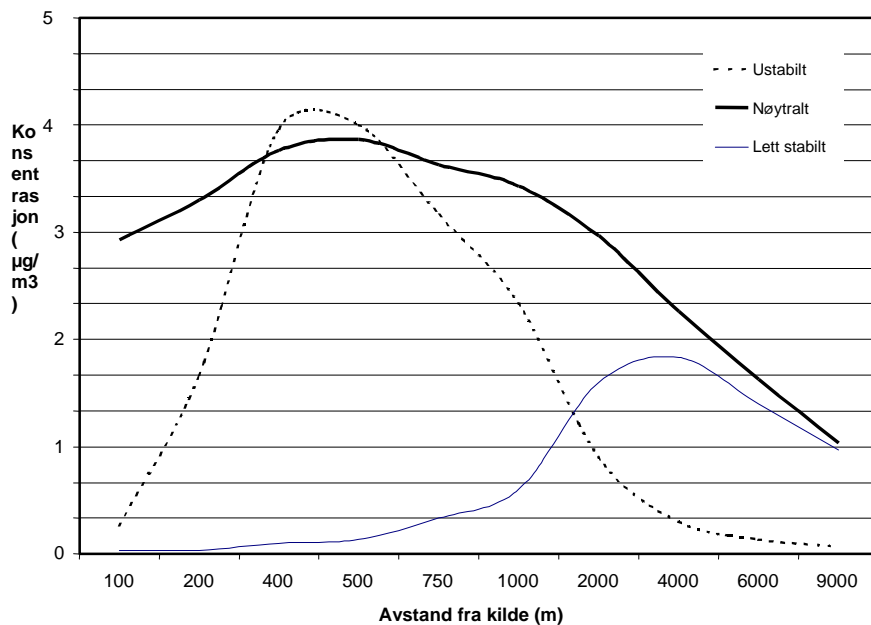
Utslipp gjennom en skorstein får en tilleggshøyde (røykløft) på grunn av utslipphastighet og temperaturoverskudd. Ved høy vertikalhastighet og stort temperaturoverskudd, slik som ved det planlagte anlegget, blir røykløftet ofte høyere enn selve skorsteinen. Dersom skorsteinen er for lav i forhold til de omkringliggende bygningene, kan turbulenssonen rundt bygningene redusere røykløftet eller føre til røyknedslag. Røyknedslag eller sterk reduksjon av røykløft kan medføre høye bakkekonsentrasjoner.

### **3.2 Maksimale timemiddelkonsentrasjoner ved bakken**

Utførte beregninger viser at maksimalkonsentrasjonene forekommer på forskjellig avstand ved ulike spredningsforhold for de ulike lokaliseringene. I nærområdet gjør de topografiske forholdene at spredning i retningene mot nordvest og mot øst-sørøst vil få høyere konsentrasjonsbidrag fra anlegget enn øvrige retninger på grunn av de lokale topografiske forholdene. I kupert terreng vil en under ellers like forhold få høyere bakkekonsentrasjoner enn ved flatt terreng.

Figur 2 viser maksimal  $\text{NO}_2$ -konsentrasjon ved bakken som funksjon av avstand fra utslipp for det planlagte energianlegget for spredning i andre retninger enn nevnt ovenfor (alle andre retninger enn mot nordvest og mot øst-sørøst). Siden bare en del av  $\text{NO}_x$ -utslippen foreligger som  $\text{NO}_2$  (resten som NO) vil  $\text{NO}_2$ -konsentrasjonene som forekommer nær bakken være lavere enn de beregnede konsentrasjoner. Anvendt skorsteinshøyde har derfor god sikkerhetsmargin selv om NO-utslippen gradvis går over til  $\text{NO}_2$  i atmosfæren. Overgangshastigheten er blant annet avhengig av ozonkonsentrasjonene i atmosfæren. Reaksjonen mellom ozon og NO er svært rask, og den begrensende faktoren er den tilgjengelige ozonmengden. Sammenlignet med  $\text{NO}_2$  har NO i praksis ingen virkning på helse eller vegetasjon.

Figuren viser at kravet i forhold til anbefalt luftkvalitetskriterium overholdes med god margin. I figuren er det antatt at hele utslippet av  $\text{NO}_x$  er oksydet til  $\text{NO}_2$ .



*Figur 2: Maksimal timemidlet bakkekonsentrasjon av  $\text{NO}_2$  som funksjon av avstand fra utslippet, med ulike skorsteinshøyder. Utslippsmengde 0,75 g/s, (se Tabell 2 (normal drift)) og avgasshastighet 20 m/s. Reell konsentrasjon på avstander mindre enn 400 m vil være lavere enn vist på figuren på grunn av at ikke all tilgjengelig NO vil være oksydet til  $\text{NO}_2$ .*

Beregnet maksimalbidrag fra anlegget for spredning utenom retninger spesielt påvirket av topografiske effekter er  $4,6 \mu\text{g}/\text{m}^3$ . For spredning i retninger mot nordvest og øst-sørøst vil maksimalkonsentrasjonen kunne bli  $15 \mu\text{g}/\text{m}^3$ . Maksimalbelastningen vil forekomme litt nærmere anlegget ved spredning mot øst-sørøst enn mot norvest.

### 3.3 Langtidsbelastning

Ved bruk av frekvensfordeling av vind- og stabilitetsforhold, gitt i Vedlegg A, er det beregnet midlere bakkekonsentrasjon over året (langtidsbelastning) av et utslipp på 0,75 g/s NO<sub>x</sub>. Det er antatt at all NO i utslippet oksyderes til NO<sub>2</sub>, dette gir et overestimat fordi det i løpet av et år vil forekomme perioder med lite ozon tilstede til å oksydere all NO fra anlegget. Inngangsdata for meteorologiske forhold er de samme som er benyttet for de tidligere beregnede alternative plasseringene. Dette medfører at isokonsentrasjonskurvene for langtidsmiddelkonsentrasjonene får den samme formen som for de andre alternativene.

Resultatene av beregningene er vist i Figur 3.

Konsentrasjonene av øvrige komponenter som følge av utslipp fra anlegget finnes ved å skalere verdiene i Figur 3 med utslippskonsentrasjon for komponenten i Tabell 2 dividert med utslippstkonetrasjon for NO<sub>X</sub> i samme tabell. Dette er utført for maksimalbelastningen og vist i Tabell 4, der en sammenligning med grenseverdier for langtidsmiddelkonsentraserjoner også er vist. Den høyeste årsmiddelbelastningen av NO<sub>2</sub> er beregnet til 2 µg/m<sup>3</sup>. Dette er 5 % av SFTs anbefalte luftkvalitetskriterium.



Figur 3: Beregnede årsmiddelkonsentraserjoner ( $\mu\text{g}/\text{m}^3$ ) som følge av 0,75 g/s utslipp til luft. Beregninger på km-rutenett.

I Tabell 4 er maksimal årsmiddelbelastning i bakkenivå vist for utslippskomponentene fra anlegget. Tabellen viser belastningen som følge av utslippskonsentrasjonen som vist i Tabell 2.

*Tabell 4: Beregnet maksimal årsmiddelkonsentrasjon, alternativ F8.  $\mu\text{g}/\text{m}^3$ :  $10^{-6}$  g; ng:  $10^{-9}$  g; pg:  $10^{-12}$  g.*

Komponent	Maksimal årsmiddelkonsentrasjon	Prosent av grenseverdi
$\text{NO}_2$	$2 \mu\text{g}/\text{m}^3$	5
Partikler	$0,16 \mu\text{g}/\text{m}^3$	0,5
Hg	$0,4 \text{ ng}/\text{m}^3$	0,04
Cd + Tl	$0,4 \text{ ng}/\text{m}^3$	40
Klasse 3	$4 \text{ ng}/\text{m}^3$	-
CO	$2,4 \mu\text{g}/\text{m}^3$	-
HF	$4 \text{ ng}/\text{m}^3$	-
HCl	$0,16 \mu\text{g}/\text{m}^3$	-
TOC	$0,4 \mu\text{g}/\text{m}^3$	-
SOx	$1,2 \mu\text{g}/\text{m}^3$	-
Dioksiner	$4 \text{ pg}/\text{m}^3$	2,4

Den utslippskomponenten der maksimal årsmiddelbelastning er høyest i forhold til anbefalte luftkvalitetskriterier er utsippet av Kadmium, der maksimalbelastningen utgjør 40 % av luftkvalitetskriteriet på  $1 \text{ ng}/\text{m}^3$ .

For øvrig viser beregnede årsmiddelverdier av belastningen fra anlegget at forurensningsnivået er svært lavt i forhold til anbefalte luftkvalitetskriterier.

Hvorvidt anlegget kan bedre luftkvaliteten i vesentlig grad, avhenger av i hvor stor grad det erstatter andre utsipp, og hvilke typer utsipp det erstatter.

#### 4 Vurdering av lukt

Våtorganisk avfall har stort potensiale for luktdannelse og luktutslipp. Det våtorganiske avfallet vil være sortert bort før det restavfall kommer til forbrenningsanlegget. Håndtering av avfall med mottak og behandling / innmatting vil behandle sortert avfall med lav kapasitet for luktutvikling, og potensialet for luktdannelse og luktproblemer for denne delen av driften vil være lite. Luktproblem i forbindelse med utsipp gjennom avgasskorsteinen vil ikke eksistere, da luktforbindelser vil destrueres eller omdannes i forbrenningsprosessen.

#### 5 Konklusjon

Spredningsberegningene er utført for de mest kritiske meteorologiske situasjoner for spredning av forurensning fra anlegget. Med en skorsteinshøyde på 75 m vil plassering F8 overholde krav til luftkvalitet med god margin.

#### 6 Referanser

Bøhler, T. (1987) User's guide for the Gaussian type dispersion models CONCX and CONDEP. Lillestrøm (NILU TR 8/87).

SFT (1992) Virkninger av luftforurensninger på helse og miljø. Anbefalte luftkvalitetskriterier. Oslo, Statens forurensningstilsyn (SFT-rapport 92:16).

SFT (1998) Veileddning til forskrift om grenseverdier for lokal luftforurensning og støy. Oslo, Statens forurensningstilsyn (SFT-veileddning 98:03).

WHO (1987) Air quality guidelines for Europe. Copenhagen (WHO Regional Publications. European Series No. 23).

## **Vedlegg A**

**Frekvensfordeling av vind og spredningsforhold.**

Tabell A1 viser frekvensfordelingen av vindretning, vindstyrke og stabilitet i Hunndalen i perioden 01.12.90-30.11.91. Observasjoner er fordelt i følgende klasser:

- Vindretning: Tolv  $30^\circ$  sektorer angir sektorene som vinden blåser fra. Det vil si: retning 360 angir at vinden blåser fra nord og området sør for anlegget vil bli belastet.
- Vindstyrke: 4 vindstyrkeklasser 0-2 m/s, 2-4 m/s, 4-6 m/s, over 6 m/s.
- Spredningsforhold: 4 stabilitetsklasser.
- U: lav vind og oppvarming ved bakken fører til god vertikalspredning.
- N: sterk vind og/eller ingen varmeutveksling ved bakken fører til vanlige spredningsforhold.
- Ls: svak - moderat vind, svak avkjøling ved bakken fører til dårligere spredningsforhold enn vanlig i atmosfæren.
- S: svak vind og sterk avkjøling av luft ved bakken fører til meget dårlige spredningsforhold.

Spredning av forurensningsutslipper er avhengig av vind og blandingsforholdene i atmosfæren. Blandingsforholdene er inndelt i fire klasser som er forklart nedenfor:

Ustabile atmosfæriske forhold (U) forekommer oftest om dagen og om sommeren, ved klarvær med sterkt solinnstråling og svak til middels vindstyrke. Solen varmer da opp bakken, og det dannes vertikale turbulente luftstrømmer som gir god vertikal spredning av røykfanen. For utslipper i bakkenivå vil disse fortynnes raskt, mens det for skorsteinsutslipper kan forekomme høye konsentrasjoner nær utslippet på grunn av kortvarige røyknedslag.

Nøytrale atmosfæriske forhold (N) forekommer ved høye til moderate vindstyrker og oftest ved overskyet vær. Høy vindstyrke og god mekanisk blanding gir moderat til god horisontal og vertikal fortynning av røykfanen.

Stabile atmosfæriske forhold (Ls og S) er typisk for stille, klare netter og vintersituasjoner med avkjøling av bakken og det nederste luftlaget. Temperaturen øker med høyden over bakken, og dette gir dårlig vertikalspredning i det stabile laget. Når relativt varmt luft fra sjø transportereres inn over kaldt land, vil det nederste luftlag stabiliseres. Dette gir dårlig spredning av røykfanen, både vertikalt og horisontalt. For bakkeutslipper vil denne situasjonen være kritisk, idet

den vertikale fortynningen er liten. For skorsteinsutslipp vil liten vertikal spredning føre til at utslippet først når ned til bakken langt fra utslippet.

Frekvensfordelingen av vind og stabilitet presentert i Tabell A1 gir en estimert fordeling mellom ustabil, nøytral, lett stabil og stabil sjiktning på henholdsvis 17,6%, 27,9%, 24,1% og 28,1%.

- U - ustabile atmosfæriske forhold
- N - nøytrale atmosfæriske forhold
- Ls - lett stabile atmosfæriske forhold
- S - stabile atmosfæriske forhold

Tabell A1: Frekvensfordeling av vindretning, vindstyrke og stabilitet fra målinger i Hunndalen i perioden 01.12.90-30.11.91.

Retning	0-2 m/s				2-4 m/s				4-6 m/s				over 6 m/s				Rose
	u	n	ls	s	u	n	ls	s	u	n	ls	s	u	n	ls	s	
30	0,6	1,9	0,8	0,6	1,1	0,9	0,5	0,1	0,3	0,2	0,1	0,0	0,0	0,0	0,0	0,0	
60	1,9	4,7	1,3	0,8	1,1	0,7	0,2	0,0	0,0	0,0	0,0	0,0	0,0	0,0	0,0	0,0	
90	3,6	6,8	2,5	2,6	2,7	1,1	0,3	0,0	0,0	0,0	0,0	0,0	0,0	0,0	0,0	0,0	
120	0,8	1,0	1,7	1,7	0,2	0,3	0,3	0,0	0,0	0,0	0,0	0,0	0,0	0,0	0,0	0,0	
150	0,2	0,3	0,7	0,8	0,1	0,2	0,4	0,0	0,0	0,0	0,0	0,0	0,0	0,0	0,0	0,0	
180	0,2	0,4	0,9	1,5	0,3	0,3	0,6	0,1	0,0	0,1	0,0	0,0	0,0	0,0	0,0	0,0	
210	0,2	0,9	1,8	7,6	0,7	1,3	1,9	1,2	0,1	0,2	0,3	0,0	0,0	0,0	0,0	0,0	
240	0,3	1,5	2,3	6,9	0,6	1,1	2,3	1,7	0,1	0,2	0,6	0,0	0,1	0,1	0,0	0,0	
270	0,2	0,6	1,0	1,3	0,3	0,3	0,8	0,1	0,2	0,2	0,1	0,0	0,0	0,1	0,1	0,0	
300	0,2	0,7	0,7	0,5	0,2	0,3	0,3	0,0	0,1	0,1	0,0	0,0	0,0	0,0	0,1	0,0	
330	0,1	0,3	0,4	0,3	0,2	0,2	0,1	0,0	0,0	0,0	0,0	0,0	0,0	0,0	0,0	0,0	
360	0,2	0,4	0,6	0,3	0,5	0,3	0,4	0,0	0,2	0,2	0,0	0,0	0,0	0,0	0,0	0,0	

u: gode spredningsforhold

n: vanlige spredningsforhold

ls: dårlige spredningsforhold

s: meget dårlige spredningsforhold



**Norsk institutt for luftforskning (NILU)**  
Postboks 100, N-2027 Kjeller

RAPPORTTYPE Oppdragsrapport	RAPPORT NR. OR ..//2006	ISBN 82-425- ISSN 0807-7207	
DATO	ANSV. SIGN.	ANT. SIDER 17	PRIS NOK
TITTEL Spredningsberegninger for utslipp til luft fra alternativ F8, energianlegg i Kristiansand.		PROSJEKTLEDER [Skriv Prosjektleder]	
		NILU PROSJEKT NR. O-106056	
FORFATTER(E) Dag Tønnesen		TILGJENGELIGHET *  OPPDRAKGIVERS REF.	
OPPDRAKGIVER Rambøll Norge AS			
STIKKORD Nitrogendioksid	Spredningsberegnung	Biobrenselanlegg	
REFERAT Norsk institutt for luftforskning (NILU) har på oppdrag fra Rambøll Norge AS beregnet spredning av utslipp til luft for et planlagt energianlegg i Kristiansand. Spredningsberegningene viste at det ikke vil bli overskridelser av de anbefalte luftkvalitetskriteriene for helse og vegetasjon som timemiddel for noen av komponentene .			
TITLE Dispersion calculations at Kristiansand.			
ABSTRACT			

\* Kategorier:      A      Åpen - kan bestilles fra NILU  
                        B      Begrenset distribusjon  
                        C      Kan ikke utleveres

## **Vedlegg 2**

PAH<sub>16</sub> og PCB<sub>7</sub> analyserapporter (AIControl AB).



Kund  
NGU  
Forsker,Miljögeokemi  
Leiv Erikssons vei 39  
7491 Trondheim Norway  
Sweden

Avser

**Mark**

Projektnamn: 2960Returkraft

Provtyp: Jord

Provets märkning: -

**Provinformation**

Ankomstdatum	2009-12-22
Rapportdatum	2010-02-04
Provtagare	-
Ankomsttidpunkt	1230
Provtagningsdag	2009-12-17
Provets märkning	RTK01
Provtagningsdjup	-
Fakturareferens	296000 Returkraft

**Resultat**

Metod	Parameter	Resultat	Enhet
SS-ISO 11465	Torrsubstans	80.7	%
GC/MS	Acenaften	<0.03	mg/kg TS
GC/MS	Acenaftylen	<0.03	mg/kg TS
GC/MS	Naftalen	<0.03	mg/kg TS
GC/MS	PAH-L,summa	<0.03	mg/kg TS
GC/MS	Antracen	<0.03	mg/kg TS
GC/MS	Fenanren	<0.03	mg/kg TS
GC/MS	Fluoranten	<0.03	mg/kg TS
GC/MS	Fluoren	<0.03	mg/kg TS
GC/MS	Pyren	<0.03	mg/kg TS
GC/MS	PAH-M,summa	<0.05	mg/kg TS
GC/MS	Benzo(a)antracen	<0.03	mg/kg TS
GC/MS	Benzo(a)pyren	<0.03	mg/kg TS
GC/MS	Benzo(b)fluoranten	<0.03	mg/kg TS
GC/MS	Benzo(k)fluoranten	<0.03	mg/kg TS
GC/MS	Benzo(ghi)perlylen	<0.03	mg/kg TS
GC/MS	Chrysen/Trifenylen	<0.03	mg/kg TS
GC/MS	Dibenso(a,h)antracen	<0.03	mg/kg TS
GC/MS	Indeno(1,2,3-cd)pyren	<0.03	mg/kg TS
GC/MS	PAH-H,summa	<0.08	mg/kg TS
GC/MS	PAH,summa cancerogena	<0.15	mg/kg TS
GC/MS	PAH,summa övriga	<2	mg/kg TS
GC-ECD	PCB-28 Triklorbifeny	<0.003	mg/kg TS
GC-ECD	PCB-52 Tetraklorbifeny	<0.003	mg/kg TS
GC-ECD	PCB-101 Pentaklorbifeny	<0.003	mg/kg TS
GC-ECD	PCB-118 Pentaklorbifeny	<0.003	mg/kg TS
GC-ECD	PCB-138 Hexaklorbifeny	<0.003	mg/kg TS
GC-ECD	PCB-153 Hexaklorbifeny	<0.003	mg/kg TS
GC-ECD	PCB-180 Heptaklorbifeny	<0.003	mg/kg TS
GC-ECD	PCB Summa 7 st	<0.02	mg/kg TS

Linköping, 2010-02-04

Lotta Erlandsson



Rapporten genererad från @MIS. Orginal rapport med ev ackrediteringlogo återfinns hos rapportmottagaren.



*Kund*  
NGU  
Forsker,Miljögeokemi  
Leiv Erikssons vei 39  
7491 Trondheim Norway  
Sweden

Avser

**Mark**

Projektnamn: 2960Returkraft

Provtyp: Jord

Provets märkning: -

**Provinformation**

Ankomstdatum	2009-12-22
Rapportdatum	2010-02-03
Provtagare	-
Ankomsttidpunkt	1230
Provtagningsdag	2009-12-17
Provets märkning	RTK02
Provtagningsdjup	-
Fakturareferens	296000 Returkraft

**Resultat**

<i>Metod</i>	<i>Parameter</i>	<i>Resultat</i>	<i>Enhet</i>
SS-ISO 11465	Torrsubstans	69.1	%
GC/MS	Acenaften	<0.03	mg/kg TS
GC/MS	Acenaftylen	<0.03	mg/kg TS
GC/MS	Naftalen	<0.03	mg/kg TS
GC/MS	PAH-L,summa	<0.03	mg/kg TS
GC/MS	Antracen	<0.03	mg/kg TS
GC/MS	Fenanren	<0.03	mg/kg TS
GC/MS	Fluoranten	<0.03	mg/kg TS
GC/MS	Fluoren	<0.03	mg/kg TS
GC/MS	Pyren	<0.03	mg/kg TS
GC/MS	PAH-M,summa	<0.05	mg/kg TS
GC/MS	Benzo(a)antracen	<0.03	mg/kg TS
GC/MS	Benzo(a)pyren	<0.03	mg/kg TS
GC/MS	Benzo(b)fluoranten	0.038	mg/kg TS
GC/MS	Benzo(k)fluoranten	<0.03	mg/kg TS
GC/MS	Benzo(ghi)perlylen	<0.03	mg/kg TS
GC/MS	Chrysen/Trifenylen	<0.03	mg/kg TS
GC/MS	Dibenso(a,h)antracen	<0.03	mg/kg TS
GC/MS	Indeno(1,2,3-cd)pyren	<0.03	mg/kg TS
GC/MS	PAH-H,summa	<0.08	mg/kg TS
GC/MS	PAH,summa cancerogena	<0.15	mg/kg TS
GC/MS	PAH,summa övriga	<2	mg/kg TS
GC-ECD	PCB-28 Triklorbifeny	<0.003	mg/kg TS
GC-ECD	PCB-52 Tetraklorbifeny	<0.003	mg/kg TS
GC-ECD	PCB-101 Pentaklorbifeny	<0.003	mg/kg TS
GC-ECD	PCB-118 Pentaklorbifeny	<0.003	mg/kg TS
GC-ECD	PCB-138 Hexaklorbifeny	<0.003	mg/kg TS
GC-ECD	PCB-153 Hexaklorbifeny	<0.003	mg/kg TS
GC-ECD	PCB-180 Heptaklorbifeny	<0.003	mg/kg TS
GC-ECD	PCB Summa 7 st	<0.02	mg/kg TS

Linköping, 2010-02-03

Lotta Erlandsson



Rapporten genererad från @MIS. Orginal rapport med ev ackrediteringlogo återfinns hos rapportmottagaren.

*Kund*

NGU

Forsker,Miljögeokemi

Leiv Erikssons vei 39

7491 Trondheim Norway

Sweden

## Avser

**Mark**

Projektnamn: 2960Returkraft

Provtyp: Jord

Provets märkning: -

**Provinformation**

Ankomstdatum	2009-12-22
Rapportdatum	2010-02-03
Provtagare	-
Ankomsttidpunkt	1230
Provtagningsdag	2009-12-17
Provets märkning	RTK03
Provtagningsdjup	-
Fakturareferens	296000 Returkraft

**Resultat***Metod*

SS-ISO 11465

GC/MS

GC-ECD



Rapporten genererad från @MIS. Orginal rapport med ev ackrediteringlogo återfinns hos rapportmottagaren.

*Kund*

NGU

Forsker,Miljögeokemi

Leiv Erikssons vei 39

7491 Trondheim Norway

Sweden

*Avser***Mark**

Projektnamn: 2960Returkraft

Provtyp: Jord

Provets märkning: -

**Provinformation**

Ankomstdatum	2009-12-22
Rapportdatum	2010-02-04
Provtagare	-
Ankomsttidpunkt	1230
Provtagningsdag	2009-12-17
Provets märkning	RTK04
Provtagningsdjup	-
Fakturareferens	296000 Returkraft

**Resultat***Metod*

SS-ISO 11465

GC/MS

GC-ECD

GC-ECD&lt;/div



Rapporten genererad från @MIS. Orginal rapport med ev ackrediteringlogo återfinns hos rapportmottagaren.

*Kund*

NGU

Forsker,Miljögeokemi

Leiv Erikssons vei 39

7491 Trondheim Norway

Sweden

*Avser***Mark**

Projektnamn: 2960Returkraft

Provtyp: Jord

Provets märkning: -

**Provinformation**

Ankomstdatum	2009-12-22
Rapportdatum	2010-02-04
Provtagare	-
Ankomsttidpunkt	1230
Provtagningsdag	2009-12-17
Provets märkning	RTK05
Provtagningsdjup	-
Fakturareferens	296000 Returkraft

**Resultat***Metod*

SS-ISO 11465

GC/MS

GC-ECD

GC-ECD&lt;/div



Rapporten genererad från @MIS. Orginal rapport med ev ackrediteringlogo återfinns hos rapportmottagaren.

*Kund*

NGU

Forsker,Miljögeokemi

Leiv Erikssons vei 39

7491 Trondheim Norway

Sweden

*Avser***Mark**

Projektnamn: 2960Returkraft

Provtyp: Jord

Provets märkning: -

**Provinformation**

Ankomstdatum	2009-12-22
Rapportdatum	2010-02-01
Provtagare	-
Ankomsttidpunkt	1230
Provtagningsdag	2009-12-17
Provets märkning	RTK06
Provtagningsdjup	-
Fakturareferens	296000 Returkraft

**Resultat***Metod*

SS-ISO 11465

GC/MS

GC-ECD

GC-ECD&lt;/div



Rapporten genererad från @MIS. Orginal rapport med ev ackrediteringlogo återfinns hos rapportmottagaren.

*Kund*

NGU

Forsker,Miljögeokemi

Leiv Erikssons vei 39

7491 Trondheim Norway

Sweden

*Avser***Mark**

Projektnamn: 2960Returkraft

Provtyp: Jord

Provets märkning: -

**Provinformation**

Ankomstdatum	2009-12-22
Rapportdatum	2010-02-04
Provtagare	-
Ankomsttidpunkt	1230
Provtagningsdag	2009-12-17
Provets märkning	RTK07
Provtagningsdjup	-
Fakturareferens	296000 Returkraft

**Resultat***Metod*

SS-ISO 11465

GC/MS

GC-ECD

GC-ECD&lt;/div



Rapporten genererad från @MIS. Orginal rapport med ev ackrediteringlogo återfinns hos rapportmottagaren.

*Kund*

NGU

Forsker,Miljögeokemi

Leiv Erikssons vei 39

7491 Trondheim Norway

Sweden

*Avser***Mark**

Projektnamn: 2960Returkraft

Provtyp: Jord

Provets märkning: -

**Provinformation**

Ankomstdatum	2009-12-22
Rapportdatum	2010-02-04
Provtagare	-
Ankomsttidpunkt	1230
Provtagningsdag	2009-12-17
Provets märkning	RTK08
Provtagningsdjup	-
Fakturareferens	296000 Returkraft

**Resultat***Metod*

SS-ISO 11465

GC/MS

GC-ECD

GC-ECD&lt;/div



Rapporten genererad från @MIS. Orginal rapport med ev ackrediteringlogo återfinns hos rapportmottagaren.

*Kund*

NGU

Forsker,Miljögeokemi

Leiv Erikssons vei 39

7491 Trondheim Norway

Sweden

*Avser***Mark**

Projektnamn: 2960Returkraft

Provtyp: Jord

Provets märkning: -

**Provinformation**

Ankomstdatum	2009-12-22
Rapportdatum	2010-02-04
Provtagare	-
Ankomsttidpunkt	1230
Provtagningsdag	2009-12-17
Provets märkning	RTK09
Provtagningsdjup	-
Fakturareferens	296000 Returkraft

**Resultat***Metod*

SS-ISO 11465

GC/MS

GC-ECD

GC-ECD&lt;/div



Rapporten genererad från @MIS. Orginal rapport med ev ackrediteringlogo återfinns hos rapportmottagaren.

*Kund*

NGU

Forsker,Miljögeokemi

Leiv Erikssons vei 39

7491 Trondheim Norway

Sweden

## Avser

**Mark**

Projektnamn: 2960Returkraft

Provtyp: Jord

Provets märkning: -

**Provinformation**

Ankomstdatum	2009-12-22
Rapportdatum	2010-02-04
Provtagare	-
Ankomsttidpunkt	1230
Provtagningsdag	2009-12-17
Provets märkning	RTK10
Provtagningsdjup	-
Fakturareferens	296000 Returkraft

**Resultat***Metod*

SS-ISO 11465

GC/MS

GC-ECD



Rapporten genererad från @MIS. Orginal rapport med ev ackrediteringlogo återfinns hos rapportmottagaren.

*Kund*

NGU

Forsker,Miljögeokemi

Leiv Erikssons vei 39

7491 Trondheim Norway

Sweden

*Avser***Mark**

Projektnamn: 2960Returkraft

Provtyp: Jord

Provets märkning: -

**Provinformation**

Ankomstdatum	2009-12-22
Rapportdatum	2010-02-04
Provtagare	-
Ankomsttidpunkt	1230
Provtagningsdag	2009-12-17
Provets märkning	RTK11
Provtagningsdjup	-
Fakturareferens	296000 Returkraft

**Resultat***Metod*

SS-ISO 11465

GC/MS

GC-ECD

GC-ECD&lt;/div



Rapporten genererad från @MIS. Orginal rapport med ev ackrediteringlogo återfinns hos rapportmottagaren.



Kund  
NGU  
Forsker,Miljögeokemi  
Leiv Erikssons vei 39  
7491 Trondheim Norway  
Sweden

Avser

**Mark**

Projektnamn: 2960Returkraft

Provtyp: Jord

Provets märkning: -

**Provinformation**

Ankomstdatum	2009-12-22
Rapportdatum	2010-02-03
Provtagare	-
Ankomsttidpunkt	1230
Provtagningsdag	2009-12-17
Provets märkning	RTK12
Provtagningsdjup	-
Fakturareferens	296000 Returkraft

**Resultat**

Metod	Parameter	Resultat	Enhet
SS-ISO 11465	Torrsubstans	79.0	%
GC/MS	Acenaften	<0.03	mg/kg TS
GC/MS	Acenaftylen	<0.03	mg/kg TS
GC/MS	Naftalen	<0.03	mg/kg TS
GC/MS	PAH-L,summa	<0.03	mg/kg TS
GC/MS	Antracen	<0.03	mg/kg TS
GC/MS	Fenanren	<0.03	mg/kg TS
GC/MS	Fluoranten	<0.03	mg/kg TS
GC/MS	Fluoren	<0.03	mg/kg TS
GC/MS	Pyren	<0.03	mg/kg TS
GC/MS	PAH-M,summa	<0.05	mg/kg TS
GC/MS	Benzo(a)antracen	<0.03	mg/kg TS
GC/MS	Benzo(a)pyren	<0.03	mg/kg TS
GC/MS	Benzo(b)fluoranten	0.036	mg/kg TS
GC/MS	Benzo(k)fluoranten	<0.03	mg/kg TS
GC/MS	Benzo(ghi)perlylen	<0.03	mg/kg TS
GC/MS	Chrysen/Trifenylen	<0.03	mg/kg TS
GC/MS	Dibenso(a,h)antracen	<0.03	mg/kg TS
GC/MS	Indeno(1,2,3-cd)pyren	<0.03	mg/kg TS
GC/MS	PAH-H,summa	<0.08	mg/kg TS
GC/MS	PAH,summa cancerogena	<0.15	mg/kg TS
GC/MS	PAH,summa övriga	<2	mg/kg TS
GC-ECD	PCB-28 Triklorbifeny	<0.003	mg/kg TS
GC-ECD	PCB-52 Tetraklorbifeny	<0.003	mg/kg TS
GC-ECD	PCB-101 Pentaklorbifeny	<0.003	mg/kg TS
GC-ECD	PCB-118 Pentaklorbifeny	<0.003	mg/kg TS
GC-ECD	PCB-138 Hexaklorbifeny	<0.003	mg/kg TS
GC-ECD	PCB-153 Hexaklorbifeny	<0.003	mg/kg TS
GC-ECD	PCB-180 Heptaklorbifeny	<0.003	mg/kg TS
GC-ECD	PCB Summa 7 st	<0.02	mg/kg TS

Linköping, 2010-02-03

Lotta Erlandsson



Rapporten genererad från @MIS. Orginal rapport med ev ackrediteringlogo återfinns hos rapportmottagaren.

*Kund*

NGU

Forsker,Miljögeokemi

Leiv Erikssons vei 39

7491 Trondheim Norway

Sweden

*Avser***Mark**

Projektnamn: 2960Returkraft

Provtyp: Jord

Provets märkning: -

**Provinformation**

Ankomstdatum	2009-12-22
Rapportdatum	2010-02-04
Provtagare	-
Ankomsttidpunkt	1230
Provtagningsdag	2009-12-17
Provets märkning	RTK13
Provtagningsdjup	-
Fakturareferens	296000 Returkraft

**Resultat***Metod*

SS-ISO 11465

GC/MS

GC-ECD

GC-ECD&lt;/div



Rapporten genererad från @MIS. Orginal rapport med ev ackrediteringlogo återfinns hos rapportmottagaren.



Kund  
NGU  
Forsker,Miljögeokemi  
Leiv Erikssons vei 39  
7491 Trondheim Norway  
Sweden

Avser

**Mark**

Projektnamn: 2960Returkraft

Provtyp: Jord

Provets märkning: -

**Provinformation**

Ankomstdatum	2009-12-22
Rapportdatum	2010-02-04
Provtagare	-
Ankomsttidpunkt	1230
Provtagningsdag	2009-12-17
Provets märkning	RTK14
Provtagningsdjup	-
Fakturareferens	296000 Returkraft

**Resultat**

Metod	Parameter	Resultat	Enhet
SS-ISO 11465	Torrsubstans	69.1	%
GC/MS	Acenaften	<0.03	mg/kg TS
GC/MS	Acenaftylen	<0.03	mg/kg TS
GC/MS	Naftalen	<0.03	mg/kg TS
GC/MS	PAH-L,summa	<0.03	mg/kg TS
GC/MS	Antracen	<0.03	mg/kg TS
GC/MS	Fenanren	<0.03	mg/kg TS
GC/MS	Fluoranten	<0.03	mg/kg TS
GC/MS	Fluoren	<0.03	mg/kg TS
GC/MS	Pyren	<0.03	mg/kg TS
GC/MS	PAH-M,summa	<0.05	mg/kg TS
GC/MS	Benzo(a)antracen	<0.03	mg/kg TS
GC/MS	Benzo(a)pyren	<0.03	mg/kg TS
GC/MS	Benzo(b)fluoranten	<0.03	mg/kg TS
GC/MS	Benzo(k)fluoranten	<0.03	mg/kg TS
GC/MS	Benzo(ghi)perlylen	<0.03	mg/kg TS
GC/MS	Chrysen/Trifenylen	<0.03	mg/kg TS
GC/MS	Dibenso(a,h)antracen	<0.03	mg/kg TS
GC/MS	Indeno(1,2,3-cd)pyren	<0.03	mg/kg TS
GC/MS	PAH-H,summa	<0.08	mg/kg TS
GC/MS	PAH,summa cancerogena	<0.15	mg/kg TS
GC/MS	PAH,summa övriga	<2	mg/kg TS
GC-ECD	PCB-28 Triklorbifeny	<0.003	mg/kg TS
GC-ECD	PCB-52 Tetraklorbifeny	<0.003	mg/kg TS
GC-ECD	PCB-101 Pentaklorbifeny	<0.003	mg/kg TS
GC-ECD	PCB-118 Pentaklorbifeny	<0.003	mg/kg TS
GC-ECD	PCB-138 Hexaklorbifeny	<0.003	mg/kg TS
GC-ECD	PCB-153 Hexaklorbifeny	<0.003	mg/kg TS
GC-ECD	PCB-180 Heptaklorbifeny	<0.003	mg/kg TS
GC-ECD	PCB Summa 7 st	<0.02	mg/kg TS

Linköping, 2010-02-04

Lotta Erlandsson



Rapporten genererad från @MIS. Orginal rapport med ev ackrediteringlogo återfinns hos rapportmottagaren.

*Kund*

NGU

Forsker,Miljögeokemi

Leiv Erikssons vei 39

7491 Trondheim Norway

Sweden

*Avser***Mark**

Projektnamn: 2960Returkraft

Provtyp: Jord

Provets märkning: -

**Provinformation**

Ankomstdatum	2009-12-22
Rapportdatum	2010-02-02
Provtagare	-
Ankomsttidpunkt	1230
Provtagningsdag	2009-12-17
Provets märkning	RTK15
Provtagningsdjup	-
Fakturareferens	296000 Returkraft

**Resultat***Metod*

SS-ISO 11465

GC/MS

GC-ECD

GC-ECD&lt;/div



Rapporten genererad från @MIS. Orginal rapport med ev ackrediteringlogo återfinns hos rapportmottagaren.

*Kund*

NGU

Forsker,Miljögeokemi

Leiv Erikssons vei 39

7491 Trondheim Norway

Sweden

*Avser***Mark**

Projektnamn: 2960Returkraft

Provtyp: Jord

Provets märkning: -

**Provinformation**

Ankomstdatum	2009-12-22
Rapportdatum	2010-01-19
Provtagare	-
Ankomsttidpunkt	1230
Provtagningsdag	2009-12-17
Provets märkning	RTK16
Provtagningsdjup	-
Fakturareferens	296000 Returkraft

**Resultat***Metod*

SS-ISO 11465

GC/MS

GC-ECD

GC-ECD&lt;/div



Rapporten genererad från @MIS. Orginal rapport med ev ackrediteringlogo återfinns hos rapportmottagaren.

*Kund*

NGU

Forsker,Miljögeokemi

Leiv Erikssons vei 39

7491 Trondheim Norway

Sweden

*Avser***Mark**

Projektnamn: 2960Returkraft

Provtyp: Jord

Provets märkning: -

**Provinformation**

Ankomstdatum	2009-12-22
Rapportdatum	2010-02-01
Provtagare	-
Ankomsttidpunkt	1230
Provtagningsdag	2009-12-17
Provets märkning	RTK17
Provtagningsdjup	-
Fakturareferens	296000 Returkraft

**Resultat***Metod*

SS-ISO 11465

GC/MS

GC-ECD

GC-ECD&lt;/div



Rapporten genererad från @MIS. Orginal rapport med ev ackrediteringlogo återfinns hos rapportmottagaren.

*Kund*

NGU

Forsker,Miljögeokemi

Leiv Erikssons vei 39

7491 Trondheim Norway

Sweden

*Avser***Mark**

Projektnamn: 2960Returkraft

Provtyp: Jord

Provets märkning: -

**Provinformation**

Ankomstdatum	2009-12-22
Rapportdatum	2010-02-01
Provtagare	-
Ankomsttidpunkt	1230
Provtagningsdag	2009-12-17
Provets märkning	RTK18
Provtagningsdjup	-
Fakturareferens	296000 Returkraft

**Resultat***Metod*

SS-ISO 11465

GC/MS

GC-ECD

GC-ECD&lt;/div



Rapporten genererad från @MIS. Orginal rapport med ev ackrediteringlogo återfinns hos rapportmottagaren.

*Kund*

NGU

Forsker,Miljögeokemi

Leiv Erikssons vei 39

7491 Trondheim Norway

Sweden

## Avser

**Mark**

Projektnamn: 2960Returkraft

Provtyp: Jord

Provets märkning: -

**Provinformation**

Ankomstdatum	2009-12-22
Rapportdatum	2010-01-19
Provtagare	-
Ankomsttidpunkt	1230
Provtagningsdag	2009-12-17
Provets märkning	RTK19
Provtagningsdjup	-
Fakturareferens	296000 Returkraft

**Resultat***Metod*

SS-ISO 11465

GC/MS

GC-ECD



Rapporten genererad från @MIS. Orginal rapport med ev ackrediteringlogo återfinns hos rapportmottagaren.

*Kund*

NGU

Forsker,Miljögeokemi

Leiv Erikssons vei 39

7491 Trondheim Norway

Sweden

*Avser***Mark**

Projektnamn: 2960Returkraft

Provtyp: Jord

Provets märkning: -

**Provinformation**

Ankomstdatum	2009-12-22
Rapportdatum	2010-02-01
Provtagare	-
Ankomsttidpunkt	1230
Provtagningsdag	2009-12-17
Provets märkning	RTK20
Provtagningsdjup	-
Fakturareferens	296000 Returkraft

**Resultat***Metod*

SS-ISO 11465

GC/MS

GC-ECD

GC-ECD&lt;/div



Rapporten genererad från @MIS. Orginal rapport med ev ackrediteringlogo återfinns hos rapportmottagaren.

*Kund*

NGU

Forsker,Miljögeokemi

Leiv Erikssons vei 39

7491 Trondheim Norway

Sweden

*Avser***Mark**

Projektnamn: 2960Returkraft

Provtyp: Jord

Provets märkning: -

**Provinformation**

Ankomstdatum	2009-12-22
Rapportdatum	2010-02-02
Provtagare	-
Ankomsttidpunkt	1230
Provtagningsdag	2009-12-17
Provets märkning	RTK21
Provtagningsdjup	-
Fakturareferens	296000 Returkraft

**Resultat***Metod*

SS-ISO 11465

GC/MS

GC-ECD

GC-ECD&lt;/div



Rapporten genererad från @MIS. Orginal rapport med ev ackrediteringlogo återfinns hos rapportmottagaren.

*Kund*

NGU

Forsker,Miljögeokemi

Leiv Erikssons vei 39

7491 Trondheim Norway

Sweden

*Avser***Mark**

Projektnamn: 2960Returkraft

Provtyp: Jord

Provets märkning: -

**Provinformation**

Ankomstdatum	2009-12-22
Rapportdatum	2010-02-01
Provtagare	-
Ankomsttidpunkt	1230
Provtagningsdag	2009-12-17
Provets märkning	RTK22
Provtagningsdjup	-
Fakturareferens	296000 Returkraft

**Resultat***Metod*

SS-ISO 11465

GC/MS

GC-ECD

GC-ECD&lt;/div



Rapporten genererad från @MIS. Orginal rapport med ev ackrediteringlogo återfinns hos rapportmottagaren.

*Kund*

NGU

Forsker,Miljögeokemi

Leiv Erikssons vei 39

7491 Trondheim Norway

Sweden

*Avser***Mark**

Projektnamn: 2960Returkraft

Provtyp: Jord

Provets märkning: -

**Provinformation**

Ankomstdatum	2009-12-22
Rapportdatum	2010-02-01
Provtagare	-
Ankomsttidpunkt	1230
Provtagningsdag	2009-12-17
Provets märkning	RTK23
Provtagningsdjup	-
Fakturareferens	296000 Returkraft

**Resultat***Metod*

SS-ISO 11465

GC/MS

GC-ECD

GC-ECD&lt;/div



Rapporten genererad från @MIS. Orginal rapport med ev ackrediteringlogo återfinns hos rapportmottagaren.

*Kund*

NGU

Forsker,Miljögeokemi

Leiv Erikssons vei 39

7491 Trondheim Norway

Sweden

*Avser***Mark**

Projektnamn: 2960Returkraft

Provtyp: Jord

Provets märkning: -

**Provinformation**

Ankomstdatum	2009-12-22
Rapportdatum	2010-01-19
Provtagare	-
Ankomsttidpunkt	1230
Provtagningsdag	2009-12-17
Provets märkning	RTK24
Provtagningsdjup	-
Fakturareferens	296000 Returkraft

**Resultat***Metod*

SS-ISO 11465

GC/MS

GC-ECD

GC-ECD&lt;/div



Rapporten genererad från @MIS. Orginal rapport med ev ackrediteringlogo återfinns hos rapportmottagaren.

*Kund*

NGU

Forsker,Miljögeokemi

Leiv Erikssons vei 39

7491 Trondheim Norway

Sweden

*Avser***Mark**

Projektnamn: 2960Returkraft

Provtyp: Jord

Provets märkning: -

**Provinformation**

Ankomstdatum	2009-12-22
Rapportdatum	2010-01-19
Provtagare	-
Ankomsttidpunkt	1230
Provtagningsdag	2009-12-17
Provets märkning	RTK25
Provtagningsdjup	-
Fakturareferens	296000 Returkraft

**Resultat***Metod*

SS-ISO 11465

GC/MS

GC-ECD

GC-ECD&lt;/div



Rapporten genererad från @MIS. Orginal rapport med ev ackrediteringlogo återfinns hos rapportmottagaren.

*Kund*

NGU

Forsker,Miljögeokemi

Leiv Erikssons vei 39

7491 Trondheim Norway

Sweden

*Avser***Mark**

Projektnamn: 2960Returkraft

Provtyp: Jord

Provets märkning: -

**Provinformation**

Ankomstdatum	2009-12-22
Rapportdatum	2010-02-01
Provtagare	-
Ankomsttidpunkt	1230
Provtagningsdag	2009-12-17
Provets märkning	RTK26
Provtagningsdjup	-
Fakturareferens	296000 Returkraft

**Resultat***Metod*

SS-ISO 11465

GC/MS

GC-ECD

GC-ECD&lt;/div



Rapporten genererad från @MIS. Orginal rapport med ev ackrediteringlogo återfinns hos rapportmottagaren.

*Kund*

NGU

Forsker,Miljögeokemi

Leiv Erikssons vei 39

7491 Trondheim Norway

Sweden

*Avser***Mark**

Projektnamn: 2960Returkraft

Provtyp: Jord

Provets märkning: -

**Provinformation**

Ankomstdatum	2009-12-22
Rapportdatum	2010-02-01
Provtagare	-
Ankomsttidpunkt	1230
Provtagningsdag	2009-12-17
Provets märkning	RTK27
Provtagningsdjup	-
Fakturareferens	296000 Returkraft

**Resultat***Metod*

SS-ISO 11465

GC/MS

GC-ECD

GC-ECD&lt;/div



Rapporten genererad från @MIS. Orginal rapport med ev ackrediteringlogo återfinns hos rapportmottagaren.

*Kund*

NGU

Forsker,Miljögeokemi

Leiv Erikssons vei 39

7491 Trondheim Norway

Sweden

*Avser***Mark**

Projektnamn: 2960Returkraft

Provtyp: Jord

Provets märkning: -

**Provinformation**

Ankomstdatum	2009-12-22
Rapportdatum	2010-02-01
Provtagare	-
Ankomsttidpunkt	1230
Provtagningsdag	2009-12-17
Provets märkning	RTK28
Provtagningsdjup	-
Fakturareferens	296000 Returkraft

**Resultat***Metod*

SS-ISO 11465

GC/MS

GC-ECD

GC-ECD&lt;/div



Rapporten genererad från @MIS. Orginal rapport med ev ackrediteringlogo återfinns hos rapportmottagaren.

*Kund*

NGU

Forsker,Miljögeokemi

Leiv Erikssons vei 39

7491 Trondheim Norway

Sweden

*Avser***Mark**

Projektnamn: 2960Returkraft

Provtyp: Jord

Provets märkning: -

**Provinformation**

Ankomstdatum	2009-12-22
Rapportdatum	2010-01-19
Provtagare	-
Ankomsttidpunkt	1230
Provtagningsdag	2009-12-17
Provets märkning	RTK29
Provtagningsdjup	-
Fakturareferens	296000 Returkraft

**Resultat***Metod*

SS-ISO 11465

GC/MS

GC-ECD

GC-ECD&lt;/div



Rapporten genererad från @MIS. Orginal rapport med ev ackrediteringlogo återfinns hos rapportmottagaren.

*Kund*

NGU

Forsker,Miljögeokemi

Leiv Erikssons vei 39

7491 Trondheim Norway

Sweden

*Avser***Mark**

Projektnamn: 2960Returkraft

Provtyp: Jord

Provets märkning: -

**Provinformation**

Ankomstdatum	2009-12-22
Rapportdatum	2010-02-01
Provtagare	-
Ankomsttidpunkt	1230
Provtagningsdag	2009-12-17
Provets märkning	RTK30
Provtagningsdjup	-
Fakturareferens	296000 Returkraft

**Resultat***Metod*

SS-ISO 11465

GC/MS

GC-ECD

GC-ECD&lt;/div



Rapporten genererad från @MIS. Orginal rapport med ev ackrediteringlogo återfinns hos rapportmottagaren.

## **Vedlegg 3**

Dioksin/furan analyserapporter (NILU rapport nr. O-6689).

NGU  
Leiv Eirikssons vei 39  
7040 Trondheim  
Att: Malin Andersson

Deres ref./Your ref.:

Vår ref./Our ref.:  
EKE/MSE/O-109003

Kjeller,  
February 18<sup>th</sup> 2010

## Results of PCDD/PCDF and nonortho-PCB analysis

We are referring to the receipt of one sample December 18<sup>th</sup> 2009.

Our measuring report O-6672 is enclosed.

Our method NILU-O-1, accredited after ISO/IEC-17025, is used.

Regards

Ole-Anders Braathen  
Dept. director, Environmental Chemistry



Ellen Kathrin Enge  
Senior Scientist

Enclosure: Measuring report O-6672

*Deltaker i CIENS og Miljøalliansen / Associated with CIENS and the Environmental Research Alliance of Norway  
ISO-sertifisert etter / ISO certified according to NS-EN ISO 9001*

NILU  
P.O. Box 100  
NO-2027 KJELLER, Norway  
Phone: +47 63 89 80 00/Fax: +47 63 89 80 50  
Besøk/visit: Instituttveien 18, 2007 Kjeller

NILU Tromsø  
Polarmiljøsenteret / The Polar Environmental Centre  
NO-9296 TROMSØ, Norway  
Phone: +47 77 75 03 75/Fax: +47 77 75 03 76  
Besøk/visit: Hjalmar Johansens gt. 14, 9007 Tromsø

e-mail: nilu@nilu.no  
nilu-tromso@nilu.no  
Internet: www.nilu.no  
Bank: 5102.05.19030  
Foretaksnr./Enterprise no. 941705561

## Measuring report No. O-6672

**Customer:** NGU  
Leiv Eirikssons vei 39  
7040 Trondheim  
Att: Malin Andersson

**Project No.:** O-109003

**Sampling:**

Location:

Responsibility: Customer

Comments:

**Sample information:**

NILU sample ID	Customer's sample ID	Sample type	Sample received	Sample analysed
09/3505	2960 Returkraft RTK01	Jord	18.12.09	18.12.09 – 05.02.10
09/3506	2960 Returkraft RTK02	"	"	"
09/3507	2960 Returkraft RKT03	"	"	"
09/3508	2960 Returkraft RKT04	"	"	"
09/3509	2960 Returkraft RTK05	"	"	"
09/3510	2960 Returkraft RTK06	"	"	"
09/3511	2960 Returkraft RTK07	"	"	"
09/3512	2960 Returkraft RTK08	"	"	"
09/3513	2960 Returkraft RTK09	"	"	"
09/3514	2960 Returkraft RTK10	"	"	"
09/3515	2960 Returkraft RTK11	"	"	"
09/3516	2960 Returkraft RTK12	"	"	"
09/3517	2960 Returkraft RTK13	"	"	"
09/3518	2960 Returkraft RTK14	"	"	"
09/3519	2960 Returkraft RTK15	"	"	"
09/3520	2960 Returkraft RTK16	"	"	"
09/3521	2960 Returkraft RTK17	"	"	"
09/3522	2960 Returkraft RTK18	"	"	"
09/3523	2960 Returkraft RTK19	"	"	"
09/3524	2960 Returkraft RTK20	"	"	"
09/3525	2960 Returkraft RTK21	"	"	"
09/3526	2960 Returkraft RTK22	"	"	"
09/3527	2960 Returkraft RTK23	"	"	"
09/3528	2960 Returkraft RTK24	"	"	"
09/3529	2960 Returkraft RTK25	"	"	"
09/3530	2960 Returkraft RTK26	"	"	"
09/3531	2960 Returkraft RTK27	"	"	"
09/3532	2960 Returkraft RTK28	"	"	"

09/3533B	2960 Returkraft RTK29	"	"	"
09/3534	2960 Returkraft RTK30	"	"	"

**Analyses:**

Performed by: Norwegian Institute for Air Research  
P.O. Box 100  
N-2027 KJELLER

Method: NILU-O-1: ("Determination of polychlorinated dibenzo-p-dioxins and dibenzofurans")

Comments: Information about measurement uncertainty will be provided upon request.

Accepted: Kjeller, February 18<sup>th</sup> 2010



Ole-Anders Braathen  
Dept. director, Environmental Chemistry



Enclosures: Results of 30 PCDD/PCDF analyses: 30 pages  
Measuring report and enclosures cover 32 pages in all

Measuring results represent only the samples analysed. This report shall not be reproduced except in full, without the written approval of the measuring laboratory.

# Results of PCDD/PCDF Analysis



Encl. to measuring report: O-6672

NILU sample number: 09/3505

Kjeller, 27.1.2010

Customer: NGU v/Malin Andersson

Customers sample ID: 2960 Returkraft

: RTK01

Sample type: Jord

Sample amount: 10,0 g

Total sample amount:

Concentration units: pg/g

Data files: VB765\_26\_01\_10-diox

Compound	Concentration pg/g	Recovery %	TE(nordic) pg/g	TE (1998) pg/g	TE (2005) pg/g
<b>Dioxins</b>					
2378-TCDD	<	0,09	68	0,09	0,09
12378-PeCDD	<	0,13	66	0,07	0,13
123478-HxCDD	<	0,08	74	0,01	0,01
123678-HxCDD		0,09 i	68	0,01	0,01
123789-HxCDD	<	0,08		0,01	0,01
1234678-HpCDD		0,59	73	0,01	0,01
OCDD		2,68	92	0,00	0,00
<b>SUM PCDD</b>			<b>0,19</b>	<b>0,26</b>	<b>0,26</b>
<b>Furanes</b>					
2378-TCDF	<	0,08 i	72	0,01	0,01
12378/12348-PeCDF		0,10	*	0,00	0,01
23478-PeCDF		0,16	68	0,08	0,05
123478/123479-HxCDF		0,32	70	0,03	0,03
123678-HxCDF		0,25	69	0,03	0,03
123789-HxCDF		0,11	*	0,01	0,01
234678-HxCDF		0,23	72	0,02	0,02
1234678-HpCDF		1,41	70	0,01	0,01
1234789-HpCDF		0,24 i	*	0,00	0,00
OCDF		3,38	83	0,00	0,00
<b>SUM PCDF</b>			<b>0,20</b>	<b>0,20</b>	<b>0,17</b>
<b>SUM PCDD/PCDF</b>			<b>0,39</b>	<b>0,46</b>	<b>0,43</b>

TE(nordic) : 2378-TCDD toxicity equivalents according to the nordic model (Ahlborg et al., 1988)

TE (1998) : 2378-TCDD toxicity equivalents according to the international model (Nato/CCMS, 1998)

TE (2005) : 2378-TCDD toxicity equivalents according to the WHO model (M. Van den Berg et al., 2005)

< : Lower than detection limit at signal-to-noise 3 to 1

i : Isotope ratio deviates more than 20 % from theoretical value.

This may be due to instrumental noise or/and chemical interference

b : Lower than 10 times method blank

g : Recovery is not according to NILUs quality criteria

\* : Samplingstandard NS-EN 1948

# Results of PCDD/PCDF Analysis



Encl. to measuring report: O-6689

NILU sample number: 09/3506

Kjeller, 02.02.2010

Customer: NGU

Customers sample ID: 2960 Returkraft

: RTK 02

Sample type: Jord

Sample amount: 10,0 g

Total sample amount:

Concentration units: pg/g

Data files: M\_29-01-10\_diox

Compound	Concentration pg/g	Recovery %	TE(nordic) pg/g	TE (1998) pg/g	TE (2005) pg/g
<b>Dioxins</b>					
2378-TCDD	<	0,08	65	0,08	0,08
12378-PeCDD		0,60	64	0,30	0,60
123478-HxCDD		0,42	67	0,04	0,04
123678-HxCDD		0,72	68	0,07	0,07
123789-HxCDD		0,70		0,07	0,07
1234678-HpCDD		6,65	63	0,07	0,07
OCDD		20,7	65	0,02	0,01
<b>SUM PCDD</b>			<b>0,65</b>	<b>0,93</b>	<b>0,93</b>
<b>Furanes</b>					
2378-TCDF		0,72	62	0,07	0,07
12378/12348-PeCDF		1,06	*	0,01	0,05
23478-PeCDF		1,54	64	0,77	0,77
123478/123479-HxCDF		2,46	64	0,25	0,25
123678-HxCDF		1,61	64	0,16	0,16
123789-HxCDF		0,60	*	0,06	0,06
234678-HxCDF		1,82	66	0,18	0,18
1234678-HpCDF		11,2	64	0,11	0,11
1234789-HpCDF		1,30	*	0,01	0,01
OCDF		24,0	66	0,02	0,01
<b>SUM PCDF</b>			<b>1,65</b>	<b>1,67</b>	<b>1,34</b>
<b>SUM PCDD/PCDF</b>			<b>2,30</b>	<b>2,60</b>	<b>2,28</b>

TE(nordic) : 2378-TCDD toxicity equivalents according to the nordic model (Ahlborg et al., 1988)

TE (1998) : 2378-TCDD toxicity equivalents according to the international model (Nato/CCMS, 1998)

TE (2005) : 2378-TCDD toxicity equivalents according to the WHO model (M. Van den Berg et al., 2005)

< : Lower than detection limit at signal-to-noise 3 to 1

i : Isotope ratio deviates more than 20 % from theoretical value.

This may be due to instrumental noise or/and chemical interference

b : Lower than 10 times method blank

g : Recovery is not according to NILUs quality criteria

\* : Samplingstandard NS-EN 1948

# Results of PCDD/PCDF Analysis



Encl. to measuring report: O-6689

NILU sample number: 09/3507

Customer: NGU

Customers sample ID: 2960 Returkraft

: RTK 03

Sample type: Jord

Sample amount: 10,0 g

Total sample amount:

Concentration units: pg/g

Data files: M\_29-01-10\_diox

Kjeller, 02.02.2010

Compound	Concentration pg/g	Recovery %	TE(nordic) pg/g	TE (1998) pg/g	TE (2005) pg/g
<b>Dioxins</b>					
2378-TCDD	0,07	77	0,07	0,07	0,07
12378-PeCDD	0,46	88	0,23	0,46	0,46
123478-HxCDD	0,40	95	0,04	0,04	0,04
123678-HxCDD	0,65	93	0,07	0,07	0,07
123789-HxCDD	0,58 i		0,06	0,06	0,06
1234678-HpCDD	5,79	94	0,06	0,06	0,06
OCDD	20,8	102	0,02	0,00	0,01
<b>SUM PCDD</b>			<b>0,54</b>	<b>0,75</b>	<b>0,75</b>
<b>Furanes</b>					
2378-TCDF	0,89	74	0,09	0,09	0,09
12378/12348-PeCDF	1,30	*	0,01	0,07	0,04
23478-PeCDF	1,65	84	0,83	0,83	0,50
123478/123479-HxCDF	2,66	89	0,27	0,27	0,27
123678-HxCDF	1,85	86	0,19	0,19	0,19
123789-HxCDF	0,76	*	0,08	0,08	0,08
234678-HxCDF	2,04	91	0,20	0,20	0,20
1234678-HpCDF	11,4	91	0,11	0,11	0,11
1234789-HpCDF	1,66	*	0,02	0,02	0,02
OCDF	25,9	102	0,03	0,00	0,01
<b>SUM PCDF</b>			<b>1,82</b>	<b>1,84</b>	<b>1,49</b>
<b>SUM PCDD/PCDF</b>			<b>2,35</b>	<b>2,59</b>	<b>2,25</b>

TE(nordic) : 2378-TCDD toxicity equivalents according to the nordic model (Ahlborg et al., 1988)

TE (1998) : 2378-TCDD toxicity equivalents according to the international model (Nato/CCMS, 1998)

TE (2005) : 2378-TCDD toxicity equivalents according to the WHO model (M. Van den Berg et al., 2005)

< : Lower than detection limit at signal-to-noise 3 to 1

i : Isotope ratio deviates more than 20 % from theoretical value.

This may be due to instrumental noise or/and chemical interference

b : Lower than 10 times method blank

g : Recovery is not according to NILUs quality criteria

\* : Samplingstandard NS-EN 1948

# Results of PCDD/PCDF Analysis



Encl. to measuring report: O-6689

NILU sample number: 09/3508

Customer: NGU

Customers sample ID: 2960 Returkraft

: RTK 04

Sample type: Jord

Sample amount: 10,0 g

Total sample amount:

Concentration units: pg/g

Data files: M\_29-01-10\_diox

Kjeller, 02.02.2010

Compound	Concentration pg/g	Recovery %	TE(nordic) pg/g	TE (1998) pg/g	TE (2005) pg/g
<b>Dioxins</b>					
2378-TCDD	0,39	71	0,39	0,39	0,39
12378-PeCDD	4,27	82	2,13	4,27	4,27
123478-HxCDD	2,89	82	0,29	0,29	0,29
123678-HxCDD	3,94	82	0,39	0,39	0,39
123789-HxCDD	3,10		0,31	0,31	0,31
1234678-HpCDD	23,2	82	0,23	0,23	0,23
OCDD	39,2	87	0,04	0,00	0,01
<b>SUM PCDD</b>			<b>3,78</b>	<b>5,88</b>	<b>5,89</b>
<b>Furanes</b>					
2378-TCDF	1,62	68	0,16	0,16	0,16
12378/12348-PeCDF	3,12	*	0,03	0,16	0,09
23478-PeCDF	7,93	77	3,96	3,96	2,38
123478/123479-HxCDF	9,40	78	0,94	0,94	0,94
123678-HxCDF	8,13	76	0,81	0,81	0,81
123789-HxCDF	4,10	*	0,41	0,41	0,41
234678-HxCDF	12,0	76	1,20	1,20	1,20
1234678-HpCDF	31,5	80	0,32	0,32	0,32
1234789-HpCDF	4,29	*	0,04	0,04	0,04
OCDF	23,0	86	0,02	0,00	0,01
<b>SUM PCDF</b>			<b>7,90</b>	<b>8,00</b>	<b>6,36</b>
<b>SUM PCDD/PCDF</b>			<b>11,7</b>	<b>13,9</b>	<b>12,2</b>

TE(nordic) : 2378-TCDD toxicity equivalents according to the nordic model (Ahlborg et al., 1988)

TE (1998) : 2378-TCDD toxicity equivalents according to the international model (Nato/CCMS, 1998)

TE (2005) : 2378-TCDD toxicity equivalents according to the WHO model (M. Van den Berg et al., 2005)

< : Lower than detection limit at signal-to-noise 3 to 1

i : Isotope ratio deviates more than 20 % from theoretical value.

This may be due to instrumental noise or/and chemical interference

b : Lower than 10 times method blank

g : Recovery is not according to NILUs quality criteria

\* : Samplingstandard NS-EN 1948

# Results of PCDD/PCDF Analysis



Encl. to measuring report: O-6689

NILU sample number: 09/3509

Customer: NGU

Customers sample ID: 2960 Returkraft

: RTK 05

Sample type: Jord

Sample amount: 10,0 g

Total sample amount:

Concentration units: pg/g

Data files: M\_29-01-10\_diox

Kjeller, 02.02.2010

Compound	Concentration pg/g	Recovery %	TE(nordic) pg/g	TE (1998) pg/g	TE (2005) pg/g
<b>Dioxins</b>					
2378-TCDD	0,08	72	0,08	0,08	0,08
12378-PeCDD	0,52	85	0,26	0,52	0,52
123478-HxCDD	0,45	95	0,05	0,05	0,05
123678-HxCDD	0,87	92	0,09	0,09	0,09
123789-HxCDD	0,74		0,07	0,07	0,07
1234678-HpCDD	9,24	96	0,09	0,09	0,09
OCDD	30,6	111	0,03	0,00	0,01
<b>SUM PCDD</b>			<b>0,67</b>	<b>0,90</b>	<b>0,90</b>
<b>Furanes</b>					
2378-TCDF	0,65	71	0,07	0,07	0,07
12378/12348-PeCDF	0,92	*	0,01	0,05	0,03
23478-PeCDF	1,32	80	0,66	0,66	0,40
123478/123479-HxCDF	1,86	87	0,19	0,19	0,19
123678-HxCDF	1,48	86	0,15	0,15	0,15
123789-HxCDF	0,57	*	0,06	0,06	0,06
234678-HxCDF	1,79	87	0,18	0,18	0,18
1234678-HpCDF	8,42	91	0,08	0,08	0,08
1234789-HpCDF	0,97	*	0,01	0,01	0,01
OCDF	13,5	109	0,01	0,00	0,00
<b>SUM PCDF</b>			<b>1,41</b>	<b>1,44</b>	<b>1,16</b>
<b>SUM PCDD/PCDF</b>			<b>2,08</b>	<b>2,33</b>	<b>2,06</b>

TE(nordic) : 2378-TCDD toxicity equivalents according to the nordic model (Ahlborg et al., 1988)

TE (1998) : 2378-TCDD toxicity equivalents according to the international model (Nato/CCMS, 1998)

TE (2005) : 2378-TCDD toxicity equivalents according to the WHO model (M. Van den Berg et al., 2005)

< : Lower than detection limit at signal-to-noise 3 to 1

i : Isotope ratio deviates more than 20 % from theoretical value.

This may be due to instrumental noise or/and chemical interference

b : Lower than 10 times method blank

g : Recovery is not according to NILUs quality criteria

\* : Samplingstandard NS-EN 1948

# Results of PCDD/PCDF Analysis



Encl. to measuring report: O-6689

NILU sample number: 09/3510

Kjeller, 02.02.2010

Customer: NGU

Customers sample ID: 2960 Returkraft

: RTK 06

Sample type: Jord

Sample amount: 10,0 g

Total sample amount:

Concentration units: pg/g

Data files: M\_29-01-10\_diox

Compound	Concentration pg/g	Recovery %	TE(nordic) pg/g	TE (1998) pg/g	TE (2005) pg/g
<b>Dioxins</b>					
2378-TCDD	<	0,02	72	0,02	0,02
12378-PeCDD		0,94	76	0,47	0,94
123478-HxCDD		1,01	/8	0,10	0,10
123678-HxCDD		1,95	79	0,19	0,19
123789-HxCDD		1,85		0,18	0,18
1234678-HpCDD		23,4	74	0,23	0,23
OCDD		70,8	74	0,07	0,02
<b>SUM PCDD</b>			<b>1,28</b>	<b>1,69</b>	<b>1,70</b>
<b>Furanes</b>					
2378-TCDF		1,17	70	0,12	0,12
12378/12348-PeCDF		1,48	*	0,01	0,07
23478-PeCDF		2,35	75	1,18	0,71
123478/123479-HxCDF		3,21	76	0,32	0,32
123678-HxCDF		2,68	74	0,27	0,27
123789-HxCDF		0,97	*	0,10	0,10
234678-HxCDF		3,30	73	0,33	0,33
1234678-HpCDF		14,4	72	0,14	0,14
1234789-HpCDF		1,89	*	0,02	0,02
OCDF		20,5	72	0,02	0,01
<b>SUM PCDF</b>			<b>2,51</b>	<b>2,55</b>	<b>2,05</b>
<b>SUM PCDD/PCDF</b>			<b>3,79</b>	<b>4,24</b>	<b>3,75</b>

TE(nordic) : 2378-TCDD toxicity equivalents according to the nordic model (Ahlborg et al., 1988)

TE (1998) : 2378-TCDD toxicity equivalents according to the international model (Nato/CCMS, 1998)

TE (2005) : 2378-TCDD toxicity equivalents according to the WHO model (M. Van den Berg et al., 2005)

< : Lower than detection limit at signal-to-noise 3 to 1

i : Isotope ratio deviates more than 20 % from theoretical value.

This may be due to instrumental noise or/and chemical interference

b : Lower than 10 times method blank

g : Recovery is not according to NILUs quality criteria

\* : Samplingstandard NS-EN 1948

# Results of PCDD/PCDF Analysis



Encl. to measuring report: O-6689

NILU sample number: 09/3511

Customer: NGU

Customers sample ID: 2960 Returkraft

: RTK 07

Sample type: Jord

Sample amount: 10,0 g

Total sample amount:

Concentration units: pg/g

Data files: M\_29-01-10\_diox

Kjeller, 02.02.2010

Compound	Concentration pg/g	Recovery %	TE(nordic) pg/g	TE (1998) pg/g	TE (2005) pg/g
<b>Dioxins</b>					
2378-TCDD	0,16	50	0,16	0,16	0,16
12378-PeCDD	1,25	77	0,62	1,25	1,25
123478-HxCDD	1,38	95	0,14	0,14	0,14
123678-HxCDD	2,81	91	0,28	0,28	0,28
123789-HxCDD	1,90		0,19	0,19	0,19
1234678-HpCDD	30,8	89	0,31	0,31	0,31
OCDD	99,6	95	0,10	0,01	0,03
<b>SUM PCDD</b>			<b>1,80</b>	<b>2,33</b>	<b>2,35</b>
<b>Furanes</b>					
2378-TCDF	1,82	30	0,18	0,18	0,18
12378/12348-PeCDF	3,11	*	0,03	0,16	0,09
23478-PeCDF	3,78	62	1,89	1,89	1,13
123478/123479-HxCDF	5,94	86	0,59	0,59	0,59
123678-HxCDF	4,76	84	0,48	0,48	0,48
123789-HxCDF	1,69	*	0,17	0,17	0,17
234678-HxCDF	5,73	84	0,57	0,57	0,57
1234678-HpCDF	32,7	83	0,33	0,33	0,33
1234789-HpCDF	4,16	*	0,04	0,04	0,04
OCDF	55,8	96	0,06	0,01	0,02
<b>SUM PCDF</b>			<b>4,34</b>	<b>4,41</b>	<b>3,60</b>
<b>SUM PCDD/PCDF</b>			<b>6,14</b>	<b>6,75</b>	<b>5,90</b>

TE(nordic) : 2378-TCDD toxicity equivalents according to the nordic model (Ahlborg et al., 1988)

TE (1998) : 2378-TCDD toxicity equivalents according to the international model (Nato/CCMS, 1998)

TE (2005) : 2378-TCDD toxicity equivalents according to the WHO model (M. Van den Berg et al., 2005)

< : Lower than detection limit at signal-to-noise 3 to 1

i : Isotope ratio deviates more than 20 % from theoretical value.

This may be due to instrumental noise or/and chemical interference

b : Lower than 10 times method blank

g : Recovery is not according to NILUs quality criteria

\* : Samplingstandard NS-EN 1948

# Results of PCDD/PCDF Analysis



Encl. to measuring report: O-6689

NILU sample number: 09/3512

Customer: NGU

Customers sample ID: 2960 Returkraft

: RTK 08

Sample type: Jord

Sample amount: 10,0 g

Total sample amount:

Concentration units: pg/g

Data files: M\_29-01-10\_diox

Kjeller, 02.02.2010

Compound	Concentration pg/g	Recovery %	TE(nordic) pg/g	TE (1998) pg/g	TE (2005) pg/g
<b>Dioxins</b>					
2378-TCDD	0,17	63	0,17	0,17	0,17
12378-PeCDD	0,12	74	0,06	0,12	0,12
123478-HxCDD	0,18	71	0,02	0,02	0,02
123678-HxCDD	0,16	68	0,02	0,02	0,02
123789-HxCDD	0,17		0,02	0,02	0,02
1234678-HpCDD	1,52	66	0,02	0,02	0,02
OCDD	5,21	65	0,01	0,00	0,00
<b>SUM PCDD</b>			<b>0,31</b>	<b>0,36</b>	<b>0,36</b>
<b>Furanes</b>					
2378-TCDF	0,15	62	0,02	0,02	0,02
12378/12348-PeCDF	0,22	*	0,00	0,01	0,01
23478-PeCDF	0,31	70	0,16	0,16	0,09
123478/123479-HxCDF	0,49	67	0,05	0,05	0,05
123678-HxCDF	0,35	64	0,04	0,04	0,04
123789-HxCDF	0,03	*	0,00	0,00	0,00
234678-HxCDF	0,38	65	0,04	0,04	0,04
1234678-HpCDF	2,37	63	0,02	0,02	0,02
1234789-HpCDF	0,31	*	0,00	0,00	0,00
OCDF	4,40	62	0,00	0,00	0,00
<b>SUM PCDF</b>			<b>0,33</b>	<b>0,34</b>	<b>0,27</b>
<b>SUM PCDD/PCDF</b>			<b>0,64</b>	<b>0,70</b>	<b>0,63</b>

TE(nordic) : 2378-TCDD toxicity equivalents according to the nordic model (Ahlborg et al., 1988)

TE (1998) : 2378-TCDD toxicity equivalents according to the international model (Nato/CCMS, 1998)

TE (2005) : 2378-TCDD toxicity equivalents according to the WHO model (M. Van den Berg et al., 2005)

< : Lower than detection limit at signal-to-noise 3 to 1

i : Isotope ratio deviates more than 20 % from theoretical value.

This may be due to instrumental noise or/and chemical interference

b : Lower than 10 times method blank

g : Recovery is not according to NILUs quality criteria

\* : Samplingstandard NS-EN 1948

# Results of PCDD/PCDF Analysis



Encl. to measuring report: O-6689

NILU sample number: 09/3513

Kjeller, 02.02.2010

Customer: NGU

Customers sample ID: 2960 Returkraft

: RTK 09

Sample type: Jord

Sample amount: 10,0 g

Total sample amount:

Concentration units: pg/g

Data files: M\_29-01-10\_diox

Compound	Concentration pg/g	Recovery %	TE(nordic) pg/g	TE (1998) pg/g	TE (2005) pg/g
<b>Dioxins</b>					
2378-TCDD	<	0,03	65	0,03	0,03
12378-PeCDD		0,36	68	0,18	0,36
123478-HxCDD		0,37	71	0,04	0,04
123678-HxCDD		0,71	67	0,07	0,07
123789-HxCDD		0,60		0,06	0,06
1234678-HpCDD		8,49	65	0,08	0,08
OCDD		29,1	63	0,03	0,01
<b>SUM PCDD</b>			<b>0,49</b>	<b>0,65</b>	<b>0,66</b>
<b>Furanes</b>					
2378-TCDF		0,34	64	0,03	0,03
12378/12348-PeCDF		0,34	*	0,00	0,02
23478-PeCDF		0,61	66	0,31	0,31
123478/123479-HxCDF		0,77	67	0,08	0,08
123678-HxCDF		0,68	65	0,07	0,07
123789-HxCDF		0,28	*	0,03	0,03
234678-HxCDF		0,68	59	0,07	0,07
1234678-HpCDF		3,13	60	0,03	0,03
1234789-HpCDF		0,44	*	0,00	0,00
OCDF		3,81	59	0,00	0,00
<b>SUM PCDF</b>			<b>0,63</b>	<b>0,64</b>	<b>0,51</b>
<b>SUM PCDD/PCDF</b>			<b>1,12</b>	<b>1,28</b>	<b>1,16</b>

TE(nordic) : 2378-TCDD toxicity equivalents according to the nordic model (Ahlborg et al., 1988)

TE (1998) : 2378-TCDD toxicity equivalents according to the international model (Nato/CCMS, 1998)

TE (2005) : 2378-TCDD toxicity equivalents according to the WHO model (M. Van den Berg et al., 2005)

< : Lower than detection limit at signal-to-noise 3 to 1

i : Isotope ratio deviates more than 20 % from theoretical value.

This may be due to instrumental noise or/and chemical interference

b : Lower than 10 times method blank

g : Recovery is not according to NILUs quality criteria

\* : Samplingstandard NS-EN 1948

# Results of PCDD/PCDF Analysis



Encl. to measuring report: O-6689

NILU sample number: 09/3514

Kjeller, 02.02.2010

Customer: NGU

Customers sample ID: 2960 Returkraft

: RTK 10

Sample type: Jord

Sample amount: 10,0 g

Total sample amount:

Concentration units: pg/g

Data files: M\_29-01-10\_diox

Compound	Concentration pg/g	Recovery %	TE(nordic) pg/g	TE (1998) pg/g	TE (2005) pg/g
<b>Dioxins</b>					
2378-TCDD	0,39	46	0,39	0,39	0,39
12378-PeCDD	0,75 i	52	0,38	0,75	0,75
123478-HxCDD	0,63	58	0,06	0,06	0,06
123678-HxCDD	0,87	58	0,09	0,09	0,09
123789-HxCDD	0,89		0,09	0,09	0,09
1234678-HpCDD	10,9	58	0,11	0,11	0,11
OCDD	44,1	63	0,04	0,00	0,01
<b>SUM PCDD</b>			<b>1,16</b>	<b>1,49</b>	<b>1,50</b>
<b>Furanes</b>					
2378-TCDF	0,73	47	0,07	0,07	0,07
12378/12348-PeCDF	0,99		* 0,01	0,05	0,03
23478-PeCDF	1,34	51	0,67	0,67	0,40
123478/123479-HxCDF	2,16	56	0,22	0,22	0,22
123678-HxCDF	1,71	56	0,17	0,17	0,17
123789-HxCDF	0,56		* 0,06	0,06	0,06
234678-HxCDF	1,90	56	0,19	0,19	0,19
1234678-HpCDF	10,9	57	0,11	0,11	0,11
1234789-HpCDF	1,42		* 0,01	0,01	0,01
OCDF	20,9	64	0,02	0,00	0,01
<b>SUM PCDF</b>			<b>1,53</b>	<b>1,55</b>	<b>1,27</b>
<b>SUM PCDD/PCDF</b>			<b>2,68</b>	<b>3,04</b>	<b>2,77</b>

TE(nordic) : 2378-TCDD toxicity equivalents according to the nordic model (Ahlborg et al., 1988)

TE (1998) : 2378-TCDD toxicity equivalents according to the international model (Nato/CCMS, 1998)

TE (2005) : 2378-TCDD toxicity equivalents according to the WHO model (M. Van den Berg et al., 2005)

< : Lower than detection limit at signal-to-noise 3 to 1

i : Isotope ratio deviates more than 20 % from theoretical value.

This may be due to instrumental noise or/and chemical interference

b : Lower than 10 times method blank

g : Recovery is not according to NILUs quality criteria

\* : Samplingstandard NS-EN 1948

# Results of PCDD/PCDF Analysis



Encl. to measuring report: O-6689

NILU sample number: 09/3515

Customer: NGU

Customers sample ID: 2960 Returkraft

: RTK 11

Sample type: Jord

Sample amount: 10,0 g

Total sample amount:

Concentration units: pg/g

Data files: M\_29-01-10\_diox

Kjeller, 02.02.2010

Compound	Concentration pg/g	Recovery %	TE(nordic) pg/g	TE (1998) pg/g	TE (2005) pg/g
<b>Dioxins</b>					
2378-TCDD	<	0,03	77	0,03	0,03
12378-PeCDD		0,63	81	0,31	0,63
123478-HxCDD		0,57	84	0,06	0,06
123678-HxCDD		1,14	83	0,11	0,11
123789-HxCDD		1,04		0,10	0,10
1234678-HpCDD		12,6	83	0,13	0,13
OCDD		38,9	79	0,04	0,01
<b>SUM PCDD</b>			<b>0,78</b>	<b>1,06</b>	<b>1,07</b>
<b>Furanes</b>					
2378-TCDF		0,88	75	0,09	0,09
12378/12348-PeCDF		1,08	*	0,01	0,05
23478-PeCDF		1,59	82	0,80	0,80
123478/123479-HxCDF		2,30	84	0,23	0,23
123678-HxCDF		1,83	85	0,18	0,18
123789-HxCDF		0,65	*	0,07	0,07
234678-HxCDF		2,23	82	0,22	0,22
1234678-HpCDF		10,8	84	0,11	0,11
1234789-HpCDF		1,30	*	0,01	0,01
OCDF		18,0	79	0,02	0,01
<b>SUM PCDF</b>			<b>1,73</b>	<b>1,76</b>	<b>1,43</b>
<b>SUM PCDD/PCDF</b>			<b>2,51</b>	<b>2,82</b>	<b>2,49</b>

TE(nordic) : 2378-TCDD toxicity equivalents according to the nordic model (Ahlborg et al., 1988)

TE (1998) : 2378-TCDD toxicity equivalents according to the international model (Nato/CCMS, 1998)

TE (2005) : 2378-TCDD toxicity equivalents according to the WHO model (M. Van den Berg et al., 2005)

< : Lower than detection limit at signal-to-noise 3 to 1

i : Isotope ratio deviates more than 20 % from theoretical value.

This may be due to instrumental noise or/and chemical interference

b : Lower than 10 times method blank

g : Recovery is not according to NILUs quality criteria

\* : Samplingstandard NS-EN 1948

# Results of PCDD/PCDF Analysis



Encl. to measuring report: O-6689

NILU sample number: 09/3516

Customer: NGU

Customers sample ID: 2960 Returkraft  
: RTK 12

Sample type: Jord

Sample amount: 10,0 g

Total sample amount:

Concentration units: pg/g

Data files: M\_29-01-10\_diox

Kjeller, 02.02.2010

Compound	Concentration pg/g	Recovery %	TE(nordic) pg/g	TE (1998) pg/g	TE (2005) pg/g
<b>Dioxins</b>					
2378-TCDD	<	0,06	53	0,06	0,06
12378-PeCDD		0,30	70	0,15	0,30
123478-HxCDD		0,27	77	0,03	0,03
123678-HxCDD		0,45	75	0,04	0,04
123789-HxCDD		0,42		0,04	0,04
1234678-HpCDD		4,65	68	0,05	0,05
OCDD		14,5	60	0,01	0,00
<b>SUM PCDD</b>			<b>0,39</b>	<b>0,52</b>	<b>0,52</b>
<b>Furanes</b>					
2378-TCDF		0,39	37	0,04	0,04
12378/12348-PeCDF		0,67	*	0,01	0,03
23478-PeCDF		0,83	65	0,42	0,42
123478/123479-HxCDF		1,53	78	0,15	0,15
123678-HxCDF		1,13	80	0,11	0,11
123789-HxCDF		0,50	*	0,05	0,05
234678-HxCDF		1,08	66	0,11	0,11
1234678-HpCDF		7,16	70	0,07	0,07
1234789-HpCDF		0,95	*	0,01	0,01
OCDF		14,5	62	0,01	0,00
<b>SUM PCDF</b>			<b>0,98</b>	<b>1,00</b>	<b>0,82</b>
<b>SUM PCDD/PCDF</b>			<b>1,37</b>	<b>1,52</b>	<b>1,34</b>

TE(nordic) : 2378-TCDD toxicity equivalents according to the nordic model (Ahlborg et al., 1988)

TE (1998) : 2378-TCDD toxicity equivalents according to the international model (Nato/CCMS, 1998)

TE (2005) : 2378-TCDD toxicity equivalents according to the WHO model (M. Van den Berg et al., 2005)

< : Lower than detection limit at signal-to-noise 3 to 1

i : Isotope ratio deviates more than 20 % from theoretical value.

This may be due to instrumental noise or/and chemical interference

b : Lower than 10 times method blank

g : Recovery is not according to NILUs quality criteria

\* : Samplingstandard NS-EN 1948

# Results of PCDD/PCDF Analysis



Encl. to measuring report: O-6689

NILU sample number: 09/3517

Customer: NGU

Customers sample ID: 2960 Returkraft

: RTK 13

Sample type: Jord

Sample amount: 10,0 g

Total sample amount:

Concentration units: pg/g

Data files: M\_29-01-10\_diox

Compound	Concentration pg/g	Recovery %	TE(nordic) pg/g	TE (1998) pg/g	TE (2005) pg/g
<b>Dioxins</b>					
2378-TCDD	0,72	70	0,72	0,72	0,72
12378-PeCDD	0,22	70	0,11	0,22	0,22
123478-HxCDD	0,21	73	0,02	0,02	0,02
123678-HxCDD	0,31	71	0,03	0,03	0,03
123789-HxCDD	0,24		0,02	0,02	0,02
1234678-HpCDD	2,87	68	0,03	0,03	0,03
OCDD	12,0	62	0,01	0,00	0,00
<b>SUM PCDD</b>			<b>0,95</b>	<b>1,05</b>	<b>1,05</b>
<b>Furanes</b>					
2378-TCDF	0,17	72	0,02	0,02	0,02
12378/12348-PeCDF	0,47	*	0,00	0,02	0,01
23478-PeCDF	0,52	73	0,26	0,26	0,16
123478/123479-HxCDF	1,19	74	0,12	0,12	0,12
123678-HxCDF	0,85	74	0,08	0,08	0,08
123789-HxCDF	0,32	*	0,03	0,03	0,03
234678-HxCDF	0,83	74	0,08	0,08	0,08
1234678-HpCDF	5,57	73	0,06	0,06	0,06
1234789-HpCDF	0,69	*	0,01	0,01	0,01
OCDF	14,2	62	0,01	0,00	0,00
<b>SUM PCDF</b>			<b>0,68</b>	<b>0,68</b>	<b>0,57</b>
<b>SUM PCDD/PCDF</b>			<b>1,62</b>	<b>1,73</b>	<b>1,62</b>

TE(nordic) : 2378-TCDD toxicity equivalents according to the nordic model (Ahlborg et al., 1988)

TE (1998) : 2378-TCDD toxicity equivalents according to the international model (Nato/CCMS, 1998)

TE (2005) : 2378-TCDD toxicity equivalents according to the WHO model (M. Van den Berg et al., 2005)

< : Lower than detection limit at signal-to-noise 3 to 1

i : Isotope ratio deviates more than 20 % from theoretical value.

This may be due to instrumental noise or/and chemical interference

b : Lower than 10 times method blank

g : Recovery is not according to NILUs quality criteria

\* : Samplingstandard NS-EN 1948

# Results of PCDD/PCDF Analysis



Encl. to measuring report: O-6689

NILU sample number: 09/3518

Kjeller, 02.02.2010

Customer: NGU

Customers sample ID: 2960 Returkraft

: RTK 14

Sample type: Jord

Sample amount: 10,0 g

Total sample amount:

Concentration units: pg/g

Data files: M\_29-01-10\_2\_diox

Compound	Concentration pg/g	Recovery %	TE(nordic) pg/g	TE (1998) pg/g	TE (2005) pg/g
<b>Dioxins</b>					
2378-TCDD	2,07	78	2,07	2,07	2,07
12378-PeCDD	<	0,05	0,02	0,05	0,05
123478-HxCDD		0,20	0,02	0,02	0,02
123678-HxCDD		0,18	0,02	0,02	0,02
123789-HxCDD	<	0,04	0,00	0,00	0,00
1234678-HpCDD		1,64	0,02	0,02	0,02
OCDD	6,28	79	0,01	0,00	0,00
<b>SUM PCDD</b>			<b>2,16</b>	<b>2,18</b>	<b>2,18</b>
<b>Furanes</b>					
2378-TCDF	0,17	75	0,02	0,02	0,02
12378/12348-PeCDF	0,29	*	0,00	0,01	0,01
23478-PeCDF	0,34	84	0,17	0,17	0,10
123478/123479-HxCDF	0,69	86	0,07	0,07	0,07
123678-HxCDF	0,51	84	0,05	0,05	0,05
123789-HxCDF	0,16	*	0,02	0,02	0,02
234678-HxCDF	0,53	84	0,05	0,05	0,05
1234678-HpCDF	3,29	77	0,03	0,03	0,03
1234789-HpCDF	0,42	*	0,00	0,00	0,00
OCDF	7,99	78	0,01	0,00	0,00
<b>SUM PCDF</b>			<b>0,43</b>	<b>0,43</b>	<b>0,36</b>
<b>SUM PCDD/PCDF</b>			<b>2,58</b>	<b>2,61</b>	<b>2,53</b>

TE(nordic) : 2378-TCDD toxicity equivalents according to the nordic model (Ahlborg et al., 1988)

TE (1998) : 2378-TCDD toxicity equivalents according to the international model (Nato/CCMS, 1998)

TE (2005) : 2378-TCDD toxicity equivalents according to the WHO model (M. Van den Berg et al., 2005)

< : Lower than detection limit at signal-to-noise 3 to 1

i : Isotope ratio deviates more than 20 % from theoretical value.

This may be due to instrumental noise or/and chemical interference

b : Lower than 10 times method blank

g : Recovery is not according to NILUs quality criteria

\* : Samplingstandard NS-EN 1948

# Results of PCDD/PCDF Analysis



Encl. to measuring report: O-6689

NILU sample number: 09/3519

Customer: NGU

Customers sample ID: 2960 Returkraft

: RTK 15

Sample type: Jord

Sample amount: 10,0 g

Total sample amount:

Concentration units: pg/g

Data files: M\_29-01-10\_2\_diox

Kjeller, 02.02.2010

Compound	Concentration pg/g	Recovery %	TE(nordic) pg/g	TE (1998) pg/g	TE (2005) pg/g
<b>Dioxins</b>					
2378-TCDD	0,77	79	0,77	0,77	0,77
12378-PeCDD	0,41	86	0,20	0,41	0,41
123478-HxCDD	0,28	97	0,03	0,03	0,03
123678-HxCDD	0,45	92	0,05	0,05	0,05
123789-HxCDD	0,43		0,04	0,04	0,04
1234678-HpCDD	4,38	95	0,04	0,04	0,04
OCDD	14,4	92	0,01	0,00	0,00
<b>SUM PCDD</b>			<b>1,15</b>	<b>1,34</b>	<b>1,34</b>
<b>Furanes</b>					
2378-TCDF	0,49	76	0,05	0,05	0,05
12378/12348-PeCDF	1,01	*	0,01	0,05	0,03
23478-PeCDF	1,24	85	0,62	0,62	0,37
123478/123479-HxCDF	2,20	89	0,22	0,22	0,22
123678-HxCDF	1,69	87	0,17	0,17	0,17
123789-HxCDF	0,60	*	0,06	0,06	0,06
234678-HxCDF	1,66	87	0,17	0,17	0,17
1234678-HpCDF	10,8	83	0,11	0,11	0,11
1234789-HpCDF	1,38	*	0,01	0,01	0,01
OCDF	22,9	88	0,02	0,00	0,01
<b>SUM PCDF</b>			<b>1,44</b>	<b>1,46</b>	<b>1,20</b>
<b>SUM PCDD/PCDF</b>			<b>2,59</b>	<b>2,80</b>	<b>2,54</b>

TE(nordic) : 2378-TCDD toxicity equivalents according to the nordic model (Ahlborg et al., 1988)

TE (1998) : 2378-TCDD toxicity equivalents according to the international model (Nato/CCMS, 1998)

TE (2005) : 2378-TCDD toxicity equivalents according to the WHO model (M. Van den Berg et al., 2005)

< : Lower than detection limit at signal-to-noise 3 to 1

i : Isotope ratio deviates more than 20 % from theoretical value.

This may be due to instrumental noise or/and chemical interference

b : Lower than 10 times method blank

g : Recovery is not according to NILUs quality criteria

\* : Samplingstandard NS-EN 1948

# Results of PCDD/PCDF Analysis



Encl. to measuring report: O-6689

NILU sample number: 09/3520

Customer: NGU

Customers sample ID: 2960 Returkraft

: RTK 1|6

Sample type: Jord

Sample amount: 10,0 g

Total sample amount:

Concentration units: pg/g

Data files: M\_29-01-10\_2\_diox

Kjeller, 02.02.2010

Compound	Concentration pg/g	Recovery %	TE(nordic) pg/g	TE (1998) pg/g	TE (2005) pg/g
<b>Dioxins</b>					
2378-TCDD	1,01	80	1,01	1,01	1,01
12378-PeCDD	0,40	86	0,20	0,40	0,40
123478-HxCDD	0,33 i	92	0,03	0,03	0,03
123678-HxCDD	0,71	88	0,07	0,07	0,07
123789-HxCDD	0,70		0,07	0,07	0,07
1234678-HpCDD	8,96	83	0,09	0,09	0,09
OCDD	34,3	78	0,03	0,00	0,01
<b>SUM PCDD</b>			<b>1,50</b>	<b>1,67</b>	<b>1,68</b>
<b>Furanes</b>					
2378-TCDF	0,35	74	0,03	0,03	0,03
12378/12348-PeCDF	0,43	*	0,00	0,02	0,01
23478-PeCDF	0,79	85	0,40	0,40	0,24
123478/123479-HxCDF	0,90	86	0,09	0,09	0,09
123678-HxCDF	0,75	85	0,08	0,08	0,08
123789-HxCDF	0,27	*	0,03	0,03	0,03
234678-HxCDF	0,98	87	0,10	0,10	0,10
1234678-HpCDF	3,77	81	0,04	0,04	0,04
1234789-HpCDF	0,51	*	0,01	0,01	0,01
OCDF	3,99	77	0,00	0,00	0,00
<b>SUM PCDF</b>			<b>0,77</b>	<b>0,79</b>	<b>0,62</b>
<b>SUM PCDD/PCDF</b>			<b>2,27</b>	<b>2,45</b>	<b>2,30</b>

TE(nordic) : 2378-TCDD toxicity equivalents according to the nordic model (Ahlborg et al., 1988)

TE (1998) : 2378-TCDD toxicity equivalents according to the international model (Nato/CCMS, 1998)

TE (2005) : 2378-TCDD toxicity equivalents according to the WHO model (M. Van den Berg et al., 2005)

< : Lower than detection limit at signal-to-noise 3 to 1

i : Isotope ratio deviates more than 20 % from theoretical value.

This may be due to instrumental noise or/and chemical interference

b : Lower than 10 times method blank

g : Recovery is not according to NILUs quality criteria

\* : Samplingstandard NS-EN 1948

# Results of PCDD/PCDF Analysis



Encl. to measuring report: O-6689

NILU sample number: 09/3521

Customer: NGU

Customers sample ID: 2960 Returkraft

: RTK 17

Sample type: Jord

Sample amount: 10,0 g

Total sample amount:

Concentration units: pg/g

Data files: M\_29-01-10\_2\_diox

Kjeller, 02.02.2010

Compound	Concentration pg/g	Recovery %	TE(nordic) pg/g	TE (1998) pg/g	TE (2005) pg/g
<b>Dioxins</b>					
2378-TCDD	<	0,04	0,04	0,04	0,04
12378-PeCDD		1,01	0,51	1,01	1,01
123478-HxCDD		1,10	0,11	0,11	0,11
123678-HxCDD		1,76	0,18	0,18	0,17
123789-HxCDD		1,73	0,17	0,17	0,17
1234678-HpCDD		21,1	0,21	0,21	0,21
OCDD		67,5	0,07	0,01	0,02
<b>SUM PCDD</b>			<b>1,28</b>	<b>1,73</b>	<b>1,74</b>
<b>Furanes</b>					
2378-TCDF		2,19	0,22	0,22	0,22
12378/12348-PeCDF		2,99	*	0,03	0,15
23478-PeCDF		4,17	2,08	2,08	1,25
123478/123479-HxCDF		6,53	0,65	0,65	0,65
123678-HxCDF		4,46	0,45	0,45	0,45
123789-HxCDF		1,63	*	0,16	0,16
234678-HxCDF		5,55	0,55	0,55	0,55
1234678-HpCDF		30,0	0,30	0,30	0,30
1234789-HpCDF		3,86	*	0,04	0,04
OCDF		62,9	0,06	0,01	0,02
<b>SUM PCDF</b>			<b>4,55</b>	<b>4,61</b>	<b>3,73</b>
<b>SUM PCDD/PCDF</b>			<b>5,83</b>	<b>6,34</b>	<b>5,47</b>

TE(nordic) : 2378-TCDD toxicity equivalents according to the nordic model (Ahlborg et al., 1988)

TE (1998) : 2378-TCDD toxicity equivalents according to the international model (Nato/CCMS, 1998)

TE (2005) : 2378-TCDD toxicity equivalents according to the WHO model (M. Van den Berg et al., 2005)

< : Lower than detection limit at signal-to-noise 3 to 1

i : Isotope ratio deviates more than 20 % from theoretical value.

This may be due to instrumental noise or/and chemical interference

b : Lower than 10 times method blank

g : Recovery is not according to NILUs quality criteria

\* : Samplingstandard NS-EN 1948

# Results of PCDD/PCDF Analysis



Encl. to measuring report: O-6689

NILU sample number: 09/3522

Customer: NGU

Customers sample ID: 2960 Returkraft

: RTK 18

Sample type: Jord

Sample amount: 10,0 g

Total sample amount:

Concentration units: pg/g

Data files: M\_29-01-10\_2\_diox

Kjeller, 02.02.2010

Compound	Concentration pg/g	Recovery %	TE(nordic) pg/g	TE (1998) pg/g	TE (2005) pg/g
<b>Dioxins</b>					
2378-TCDD	<	0,08	53	0,08	0,08
12378-PeCDD		1,12	53	0,56	1,12
123478 HxCDD		1,02	57	0,10	0,10
123678-HxCDD		2,10	59	0,21	0,21
123789-HxCDD		1,94		0,19	0,19
1234678-HpCDD		27,7	54	0,28	0,28
OCDD		89,2	46	0,09	0,03
<b>SUM PCDD</b>			<b>1,52</b>	<b>2,00</b>	<b>2,02</b>
<b>Furanes</b>					
2378-TCDF		1,51	53	0,15	0,15
12378/12348-PeCDF		1,68	*	0,02	0,08
23478-PeCDF		2,65	55	1,33	1,33
123478/123479-HxCDF		4,06	55	0,41	0,41
123678-HxCDF		3,14	55	0,31	0,31
123789-HxCDF		1,28	*	0,13	0,13
234678-HxCDF		4,31	53	0,43	0,43
1234678-HpCDF		19,3	52	0,19	0,19
1234789-HpCDF		2,44	*	0,02	0,02
OCDF		27,8	46	0,03	0,01
<b>SUM PCDF</b>			<b>3,02</b>	<b>3,06</b>	<b>2,50</b>
<b>SUM PCDD/PCDF</b>			<b>4,53</b>	<b>5,06</b>	<b>4,52</b>

TE(nordic) : 2378-TCDD toxicity equivalents according to the nordic model (Ahlborg et al., 1988)

TE (1998) : 2378-TCDD toxicity equivalents according to the international model (Nato/CCMS, 1998)

TE (2005) : 2378-TCDD toxicity equivalents according to the WHO model (M. Van den Berg et al., 2005)

< : Lower than detection limit at signal-to-noise 3 to 1

i : Isotope ratio deviates more than 20 % from theoretical value.

This may be due to instrumental noise or/and chemical interference

b : Lower than 10 times method blank

g : Recovery is not according to NILUs quality criteria

\* : Samplingstandard NS-EN 1948

# Results of PCDD/PCDF Analysis



Encl. to measuring report: O-6689

NILU sample number: 09/3523

Kjeller, 02.02.2010

Customer: NGU

Customers sample ID: 2960 Returkraft

: RKT 19

Sample type: Jord

Sample amount: 10,0 g

Total sample amount:

Concentration units: pg/g

Data files: M\_29-01-10\_2\_diox

Compound	Concentration pg/g	Recovery %	TE(nordic) pg/g	TE (1998) pg/g	TE (2005) pg/g
<b>Dioxins</b>					
2378-TCDD	<	0,05	70	0,05	0,05
12378-PeCDD		0,35	74	0,18	0,35
123478-HxCDD		0,30	78	0,03	0,03
123678-HxCDD		0,62	83	0,06	0,06
123789-HxCDD		0,57		0,06	0,06
1234678-HpCDD		7,00	75	0,07	0,07
OCDD		23,6	62	0,02	0,01
<b>SUM PCDD</b>			<b>0,47</b>	<b>0,63</b>	<b>0,63</b>
<b>Furanes</b>					
2378-TCDF		0,45	68	0,05	0,05
12378/12348-PeCDF		0,50	*	0,00	0,02
23478-PeCDF		0,81	75	0,40	0,40
123478/123479-HxCDF		1,04	79	0,10	0,10
123678-HxCDF		0,79	77	0,08	0,08
123789-HxCDF		0,33	*	0,03	0,03
234678-HxCDF		1,16	78	0,12	0,12
1234678-HpCDF		4,96	71	0,05	0,05
1234789-HpCDF		0,50	*	0,01	0,01
OCDF		6,25	63	0,01	0,00
<b>SUM PCDF</b>			<b>0,85</b>	<b>0,86</b>	<b>0,69</b>
<b>SUM PCDD/PCDF</b>			<b>1,32</b>	<b>1,49</b>	<b>1,32</b>

TE(nordic) : 2378-TCDD toxicity equivalents according to the nordic model (Ahlborg et al., 1988)

TE (1998) : 2378-TCDD toxicity equivalents according to the international model (Nato/CCMS, 1998)

TE (2005) : 2378-TCDD toxicity equivalents according to the WHO model (M. Van den Berg et al., 2005)

< : Lower than detection limit at signal-to-noise 3 to 1

i : Isotope ratio deviates more than 20 % from theoretical value.

This may be due to instrumental noise or/and chemical interference

b : Lower than 10 times method blank

g : Recovery is not according to NILUs quality criteria

\* : Samplingstandard NS-EN 1948

# Results of PCDD/PCDF Analysis



Encl. to measuring report: O-6689

NILU sample number: 09/3524

Customer: NGU

Customers sample ID: 2960 Returkraft

: RTK 20

Sample type: Jord

Sample amount: 10,0 g

Total sample amount:

Concentration units: pg/g

Data files: M\_29-01-10\_2\_diox

Kjeller, 02.02.2010

Compound	Concentration pg/g	Recovery %	TE(nordic) pg/g	TE (1998) pg/g	TE (2005) pg/g
<b>Dioxins</b>					
2378-TCDD	0,22	50	0,22	0,22	0,22
12378-PeCDD	1,69	52	0,85	1,69	1,69
123478-HxCDD	1,64	55	0,16	0,16	0,16
123678-HxCDD	3,36	53	0,34	0,34	0,34
123789-HxCDD	3,08		0,31	0,31	0,31
1234678-HpCDD	37,1	53	0,37	0,37	0,37
OCDD	132	46	0,13	0,01	0,04
<b>SUM PCDD</b>			<b>2,37</b>	<b>3,10</b>	<b>3,13</b>
<b>Furanes</b>					
2378-TCDF	2,02	49	0,20	0,20	0,20
12378/12348-PeCDF	3,17	*	0,03	0,16	0,10
23478-PeCDF	4,82	52	2,41	2,41	1,44
123478/123479-HxCDF	8,78	53	0,88	0,88	0,88
123678-HxCDF	6,07	54	0,61	0,61	0,61
123789-HxCDF	2,56	*	0,26	0,26	0,26
234678-HxCDF	7,63	49	0,76	0,76	0,76
1234678-HpCDF	41,3	48	0,41	0,41	0,41
1234789-HpCDF	5,09	*	0,05	0,05	0,05
OCDF	76,0	45	0,08	0,01	0,02
<b>SUM PCDF</b>			<b>5,69</b>	<b>5,74</b>	<b>4,73</b>
<b>SUM PCDD/PCDF</b>			<b>8,06</b>	<b>8,84</b>	<b>7,86</b>

TE(nordic) : 2378-TCDD toxicity equivalents according to the nordic model (Ahlborg et al., 1988)

TE (1998) : 2378-TCDD toxicity equivalents according to the international model (Nato/CCMS, 1998)

TE (2005) : 2378-TCDD toxicity equivalents according to the WHO model (M. Van den Berg et al., 2005)

< : Lower than detection limit at signal-to-noise 3 to 1

i : Isotope ratio deviates more than 20 % from theoretical value.

This may be due to instrumental noise or/and chemical interference

b : Lower than 10 times method blank

g : Recovery is not according to NILUs quality criteria

\* : Samplingstandard NS-EN 1948

# Results of PCDD/PCDF Analysis



Encl. to measuring report: O-6689

NILU sample number: 09/3525

Customer: NGU

Customers sample ID: 2960 Returkraft

: RTK 21

Sample type: Jord

Sample amount: 10,0 g

Total sample amount:

Concentration units: pg/g

Data files: M\_29-01-10\_2\_diox

Kjeller, 02.02.2010

Compound	Concentration pg/g	Recovery %	TE(nordic) pg/g	TE (1998) pg/g	TE (2005) pg/g
<b>Dioxins</b>					
2378-TCDD	0,27	71	0,27	0,27	0,27
12378-PeCDD	2,15	77	1,07	2,15	2,15
123478-HxCDD	1,73	85	0,17	0,17	0,17
123678-HxCDD	3,35	86	0,33	0,33	0,33
123789-HxCDD	3,20		0,32	0,32	0,32
1234678-HpCDD	32,4	88	0,32	0,32	0,32
OCDD	80,8	74	0,08	0,01	0,02
<b>SUM PCDD</b>			<b>2,58</b>	<b>3,58</b>	<b>3,59</b>
<b>Furanes</b>					
2378-TCDF	3,09	74	0,31	0,31	0,31
12378/12348-PeCDF	4,55	*	0,05	0,23	0,14
23478-PeCDF	6,94	79	3,47	3,47	2,08
123478/123479-HxCDF	10,9	85	1,09	1,09	1,09
123678-HxCDF	7,31	83	0,73	0,73	0,73
123789-HxCDF	3,03	*	0,30	0,30	0,30
234678-HxCDF	9,37	81	0,94	0,94	0,94
1234678-HpCDF	49,2	79	0,49	0,49	0,49
1234789-HpCDF	6,17	*	0,06	0,06	0,06
OCDF	96,7	73	0,10	0,01	0,03
<b>SUM PCDF</b>			<b>7,54</b>	<b>7,64</b>	<b>6,18</b>
<b>SUM PCDD/PCDF</b>			<b>10,1</b>	<b>11,2</b>	<b>9,77</b>

TE(nordic) : 2378-TCDD toxicity equivalents according to the nordic model (Ahlborg et al., 1988)

TE (1998) : 2378-TCDD toxicity equivalents according to the international model (Nato/CCMS, 1998)

TE (2005) : 2378-TCDD toxicity equivalents according to the WHO model (M. Van den Berg et al., 2005)

< : Lower than detection limit at signal-to-noise 3 to 1

i : Isotope ratio deviates more than 20 % from theoretical value.

This may be due to instrumental noise or/and chemical interference

b : Lower than 10 times method blank

g : Recovery is not according to NILUs quality criteria

\* : Samplingstandard NS-EN 1948

# Results of PCDD/PCDF Analysis



Encl. to measuring report: O-6689

NILU sample number: 09/3526

Customer: NGU

Customers sample ID: 2960 Returkraft

: RTK 22

Sample type: Jord

Sample amount: 10,0 g

Total sample amount:

Concentration units: pg/g

Data files: M\_29-01-10\_2\_diox

Kjeller, 02.02.2010

Compound	Concentration pg/g	Recovery %	TE(nordic) pg/g	TE (1998) pg/g	TE (2005) pg/g
<b>Dioxins</b>					
2378-TCDD	0,17	68	0,17	0,17	0,17
12378-PeCDD	1,25	75	0,62	1,25	1,25
123478-HxCDD	1,07	79	0,11	0,11	0,11
123678-HxCDD	1,90	78	0,19	0,19	0,19
123789-HxCDD	1,75		0,18	0,18	0,18
1234678-HpCDD	17,6	85	0,18	0,18	0,18
OCDD	64,7	67	0,06	0,01	0,02
<b>SUM PCDD</b>			<b>1,51</b>	<b>2,07</b>	<b>2,08</b>
<b>Furanes</b>					
2378-TCDF	2,13	65	0,21	0,21	0,21
12378/12348-PeCDF	3,11	*	0,03	0,16	0,09
23478-PeCDF	4,07	74	2,04	2,04	1,22
123478/123479-HxCDF	6,92	74	0,69	0,69	0,69
123678-HxCDF	5,26	75	0,53	0,53	0,53
123789-HxCDF	1,76	*	0,18	0,18	0,18
234678-HxCDF	5,32	74	0,53	0,53	0,53
1234678-HpCDF	33,7	74	0,34	0,34	0,34
1234789-HpCDF	4,26	*	0,04	0,04	0,04
OCDF	84,9	67	0,08	0,01	0,03
<b>SUM PCDF</b>			<b>4,67</b>	<b>4,72</b>	<b>3,86</b>
<b>SUM PCDD/PCDF</b>			<b>6,18</b>	<b>6,79</b>	<b>5,94</b>

TE(nordic) : 2378-TCDD toxicity equivalents according to the nordic model (Ahlborg et al., 1988)

TE (1998) : 2378-TCDD toxicity equivalents according to the international model (Nato/CCMS, 1998)

TE (2005) : 2378-TCDD toxicity equivalents according to the WHO model (M. Van den Berg et al., 2005)

< : Lower than detection limit at signal-to-noise 3 to 1

i : Isotope ratio deviates more than 20 % from theoretical value.

This may be due to instrumental noise or/and chemical interference

b : Lower than 10 times method blank

g : Recovery is not according to NILUs quality criteria

\* : Samplingstandard NS-EN 1948

# Results of PCDD/PCDF Analysis



Encl. to measuring report: O-6689

NILU sample number: 09/3527

Kjeller, 02.02.2010

Customer: NGU

Customers sample ID: 2960 Returkraft

: RTK 23

Sample type: Jord

Sample amount: 10,0 g

Total sample amount:

Concentration units: pg/g

Data files: M\_29-01-10\_2\_diox

Compound	Concentration pg/g	Recovery %	TE(nordic) pg/g	TE (1998) pg/g	TE (2005) pg/g
<b>Dioxins</b>					
2378-TCDD	0,17	58	0,17	0,17	0,17
12378-PeCDD	0,22	64	0,11	0,22	0,22
123478-HxCDD	0,42	64	0,04	0,04	0,04
123678-HxCDD	0,34	60	0,03	0,03	0,03
123789-HxCDD	0,31		0,03	0,03	0,03
1234678-HpCDD	3,59	57	0,04	0,04	0,04
OCDD	15,2	45	0,02	0,00	0,00
<b>SUM PCDD</b>			<b>0,43</b>	<b>0,53</b>	<b>0,53</b>
<b>Furanes</b>					
2378-TCDF	0,26	55	0,03	0,03	0,03
12378/12348-PeCDF	0,30	*	0,00	0,02	0,01
23478-PeCDF	0,48	61	0,24	0,24	0,14
123478/123479-HxCDF	0,62	59	0,06	0,06	0,06
123678-HxCDF	0,49	61	0,05	0,05	0,05
123789-HxCDF	0,21	*	0,02	0,02	0,02
234678-HxCDF	0,54	55	0,05	0,05	0,05
1234678-HpCDF	2,97	55	0,03	0,03	0,03
1234789-HpCDF	0,40	*	0,00	0,00	0,00
OCDF	5,71	45	0,01	0,00	0,00
<b>SUM PCDF</b>			<b>0,49</b>	<b>0,50</b>	<b>0,50</b>
<b>SUM PCDD/PCDF</b>			<b>0,92</b>	<b>1,02</b>	<b>0,93</b>

TE(nordic) : 2378-TCDD toxicity equivalents according to the nordic model (Ahlborg et al., 1988)

TE (1998) : 2378-TCDD toxicity equivalents according to the international model (Nato/CCMS, 1998)

TE (2005) : 2378-TCDD toxicity equivalents according to the WHO model (M. Van den Berg et al., 2005)

< : Lower than detection limit at signal-to-noise 3 to 1

i : Isotope ratio deviates more than 20 % from theoretical value.

This may be due to instrumental noise or/and chemical interference

b : Lower than 10 times method blank

g : Recovery is not according to NILUs quality criteria

\* : Samplingstandard NS-EN 1948

# Results of PCDD/PCDF Analysis



Encl. to measuring report: O-6689

NILU sample number: 09/3528

Kjeller, 02.02.2010

Customer: NGU

Customers sample ID: 2960 Startkraft

: RTK 24

Sample type: Jord

Sample amount: 10,0 g

Total sample amount:

Concentration units: pg/g

Data files: M\_29-01-10:2\_diox

Compound	Concentration pg/g	Recovery %	TE(nordic) pg/g	TE (1998) pg/g	TE (2005) pg/g
<b>Dioxins</b>					
2378-TCDD	<	0,07	71	0,07	0,07
12378-PeCDD	<	0,09	70	0,04	0,09
123478-HxCDD		0,24	67	0,02	0,02
123678-HxCDD	<	0,11	67	0,01	0,01
123789-HxCDD	<	0,11		0,01	0,01
1234678-HpCDD		3,54	60	0,04	0,04
OCDD		17,0	54	0,02	0,01
<b>SUM PCDD</b>			<b>0,21</b>	<b>0,24</b>	<b>0,24</b>
<b>Furanes</b>					
2378-TCDF		0,21	69	0,02	0,02
12378/12348-PeCDF		0,26	*	0,00	0,01
23478-PeCDF		0,38	69	0,19	0,12
123478/123479-HxCDF		0,49	67	0,05	0,05
123678-HxCDF		0,33	65	0,03	0,03
123789-HxCDF		0,20	*	0,02	0,02
234678-HxCDF		0,52	62	0,05	0,05
1234678-HpCDF		2,94	60	0,03	0,03
1234789-HpCDF		0,36	*	0,00	0,00
OCDF		4,42	49	0,00	0,00
<b>SUM PCDF</b>			<b>0,41</b>	<b>0,41</b>	<b>0,33</b>
<b>SUM PCDD/PCDF</b>			<b>0,62</b>	<b>0,65</b>	<b>0,58</b>

TE(nordic) : 2378-TCDD toxicity equivalents according to the nordic model (Ahlborg et al., 1988)

TE (1998) : 2378-TCDD toxicity equivalents according to the international model (Nato/CCMS, 1998)

TE (2005) : 2378-TCDD toxicity equivalents according to the WHO model (M. Van den Berg et al., 2005)

< : Lower than detection limit at signal-to-noise 3 to 1

i : Isotope ratio deviates more than 20 % from theoretical value.

This may be due to instrumental noise or/and chemical interference

b : Lower than 10 times method blank

g : Recovery is not according to NILUs quality criteria

\* : Samplingstandard NS-EN 1948

# Results of PCDD/PCDF Analysis



Encl. to measuring report: O-6689

NILU sample number: 09/3529

Customer: NGU

Customers sample ID: 2960 Returkraft

: RTK 25

Sample type: Jord

Sample amount: 10,0 g

Total sample amount:

Concentration units: pg/g

Data files: M\_29-01-10\_2\_diox

Compound	Concentration pg/g	Recovery %	TE(nordic) pg/g	TE (1998) pg/g	TE (2005) pg/g
<b>Dioxins</b>					
2378-TCDD	<	0,13	47	0,13	0,13
12378-PeCDD		0,36	52	0,18	0,36
123478-HxCDD	<	0,14	53	0,01	0,01
123678-HxCDD		0,44	54	0,04	0,04
123789-HxCDD		0,45		0,05	0,05
1234678-HpCDD		5,82	50	0,06	0,06
OCDD		24,5	51	0,02	0,01
<b>SUM PCDD</b>			<b>0,49</b>	<b>0,65</b>	<b>0,66</b>
<b>Furanes</b>					
2378-TCDF		0,61	47	0,06	0,06
12378/12348-PeCDF		0,79	*	0,01	0,04
23478-PeCDF		1,11	51	0,56	0,56
123478/123479-HxCDF		1,97	52	0,20	0,20
123678-HxCDF		1,47	53	0,15	0,15
123789-HxCDF		0,50	*	0,05	0,05
234678-HxCDF		1,56	50	0,16	0,16
1234678-HpCDF		10,2	47	0,10	0,10
1234789-HpCDF		1,08	*	0,01	0,01
OCDF		23,5	47	0,02	0,01
<b>SUM PCDF</b>			<b>1,31</b>	<b>1,32</b>	<b>1,09</b>
<b>SUM PCDD/PCDF</b>			<b>1,81</b>	<b>1,97</b>	<b>1,09</b>

TE(nordic) : 2378-TCDD toxicity equivalents according to the nordic model (Ahlborg et al., 1988)

TE (1998) : 2378-TCDD toxicity equivalents according to the international model (Nato/CCMS, 1998)

TE (2005) : 2378-TCDD toxicity equivalents according to the WHO model (M. Van den Berg et al., 2005)

< : Lower than detection limit at signal-to-noise 3 to 1

i : Isotope ratio deviates more than 20 % from theoretical value.

This may be due to instrumental noise or/and chemical interference

b : Lower than 10 times method blank

g : Recovery is not according to NILUs quality criteria

\* : Samplingstandard NS-EN 1948

# Results of PCDD/PCDF Analysis



Encl. to measuring report: O-6689

NILU sample number: 09/3530

Kjeller, 02.02.2010

Customer: NGU

Customers sample ID: 2960 Returkraft

: RTK 26

Sample type: Jord

Sample amount: 10,0 g

Total sample amount:

Concentration units: pg/g

Data files: M\_29-01-10\_2\_diox

Compound	Concentration pg/g	Recovery %	TE(nordic) pg/g	TE (1998) pg/g	TE (2005) pg/g
<b>Dioxins</b>					
2378-TCDD	<	0,05	74	0,05	0,05
12378-PeCDD		0,24	82	0,12	0,24
123478-HxCDD		0,23	80	0,02	0,02
123678-HxCDD		0,42	81	0,04	0,04
123789-HxCDD		0,35		0,03	0,03
1234678-HpCDD		4,11	74	0,04	0,04
OCDD		13,1	65	0,01	0,00
<b>SUM PCDD</b>			<b>0,32</b>	<b>0,43</b>	<b>0,43</b>
<b>Furanes</b>					
2378-TCDF		0,32	73	0,03	0,03
12378/12348-PeCDF		0,35	*	0,00	0,02
23478-PeCDF		0,54	81	0,27	0,27
123478/123479-HxCDF		0,77	78	0,08	0,08
123678-HxCDF		0,50	82	0,05	0,05
123789-HxCDF	<	0,05	*	0,00	0,00
234678-HxCDF		0,68	81	0,07	0,07
1234678-HpCDF		2,87	72	0,03	0,03
1234789-HpCDF		0,31	*	0,00	0,00
OCDF		4,08	61	0,00	0,00
<b>SUM PCDF</b>			<b>0,54</b>	<b>0,55</b>	<b>0,44</b>
<b>SUM PCDD/PCDF</b>			<b>0,86</b>	<b>0,98</b>	<b>0,87</b>

TE(nordic) : 2378-TCDD toxicity equivalents according to the nordic model (Ahlborg et al., 1988)

TE (1998) : 2378-TCDD toxicity equivalents according to the international model (Nato/CCMS, 1998)

TE (2005) : 2378-TCDD toxicity equivalents according to the WHO model (M. Van den Berg et al., 2005)

< : Lower than detection limit at signal-to-noise 3 to 1

i : Isotope ratio deviates more than 20 % from theoretical value.

This may be due to instrumental noise or/and chemical interference

b : Lower than 10 times method blank

g : Recovery is not according to NILUs quality criteria

\* : Samplingstandard NS-EN 1948

# Results of PCDD/PCDF Analysis



Encl. to measuring report: O-6689

NILU sample number: 09/3531

Customer: NGU

Customers sample ID: 2960 Returkraft

: RTK 27

Sample type: Jord

Sample amount: 10,0 g

Total sample amount:

Concentration units: pg/g

Data files: M\_29-01-10\_2\_diox

Compound	Concentration pg/g	Recovery %	TE(nordic) pg/g	TE (1998) pg/g	TE (2005) pg/g
<b>Dioxins</b>					
2378-TCDD	<	0,14	49	0,14	0,14
12378-PeCDD	<	0,14	54	0,07	0,14
123478-HxCDD	<	0,19	54	0,02	0,02
123678-HxCDD	<	0,19	50	0,02	0,02
123789-HxCDD	<	0,21		0,02	0,02
1234678-HpCDD		5,65	52	0,06	0,06
OCDD		22,2	45	0,02	0,01
<b>SUM PCDD</b>			<b>0,35</b>	<b>0,40</b>	<b>0,40</b>
<b>Furanes</b>					
2378-TCDF		0,59	49	0,06	0,06
12378/12348-PeCDF		0,95	*	0,01	0,05
23478-PeCDF		1,26	54	0,63	0,63
123478/123479-HxCDF		2,73	54	0,27	0,27
123678-HxCDF		1,71	56	0,17	0,17
123789-HxCDF		0,74	*	0,07	0,07
234678-HxCDF		1,88	53	0,19	0,19
1234678-HpCDF		13,3	49	0,13	0,13
1234789-HpCDF		1,40	*	0,01	0,01
OCDF		32,0	42	0,03	0,01
<b>SUM PCDF</b>			<b>1,58</b>	<b>1,59</b>	<b>1,59</b>
<b>SUM PCDD/PCDF</b>			<b>1,93</b>	<b>1,99</b>	<b>1,73</b>

TE(nordic) : 2378-TCDD toxicity equivalents according to the nordic model (Ahlborg et al., 1988)

TE (1998) : 2378-TCDD toxicity equivalents according to the international model (Nato/CCMS, 1998)

TE (2005) : 2378-TCDD toxicity equivalents according to the WHO model (M. Van den Berg et al., 2005)

< : Lower than detection limit at signal-to-noise 3 to 1

i: Isotope ratio deviates more than 20 % from theoretical value.

This may be due to instrumental noise or/and chemical interference

b : Lower than 10 times method blank

g : Recovery is not according to NILUs quality criteria

\* : Samplingstandard NS-EN 1948

# Results of PCDD/PCDF Analysis



Encl. to measuring report: O-6689

NILU sample number: 09/3532

Customer: NGU

Customers sample ID: 2960 Returkraft

: RTK 28

Sample type: Jord

Sample amount: 10,0 g

Total sample amount:

Concentration units: pg/g

Data files: M\_29-01-10\_2\_diox

Kjeller, 02.02.2010

Compound	Concentration pg/g	Recovery %	TE(nordic) pg/g	TE (1998) pg/g	TE (2005) pg/g
<b>Dioxins</b>					
2378-TCDD	<	0,11	70	0,11	0,11
12378-PeCDD	<	0,09	79	0,04	0,09
123478-HxCDD		0,42	79	0,04	0,04
123678-HxCDD		0,38	77	0,04	0,04
123789-HxCDD	<	0,11		0,01	0,01
1234678-HpCDD		4,28	78	0,04	0,04
OCDD		14,6	73	0,01	0,00
<b>SUM PCDD</b>			<b>0,30</b>	<b>0,33</b>	<b>0,33</b>
<b>Furanes</b>					
2378-TCDF		0,33	70	0,03	0,03
12378/12348-PeCDF		0,48	*	0,00	0,02
23478-PeCDF		0,68	80	0,34	0,20
123478/123479-HxCDF		1,34	79	0,13	0,13
123678-HxCDF		0,95	83	0,10	0,10
123789-HxCDF	<	0,08	*	0,01	0,01
234678-HxCDF		1,01	79	0,10	0,10
1234678-HpCDF		6,10	80	0,06	0,06
1234789-HpCDF		0,60	*	0,01	0,01
OCDF		12,2	64	0,01	0,00
<b>SUM PCDF</b>			<b>0,80</b>	<b>0,80</b>	<b>0,66</b>
<b>SUM PCDD/PCDF</b>			<b>1,09</b>	<b>1,13</b>	<b>0,99</b>

TE(nordic) : 2378-TCDD toxicity equivalents according to the nordic model (Ahlborg et al., 1988)

TE (1998) : 2378-TCDD toxicity equivalents according to the international model (Nato/CCMS, 1998)

TE (2005) : 2378-TCDD toxicity equivalents according to the WHO model (M. Van den Berg et al., 2005)

< : Lower than detection limit at signal-to-noise 3 to 1

i : Isotope ratio deviates more than 20 % from theoretical value.

This may be due to instrumental noise or/and chemical interference

b : Lower than 10 times method blank

g : Recovery is not according to NILUs quality criteria

\* : Samplingstandard NS-EN 1948

# Results of PCDD/PCDF Analysis



Encl. to measuring report: O-6689

NILU sample number: 09/3533B

Kjeller, 09.02.2010

Customer: NGU

Customers sample ID: 2960 Returkraft

: RKT 29

Sample type: Jord

Sample amount: 10,0 g

Total sample amount:

Concentration units: pg/g

Data files: M\_08-02-10\_diox

Compound	Concentration pg/g	Recovery %	TE(nordic) pg/g	TE (1998) pg/g	TE (2005) pg/g
<b>Dioxins</b>					
2378-TCDD	<	0,19	77	0,19	0,19
12378-PeCDD		0,54	79	0,27	0,54
123478-HxCDD	<	0,34	77	0,03	0,03
123678-HxCDD		0,36	76	0,04	0,04
123789-HxCDD	<	0,58		0,06	0,06
1234678-HpCDD		4,18	68	0,04	0,04
OCDD		11,8	57	0,01	0,00
<b>SUM PCDD</b>			<b>0,64</b>	<b>0,90</b>	<b>0,90</b>
<b>Furanes</b>					
2378-TCDF		0,52	77	0,05	0,05
12378/12348-PeCDF		0,79	*	0,01	0,04
23478-PeCDF		0,80	79	0,40	0,40
123478/123479-HxCDF		1,04	82	0,10	0,10
123678-HxCDF		0,84	82	0,08	0,08
123789-HxCDF		0,24	*	0,02	0,02
234678-HxCDF		0,82	80	0,08	0,08
1234678-HpCDF		3,13	77	0,03	0,03
1234789-HpCDF		0,26	*	0,00	0,00
OCDF		4,68	59	0,00	0,00
<b>SUM PCDF</b>			<b>0,79</b>	<b>0,82</b>	<b>0,64</b>
<b>SUM PCDD/PCDF</b>			<b>1,43</b>	<b>1,72</b>	<b>1,55</b>

TE(nordic) : 2378-TCDD toxicity equivalents according to the nordic model (Ahlborg et al., 1988)

TE (1998) : 2378-TCDD toxicity equivalents according to the international model (Nato/CCMS, 1998)

TE (2005) : 2378-TCDD toxicity equivalents according to the WHO model (M. Van den Berg et al., 2005)

< : Lower than detection limit at signal-to-noise 3 to 1

i : Isotope ratio deviates more than 20 % from theoretical value.

This may be due to instrumental noise or/and chemical interference

b : Lower than 10 times method blank

g : Recovery is not according to NILUs quality criteria

\* : Samplingstandard NS-EN 1948

# Results of PCDD/PCDF Analysis



Encl. to measuring report: O-6689

NILU sample number: 09/3534

Kjeller, 02.02.2010

Customer: NGU

Customers sample ID: 2960 Returkraft

: RTK 30

Sample type: Jord

Sample amount: 10,0 g

Total sample amount:

Concentration units: pg/g

Data files: M\_29-01-10\_2\_diox

Compound	Concentration pg/g	Recovery %	TE(nordic) pg/g	TE (1998) pg/g	TE (2005) pg/g
<b>Dioxins</b>					
2378-TCDD	<	0,04	73	0,04	0,04
12378-PeCDD		0,44	78	0,22	0,44
123478-HxCDD		0,49	80	0,05	0,05
123678-HxCDD		0,71	81	0,07	0,07
123789-HxCDD		0,61		0,06	0,06
1234678-HpCDD		8,34	85	0,08	0,08
OCDD		27,1	63	0,03	0,01
<b>SUM PCDD</b>			<b>0,55</b>	<b>0,74</b>	<b>0,75</b>
<b>Furanes</b>					
2378-TCDF		0,69	69	0,07	0,07
12378/12348-PeCDF		0,86	*	0,01	0,04
23478-PeCDF		1,55	78	0,77	0,77
123478/123479-HxCDF		2,69	77	0,27	0,27
123678-HxCDF		1,79	78	0,18	0,18
123789-HxCDF		0,62	*	0,06	0,06
234678-HxCDF		2,27	75	0,23	0,23
1234678-HpCDF		13,2	73	0,13	0,13
1234789-HpCDF		1,73	*	0,02	0,02
OCDF		28,4	60	0,03	0,01
<b>SUM PCDF</b>			<b>1,77</b>	<b>1,78</b>	<b>1,45</b>
<b>SUM PCDD/PCDF</b>			<b>2,31</b>	<b>2,52</b>	<b>2,20</b>

TE(nordic) : 2378-TCDD toxicity equivalents according to the nordic model (Ahlborg et al., 1988)

TE (1998) : 2378-TCDD toxicity equivalents according to the international model (Nato/CCMS, 1998)

TE (2005) : 2378-TCDD toxicity equivalents according to the WHO model (M. Van den Berg et al., 2005)

< : Lower than detection limit at signal-to-noise 3 to 1

i : Isotope ratio deviates more than 20 % from theoretical value.

This may be due to instrumental noise or/and chemical interference

b : Lower than 10 times method blank

g : Recovery is not according to NILUs quality criteria

\* : Samplingstandard NS-EN 1948

## **Vedlegg 4**

30 jordprøver (RTK01 – RTK30) HNO<sub>3</sub>-ekstrahert og analysert med CV-AAS (Hg), GF-AAS (As, Cd, Pb) og ICP-AES (31 elementer).

NGULab analyserapport nr. 2010.0054,

Prøve navn	Vekt Skål [g]	Vekt prøve(A) [g]	Vekt digel+prøve(B) [g]	Vekt etter 480°C(C) [g]	Gl.tap [%]	Aske [%]
RTK01	2,2143	5,0000	7,2143	6,8520	7,2	92,8
RTK02	2,2146	5,0000	7,2146	6,7328	9,6	90,4
RTK03	2,2097	5,0000	7,2097	6,7219	9,8	90,2
RTK04	2,2075	5,0000	7,2075	6,8342	7,5	92,5
RTK05	2,2113	5,0000	7,2113	7,0289	3,6	96,4
STD KDF	2,2550	3,0000	5,2550	4,8361	14,0	86,0
STD Hynne	2,2117	3,0000	5,2117	5,1365	2,5	97,5
RTK06	2,2539	5,0000	7,2539	6,7082	10,9	89,1
RTK07	2,2096	5,0000	7,2096	6,7410	9,4	90,6
RTK08	2,2060	5,0000	7,2060	6,9998	4,1	95,9
RTK09	2,2067	5,0000	7,2067	7,0595	2,9	97,1
RTK10	2,2106	5,0000	7,2106	6,2224	19,8	80,2
STD KDF		5,0000			0,0	0,0
STD Hynne		5,0000			0,0	0,0
RTK11	2,2085	5,0000	7,2085	6,3596	17,0	83,0
RTK12	2,2020	5,0000	7,2020	6,8980	6,1	93,9
RTK13	2,2072	5,0000	7,2072	6,9555	5,0	95,0
RTK14	2,2181	5,0000	7,2181	6,7285	9,8	90,2
RTK15	2,2116	5,0000	7,2116	6,8568	7,1	92,9
STD KDF		5,0000			0,0	0,0
STD Hynne		5,0000			0,0	0,0
RTK16	2,2242	5,0000	7,2242	6,5333	13,8	86,2
RTK17	2,2194	5,0000	7,2194	6,9010	6,4	93,6
RTK18	2,2205	5,0000	7,2205	6,8043	8,3	91,7
RTK19	2,2120	5,0000	7,2120	6,8401	7,4	92,6
RTK20	2,2216	5,0000	7,2216	6,6120	12,2	87,8
STD KDF		5,0000			0,0	0,0
STD Hynne		5,0000			0,0	0,0
RTK21	2,2158	5,0000	7,2158	6,8412	7,5	92,5
RTK22	2,2110	5,0000	7,2110	5,9800	24,6	75,4
RTK23	2,2402	5,0000	7,2402	6,9545	5,7	94,3
RTK24	2,2406	5,0000	7,2406	7,0095	4,6	95,4

Prøve navn	Vekt Skål [g]	Vekt prøve(A) [g]	Vekt digel+prøve(B) [g]	Vekt etter 480°C(C) [g]	Gl.tap [%]	Aske [%]
RTK25	2,2350	5,0000	7,2350	6,7680	9,3	90,7
STD KDF		5,0000			0,0	0,0
STD Hynne		5,0000			0,0	0,0
RTK26	2,2660	5,0000	7,2660	7,2145	1,0	99,0
RTK27	2,2520	5,0000	7,2520	6,7624	9,8	90,2
RTK28	2,2540	5,0000	7,2540	6,8850	7,4	92,6
RTK29	2,2632	5,0000	7,2632	6,7219	10,8	89,2
RTK30	2,2580	5,0000	7,2580	6,8435	8,3	91,7
Kontr.	2,2467	3,0000	5,2467	2,5516	89,8	10,2

Prøve ID	Si [mg/kg]	Al [mg/kg]	Fe [mg/kg]	Ti [mg/kg]	Mg [mg/kg]	Ca [mg/kg]	Na [mg/kg]	K [mg/kg]	Mn [mg/kg]	P [mg/kg]	Cu [mg/kg]	Zn [mg/kg]	Pb [mg/kg]	Ni [mg/kg]	Co [mg/kg]
RTK01	770	3800	16700	1200	228	263	207	188	27,6	104	<1	12,5	19,1	1,8	0,22
RTK02	674	8160	14300	1320	1250	1610	265	373	129	884	6,0	34,2	29,1	6,0	1,86
RTK03	599	7720	22700	2170	1570	756	235	589	154	308	2,9	18,8	29,1	5,5	1,69
RTK04	657	5970	5660	363	905	2010	210	439	122	1120	17,0	249	33,2	4,4	1,32
RTK05	421	4480	8220	550	1570	1870	262	629	243	1380	15,3	53,9	63,5	5,3	2,35
STD KDF	<1000	10100	274000	479	9810	4040	4870	2700	685	441	2000	6870	1730	36,5	191
STD Hynne	<250	20200	26900	1240	13800	16900	6090	6990	379	603	14,3	73,7	10,8	35,5	10,7
RTK06	<250	35600	40800	4380	29800	1420	272	10400	519	394	21,4	152	14,0	89,6	21,0
RTK07	<250	18300	24800	2260	6590	2700	425	3080	394	500	15,0	94,6	29,3	21,4	7,89
RTK08	504	7420	13100	1030	4100	3660	299	2020	179	835	16,6	39,0	14,3	12,7	6,31
RTK09	<250	7010	12800	1180	4890	2090	237	3530	230	542	13,6	182	12,4	11,1	4,80
RTK10	473	15400	31800	1540	4390	2240	<200	351	242	602	10,0	55,6	27,1	4,8	2,92
STD KDF	<1000	10000	277000	478	9830	4190	4810	2720	696	466	1920	6960	1780	36,2	193
STD Hynne	<250	20100	27700	1210	14000	17300	6290	6850	390	644	14,4	74,6	11,2	37,4	10,6
RTK11	825	5350	12000	1180	731	1660	248	535	193	562	7,3	54,4	43,1	11,9	1,25
RTK12	702	6170	6930	482	849	1700	<200	274	79,6	526	6,6	22,2	19,3	6,1	1,43
RTK13	642	1280	7990	1620	129	213	<200	170	14,5	165	2,8	7,6	35,8	1,4	<0,1
RTK14	765	9170	21500	1660	861	465	<200	341	73,2	150	3,5	20,0	26,9	4,8	1,16
RTK15	540	5660	42500	3650	1730	570	207	667	306	343	14,8	31,4	59,1	5,3	2,55
STD KDF	<1000	10200	278000	485	9940	4120	4910	2760	685	462	1940	6860	1730	37,5	190
STD Hynne	<250	19700	26600	1200	13600	22000	6300	6840	392	594	14,4	74,2	10,8	34,4	10,5
RTK16	544	18900	46300	2770	1510	360	<200	1100	252	417	7,0	103	38,9	4,7	2,00
RTK17	449	7040	34800	5660	2510	1260	213	301	797	385	3,7	46,8	45,0	15,7	10,3
RTK18	350	10800	24100	3320	8300	2720	225	4270	282	921	12,1	81,5	45,1	51,7	8,36
RTK19	394	12600	25800	1420	4000	3870	218	2600	529	1130	10,9	122	23,8	12,5	7,63
RTK20	843	4270	9210	565	791	410	236	396	64,6	409	11,1	14,8	78,9	3,9	1,17
STD KDF	<1000	9920	281000	472	9790	4180	4760	2700	689	473	1850	6890	1770	34,9	193
STD Hynne	<250	19100	26000	1160	13500	18500	6110	6660	388	624	13,8	73,9	11,2	35,7	10,7
RTK21	685	1680	12200	1310	219	269	<200	189	22,9	182	4,9	10,6	52,9	5,1	0,42
RTK22	333	34200	33700	2150	5880	3760	267	2630	2180	554	23,1	208	90,0	42,4	18,2
RTK23	272	12700	17400	1280	4110	2050	250	1930	195	432	10,7	58,0	15,9	12,7	4,52
RTK24	<250	7940	13300	1290	3890	4050	408	2100	189	898	13,3	55,9	16,3	12,1	4,30
RTK25	724	3740	8700	525	471	328	<200	302	31,8	147	10,2	14,1	44,2	10,9	1,07
STD KDF	<1000	9950	279000	472	9660	4060	4960	2720	685	479	1900	6830	1770	36,3	193
STD Hynne	<250	19400	26500	1170	13600	20900	6250	6770	391	613	14,3	73,9	11,1	34,2	10,5

Prøve ID	V [mg/kg]	Mo [mg/kg]	Cd [mg/kg]	Cr [mg/kg]	Ba [mg/kg]	Sr [mg/kg]	Zr [mg/kg]	B [mg/kg]	Be [mg/kg]	Li [mg/kg]	Sc [mg/kg]	Ce [mg/kg]	La [mg/kg]	Y [mg/kg]	As [mg/kg]
RTK01	28,3	<1	0,11	3,64	5,1	2,7	<2	<10	<0,1	1,04	0,42	5,7	3,35	1,21	2,8
RTK02	31,4	<1	0,19	9,74	14,6	9,0	<2	<10	<0,1	4,07	1,52	46,4	15,9	9,30	3,1
RTK03	45,9	<1	<0,1	14,9	15,1	3,2	<2	<10	<0,1	2,82	1,36	10,0	5,73	3,07	<2
RTK04	10,3	<1	0,33	5,54	48,7	21,8	<2	<10	0,11	2,71	0,95	20,0	9,17	4,38	<2
RTK05	16,3	<1	0,12	8,80	29,2	6,7	<2	<10	0,10	4,75	1,53	33,6	14,4	8,97	8,4
STD KDF	62,3	4,1	21,0	80,1	119	17,3	11,6	<40	<0,4	7,88	2,75	28,7	27,9	8,60	989
STD Hynne	53,6	<1	<0,1	48,8	72,2	65,8	16,2	22	0,10	26,7	4,64	47,9	22,9	10,3	<2
RTK06	88,2	<1	0,34	169	98,1	5,6	<2	<10	<0,1	58,4	10,4	54,7	16,2	7,20	<2
RTK07	47,7	<1	0,16	23,2	73,3	9,0	4,3	<10	0,10	21,7	5,46	72,6	27,5	18,3	<2
RTK08	26,4	<1	0,10	18,1	74,2	25,4	<2	<10	<0,1	9,06	1,85	38,5	19,6	6,94	<2
RTK09	23,3	<1	<0,1	17,2	94,2	6,9	2,1	<10	<0,1	13,0	2,99	57,4	28,5	12,6	3,3
RTK10	14,5	15,4	0,26	3,07	14,6	5,1	5,3	<10	0,27	5,78	7,18	176	73,0	49,6	13,1
STD KDF	61,9	5,7	20,3	80,8	119	17,7	11,5	<40	<0,4	8,40	2,71	31,1	27,6	8,59	1030
STD Hynne	52,7	<1	<0,1	48,7	73,0	68,0	16,1	21	<0,1	26,8	4,57	50,5	24,0	10,5	<2
RTK11	26,7	<1	0,20	7,00	18,4	10,2	<2	<10	<0,1	2,84	1,01	12,1	5,04	3,71	2,1
RTK12	12,0	<1	0,16	5,27	11,7	9,7	<2	<10	<0,1	2,40	1,02	21,2	9,38	5,55	<2
RTK13	26,3	1,8	0,24	1,88	4,9	1,9	<2	<10	<0,1	<0,5	0,32	2,7	1,74	1,21	2,5
RTK14	41,5	<1	0,14	9,21	9,4	3,0	2,7	<10	<0,1	4,07	1,54	13,4	6,17	3,19	<2
RTK15	114	1,9	0,10	24,3	17,9	2,3	<2	<10	<0,1	2,34	1,78	6,4	5,08	1,24	2,8
STD KDF	61,0	5,1	20,1	78,8	118	18,1	11,8	<40	<0,4	8,55	2,70	28,2	27,3	8,54	1000
STD Hynne	52,4	<1	<0,1	47,4	70,8	81,4	16,2	22	0,11	26,3	4,60	48,3	22,8	10,4	<2
RTK16	63,1	2,2	0,41	9,24	28,9	3,6	3,1	<10	<0,1	16,5	2,52	32,5	17,1	7,85	2,8
RTK17	83,6	<1	0,16	40,2	15,8	2,8	3,3	<10	<0,1	5,78	1,63	17,2	7,01	4,42	<2
RTK18	50,3	<1	0,17	76,4	65,4	5,5	<2	<10	<0,1	12,1	1,86	23,6	10,6	4,85	<2
RTK19	19,9	1,3	0,41	10,3	96,6	9,9	2,6	<10	0,62	13,5	4,52	124	44,7	30,2	<2
RTK20	25,7	<1	0,13	2,60	12,0	3,1	2,6	<10	<0,1	1,05	0,82	63,7	26,6	8,04	8,2
STD KDF	61,4	<4	20,4	80,3	116	17,5	11,2	<40	<0,4	8,24	2,70	27,7	27,3	8,47	1020
STD Hynne	52,4	<1	<0,1	47,5	69,6	72,9	15,9	22	0,11	26,0	4,53	49,3	23,1	10,4	<2
RTK21	40,8	<1	<0,1	1,14	21,7	7,4	<2	<10	<0,1	<0,5	0,27	40,6	21,7	1,93	5,8
RTK22	55,7	19,1	1,68	31,3	302	29,8	<2	<10	2,02	68,5	8,53	81,6	24,7	15,1	5,8
RTK23	29,8	1,5	0,11	15,0	46,3	10,5	2,9	<10	0,11	12,4	3,77	64,6	28,8	11,7	2,0
RTK24	26,1	<1	<0,1	13,0	51,5	13,2	3,6	<10	<0,1	10,6	3,51	60,4	28,4	20,6	<2
RTK25	20,6	1,3	0,12	3,43	9,7	3,0	<2	<10	<0,1	1,57	0,69	45,0	21,2	4,16	4,3
STD KDF	61,6	<4	20,4	80,6	118	17,6	11,3	<40	<0,4	8,55	2,70	28,3	26,9	8,53	1010
STD Hynne	51,5	<1	<0,1	47,8	70,0	69,7	15,7	23	<0,1	26,4	4,46	47,0	22,3	10,1	<2

Prøve ID	Si	Al	Fe	Ti	Mg	Ca	Na	K	Mn	P	Cu	Zn	Pb	Ni	Co
	[mg/kg]														
RTK26	<250	2680	4820	203	789	587	<200	286	43,6	145	1,4	12,0	<2	2,0	0,92
RTK27	251	18300	30300	2750	8180	1080	<200	1660	613	502	3,4	90,9	23,2	24,0	11,2
RTK28	623	1540	3070	566	222	605	220	260	21,1	198	11,0	10,2	39,9	21,6	0,72
RTK29	<250	21200	32800	2820	11400	7300	777	8690	601	1060	21,6	132	19,7	24,9	12,8
RTK30	252	13000	19800	1890	3290	1610	256	926	180	286	7,0	74,1	30,5	12,3	3,75

Prøve ID	V [mg/kg]	Mo [mg/kg]	Cd [mg/kg]	Cr [mg/kg]	Ba [mg/kg]	Sr [mg/kg]	Zr [mg/kg]	B [mg/kg]	Be [mg/kg]	Li [mg/kg]	Sc [mg/kg]	Ce [mg/kg]	La [mg/kg]	Y [mg/kg]	As [mg/kg]
RTK26	8,6	<1	<0,1	3,05	5,8	2,2	<2	<10	0,11	4,40	0,56	7,5	4,42	2,28	2,6
RTK27	51,8	<1	0,12	45,0	38,2	4,7	<2	<10	<0,1	26,0	3,48	90,6	26,3	9,30	<2
RTK28	12,3	<1	<0,1	2,45	7,4	3,6	<2	<10	<0,1	<0,5	0,51	12,1	3,72	2,34	5,4
RTK29	57,5	<1	0,12	32,3	156	39,3	7,7	<10	0,20	36,0	8,99	133	61,9	40,2	<2
RTK30	33,6	<1	0,18	15,6	34,7	6,2	2,7	<10	<0,1	14,9	2,93	68,7	14,4	10,5	<2

Prøve id.	As mg/kg	Cd mg/kg	Pb mg/kg
RTK01	4,4	0,08	19,0
RTK02	5,1	0,25	28,0
RTK03	3,7	0,10	30,1
RTK04	2,7	0,30	33,3
RTK05	11,3	0,07	60,8
STD KDF	1130	15,4	1600
STD Hynne	5,0	0,04	11,1
RTK06	2,0	0,23	15,8
RTK07	2,7	0,15	33,0
RTK08	1,9	0,12	14,7
RTK09	4,2	0,06	12,5
RTK10	14,2	0,23	27,3
STD KDF	1200	15,7	1770
STD Hynne	5,5	0,02	12,5
RTK11	3,7	0,20	42,0
RTK12	3,1	0,12	17,1
RTK13	4,3	0,24	35,7
RTK14	3,7	0,26	26,2
RTK15	7,1	0,11	57,2
STD KDF	1220	15,6	1630
STD Hynne	5,3	< 0,02	12,3
RTK16	4,8	0,43	40,9
RTK17	3,6	0,20	48,5
RTK18	5,5	0,15	49,3
RTK19	1,4	0,38	25,3
RTK20	9,7	0,12	78,6
STD KDF	1060	15,9	1740
STD Hynne	4,8	0,04	11,7
RTK21	7,1	0,06	49,1
RTK22	9,2	1,74	91,4
RTK23	2,4	0,11	15,6
RTK24	1,6	0,08	15,6
RTK25	4,6	0,11	43,1
STD KDF	1180	16,3	1760
STD Hynne	4,5	0,05	12,8

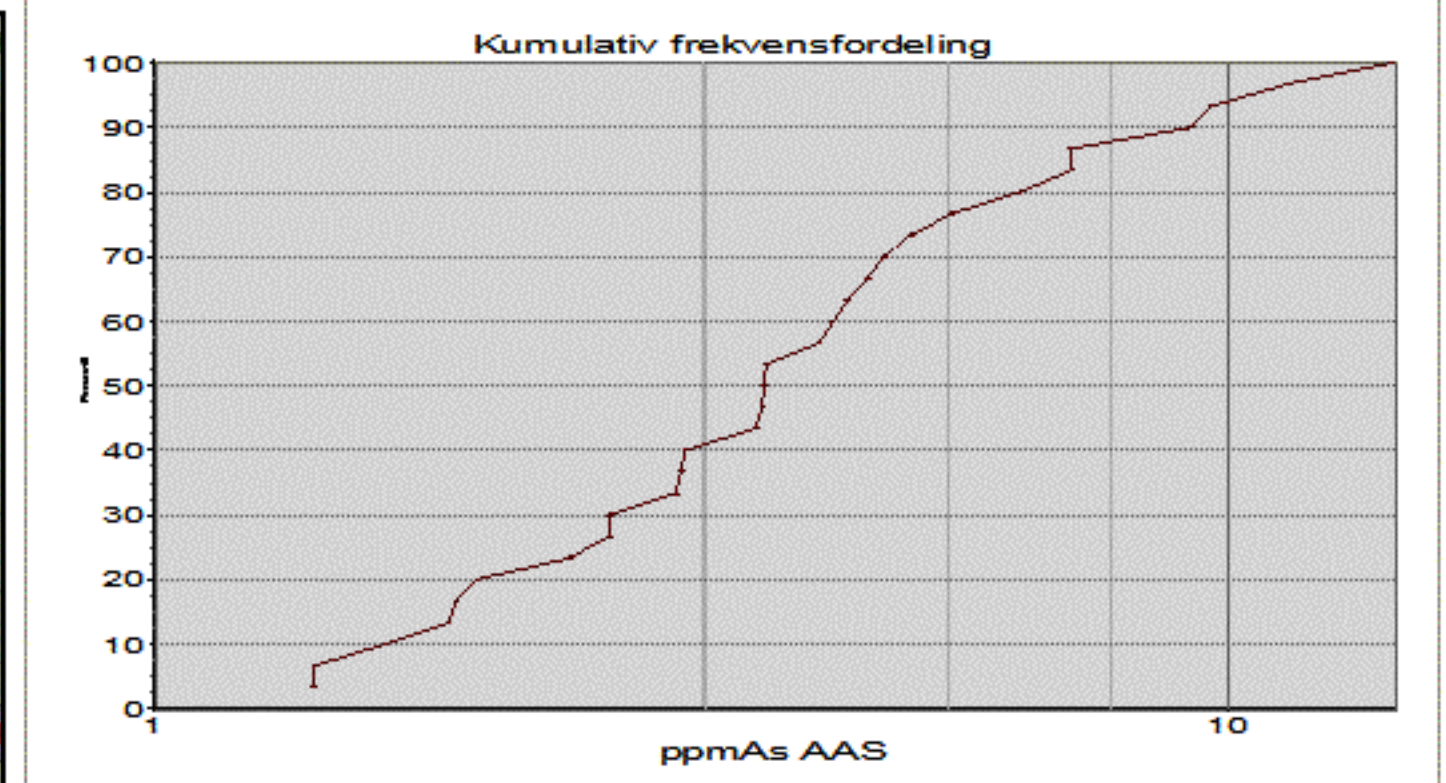
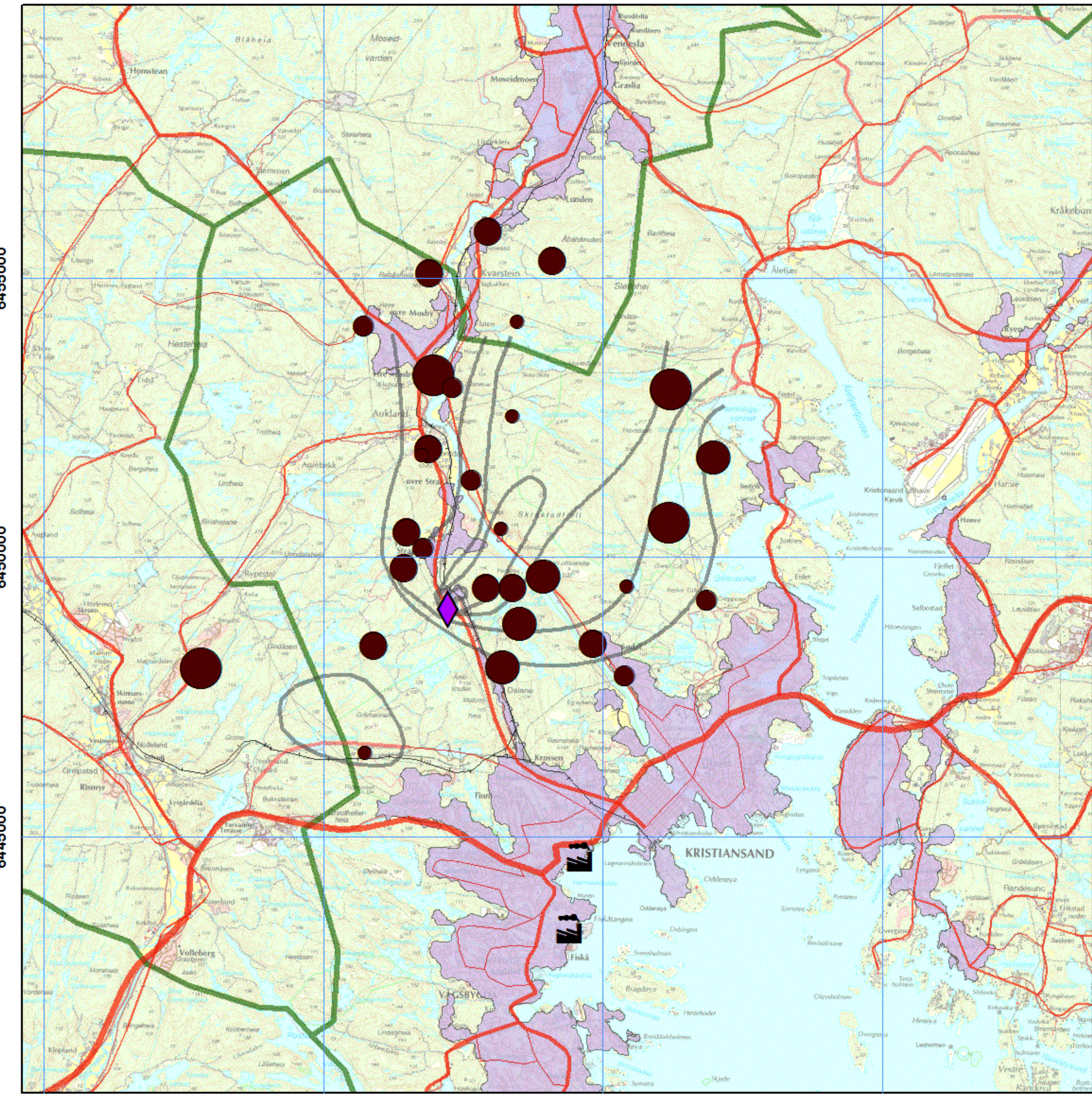
Prøve id.	As mg/kg	Cd mg/kg	Pb mg/kg
RTK26	3,1	< 0,02	1,61
RTK27	1,9	0,19	25,5
RTK28	6,4	0,07	43,9
RTK29	1,4	0,16	21,5
RTK30	3,1	0,20	29,8

Prøve ID	Hg [mg/kg]
RTK01	0,017
RTK02	0,065
RTK03	0,056
RTK04	0,062
RTK05	0,079
STD KDF	0,697
STD Hynne	0,021
RTK06	0,042
RTK07	0,046
RTK08	0,021
RTK09	0,009
RTK10	0,037
STD KDF	0,680
STD Hynne	0,023
RTK11	0,057
RTK12	0,028
RTK13	0,017
RTK14	0,036
RTK15	0,038
STD KDF	0,670
STD Hynne	0,021
RTK16	0,062
RTK17	0,041
RTK18	0,028
RTK19	0,026
RTK20	0,066
STD KDF	0,647
STD Hynne	0,021
RTK21	0,024
RTK22	0,107
RTK23	0,029
RTK24	0,043
RTK25	0,044
STD KDF	0,658
STD Hynne	0,021
RTK26	< 0,005
RTK27	0,056

Prøve ID	Hg [mg/kg]
RTK28	0,048
RTK29	0,024
RTK30	0,040

## **Vedlegg 5**

Kart over analysedata for As, Cd, Cr, Cu, Hg, Ni, Pb, Zn,  
PAH SUM16 og dioksiner. 10 kart.



### Jordprøver 0-2 cm <2mm

**Arsen HNO<sub>3</sub>-extr**

**ppmAs AAS**

- 1,4 - 2,0
- 2,1 - 3,1
- 3,2 - 5,1
- 5,2 - 7,1
- 7,2 - 14,2

**Landemerker**

■ Nikkelverk, Fiskå Verk

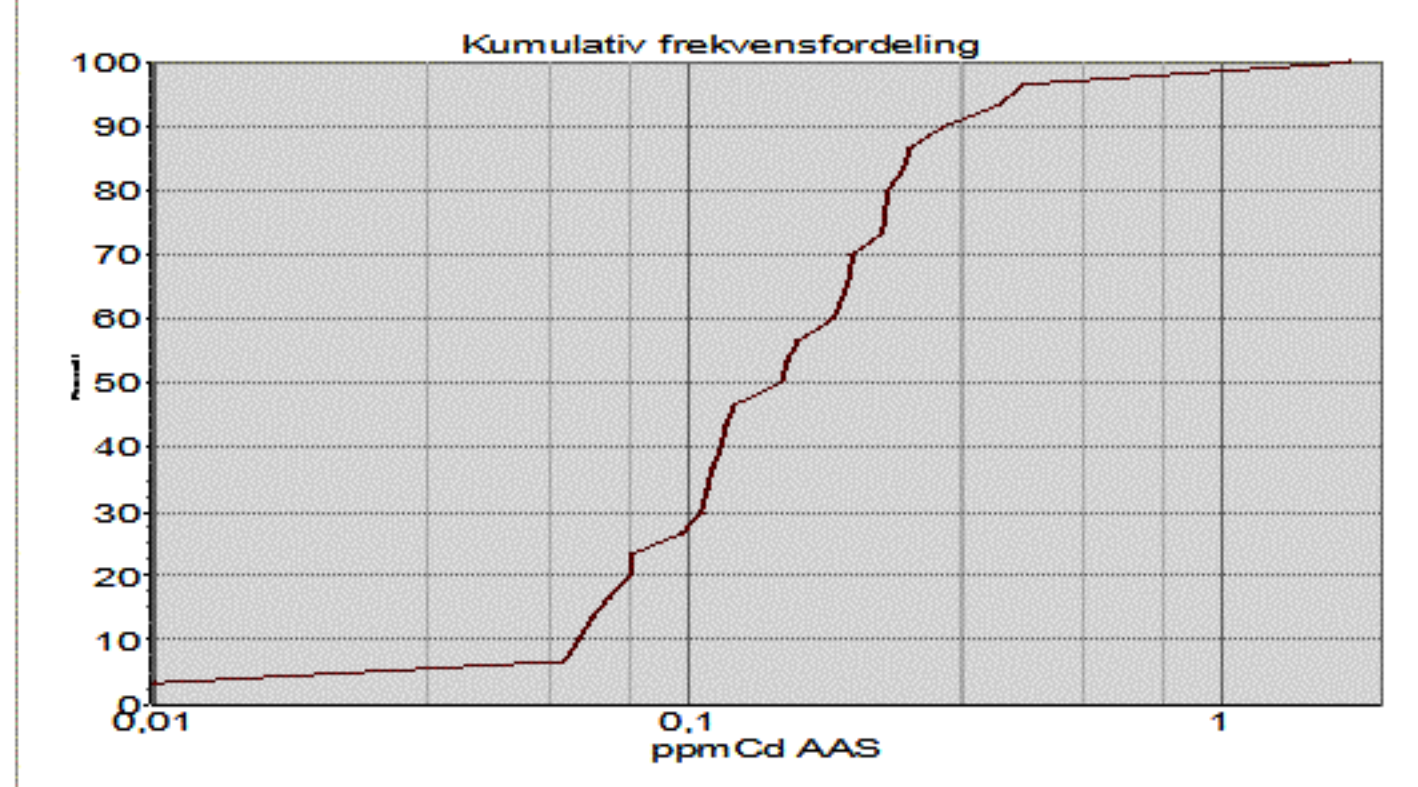
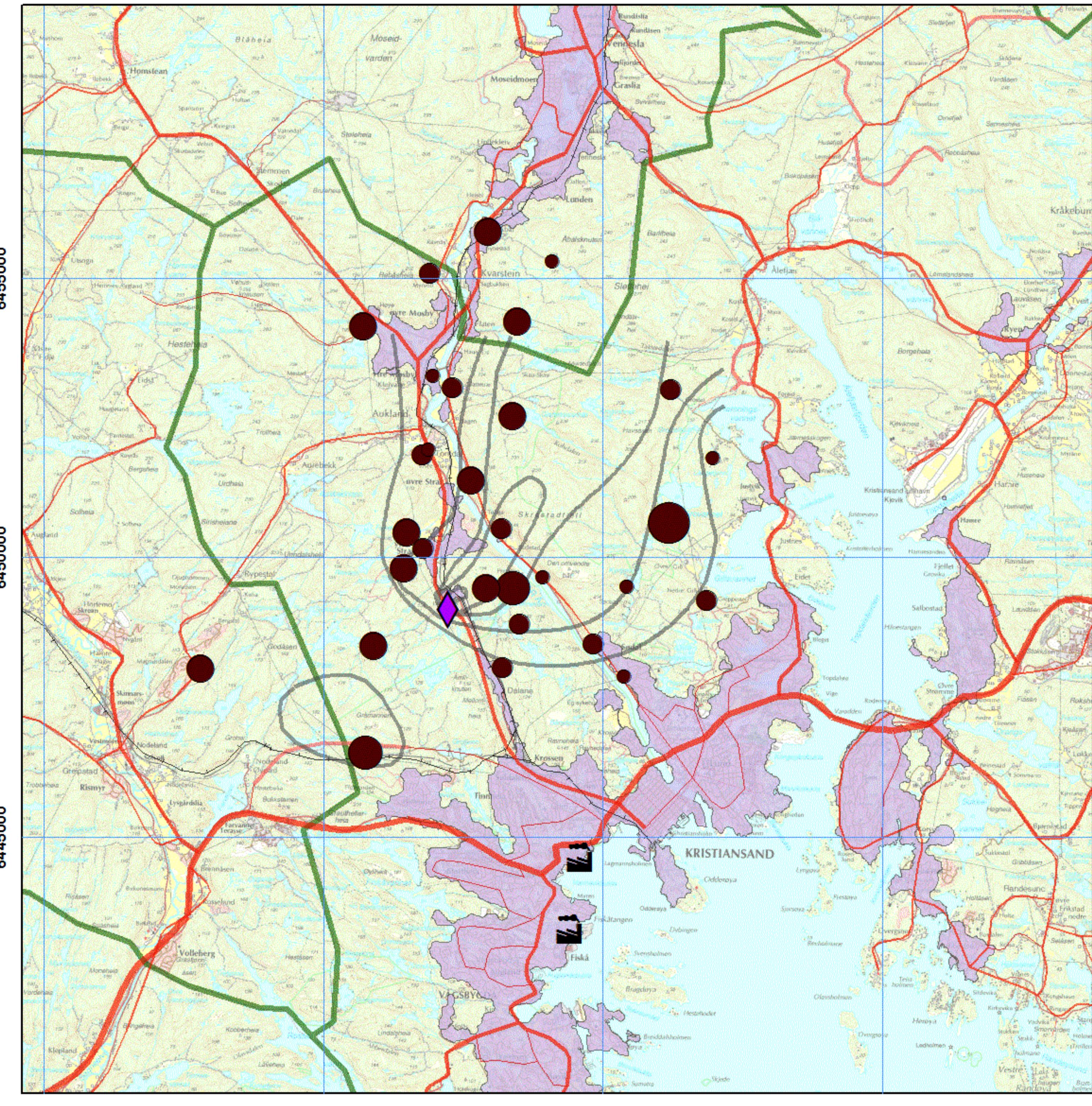
◆ Returkraft Langemyr

— NILU 2006

km

0 1,5 3 6

NGU20100318TEF



### Jordprøver 0-2 cm <2mm

#### Kadmium HNO<sub>3</sub>-extr

#### ppmCd AAS

- 0,01 - 0,08
- 0,09 - 0,16
- 0,17 - 0,30
- 0,31 - 0,43
- 0,44 - 1,74

#### Landemerker

■ Nikkelverk, Fiskå Verk

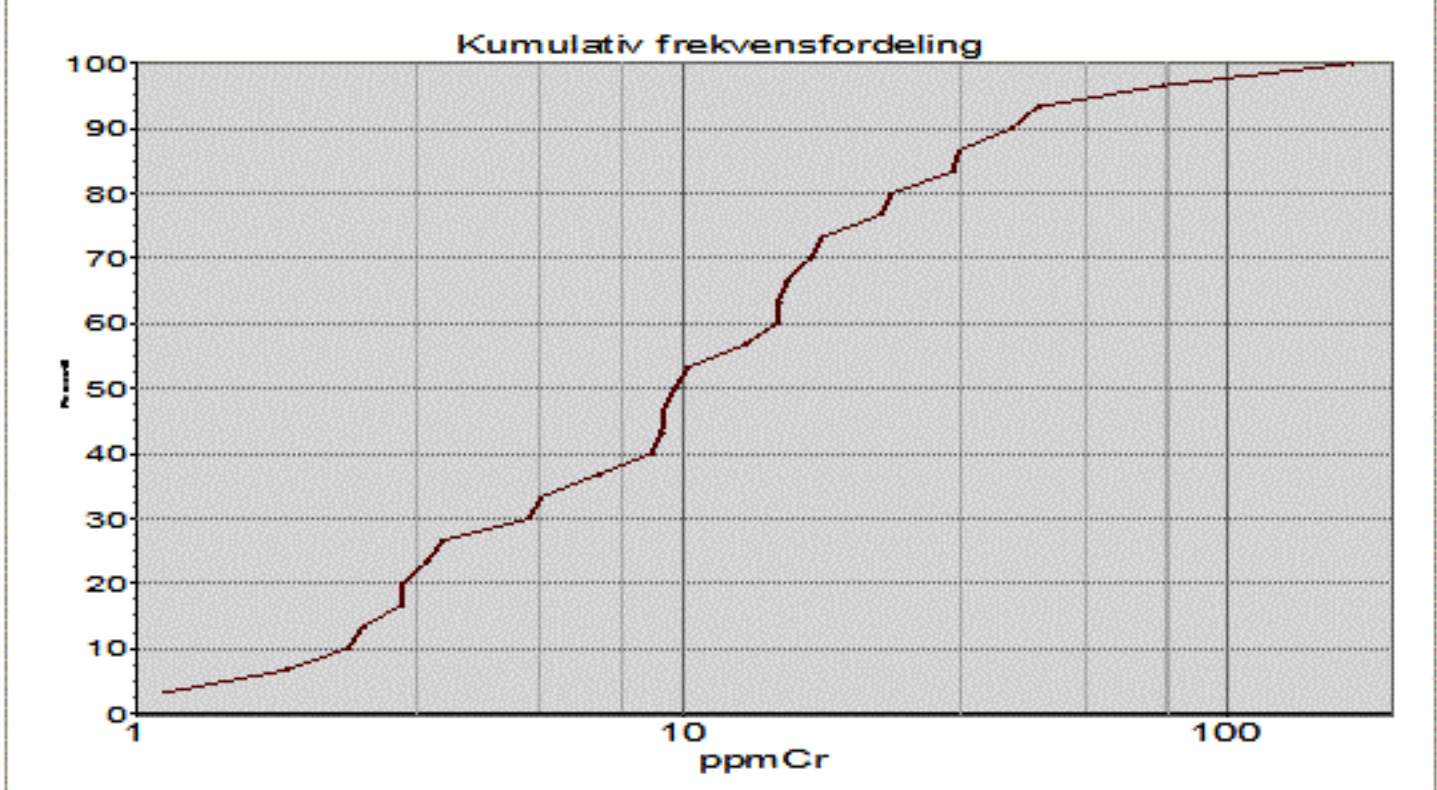
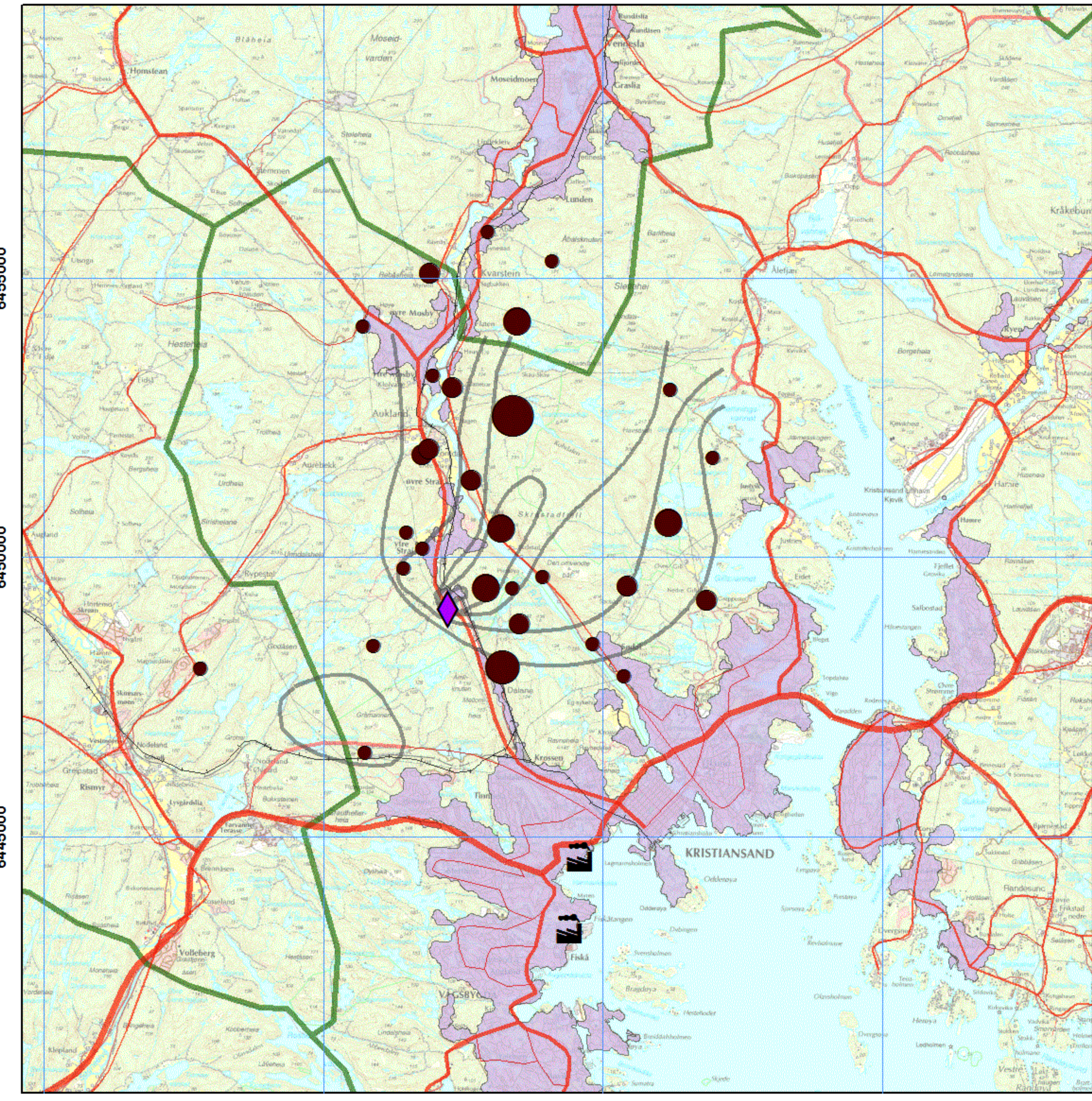
◆ Returkraft Langemyr

— NILU 2006

km

0 1,5 3 6

NGU20100318TEF



### Jordprøver 0-2 cm <2mm

#### Krom HNO<sub>3</sub>-extr

#### ppmCr

- 1,1 - 10,3
- 10,4 - 24,3
- 24,4 - 45,0
- 45,1 - 76,4
- 76,5 - 169,0

#### Landemerker

■ Nikkelverk, Fiskå Verk

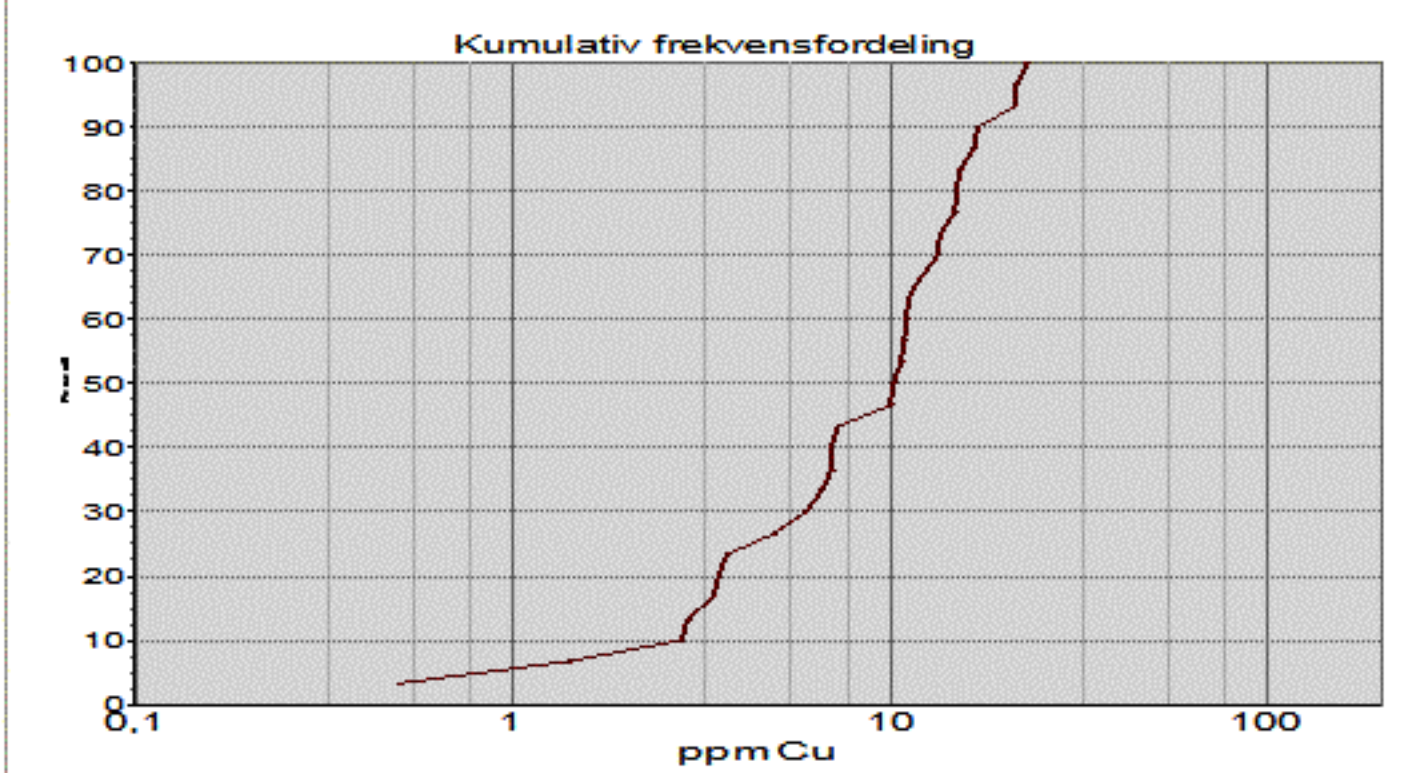
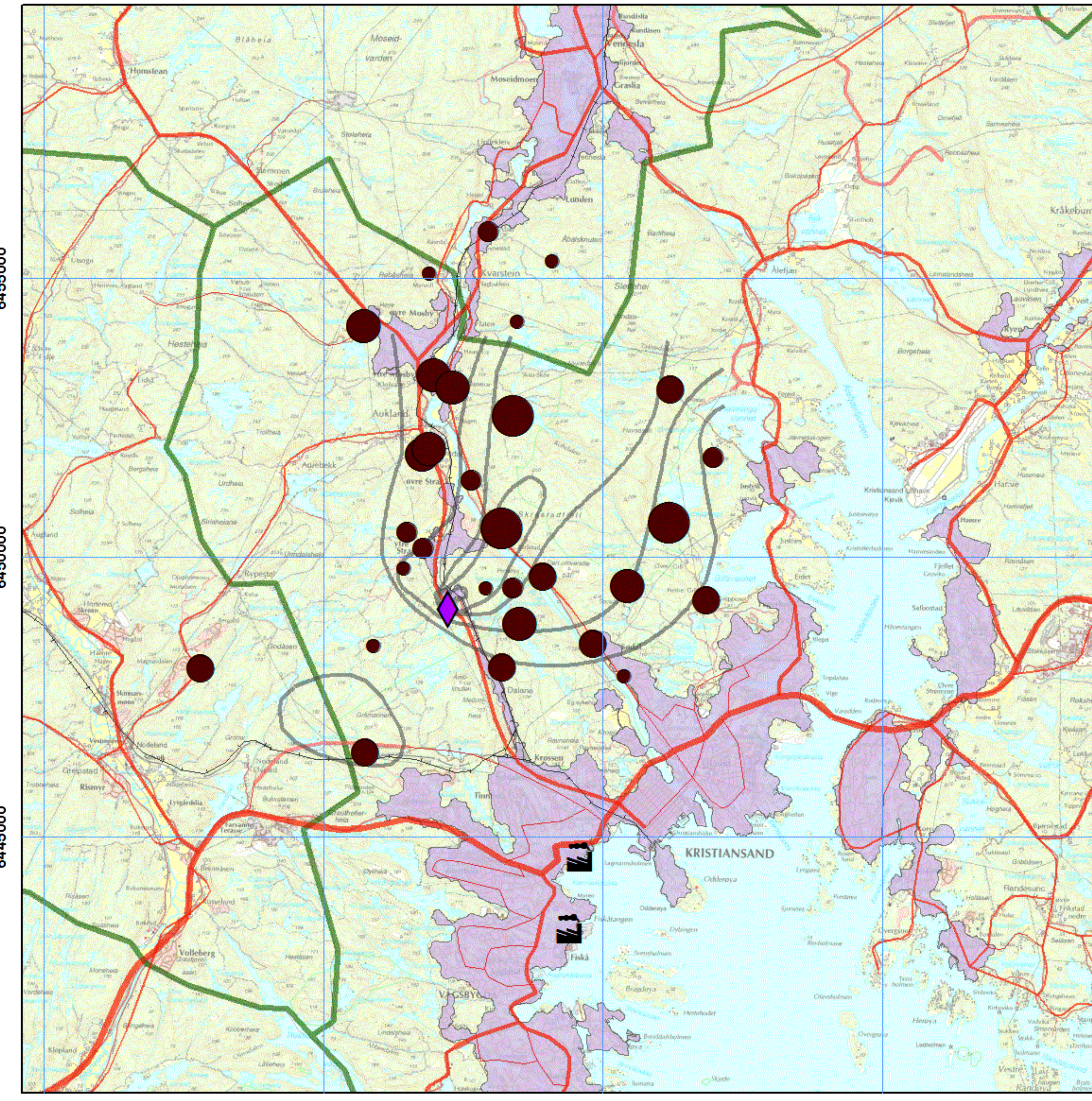
◆ Returkraft Langemyr

— NILU 2006

km

0 1,5 3 6

NGU20100318TEF



### Jordprøver 0-2 cm <2mm

#### Kobber HNO<sub>3</sub>-extr

#### ppmCu

- 0,5 - 3,7
- 3,8 - 7,3
- 7,4 - 12,1
- 12,2 - 17,0
- 17,1 - 23,1

#### Landemerker

Nikkelverk, Fiskå Verk

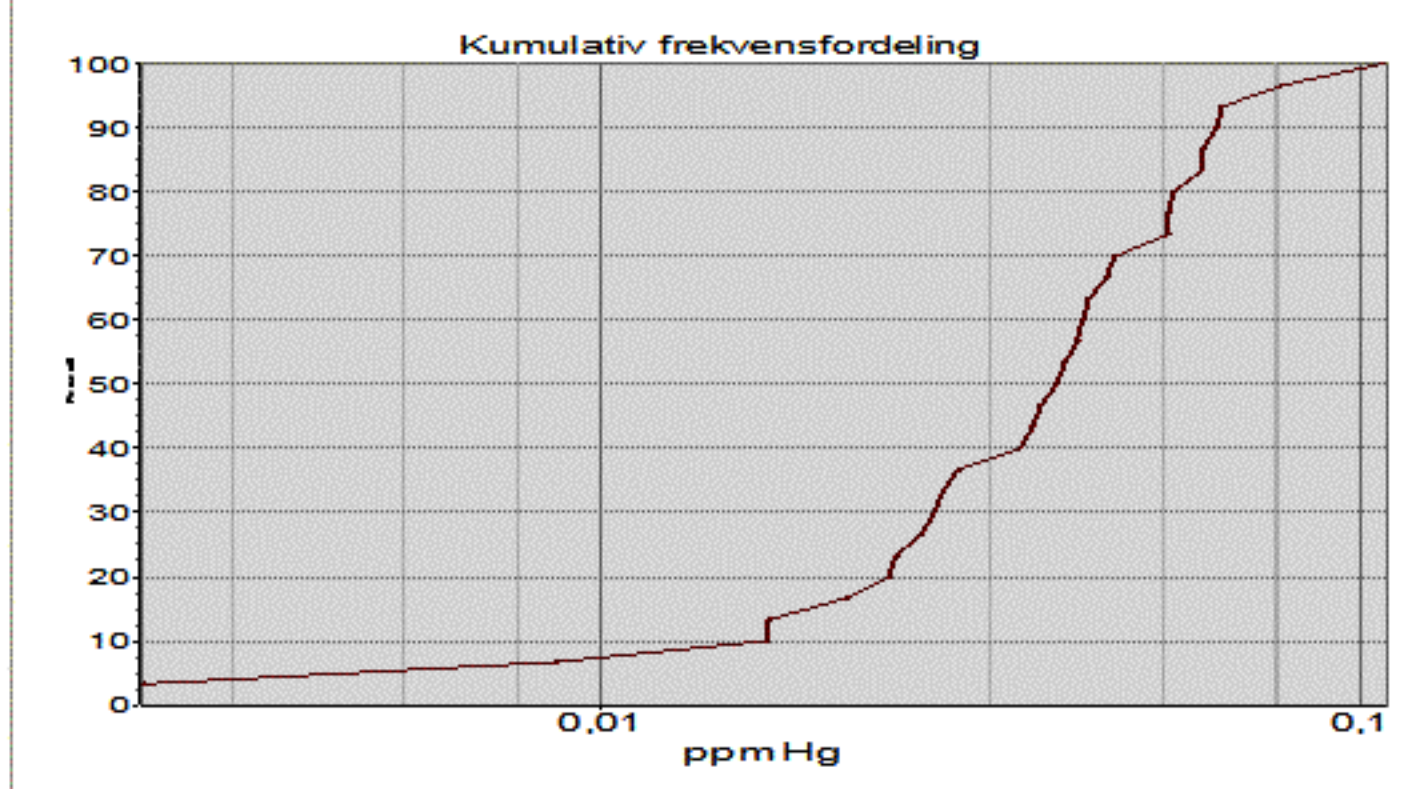
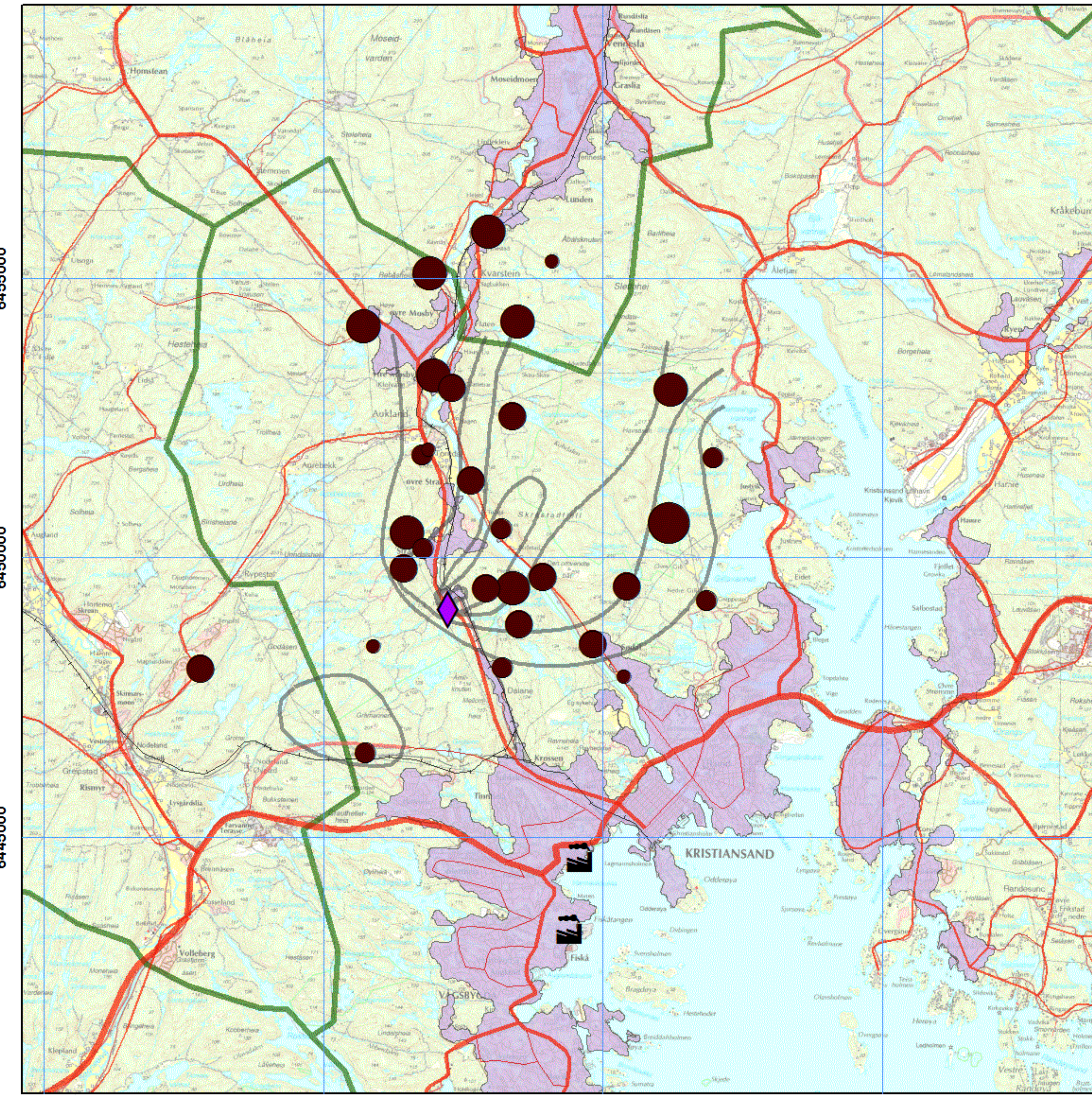
Returkraft Langemyr

NILU 2006

km

0 1,5 3 6

NGU20100318TEF



### Jordprøver 0-2 cm <2mm

#### Kvikksølv HNO<sub>3</sub>-extr

#### ppmHg

- 0,003 - 0,017
- 0,018 - 0,029
- 0,030 - 0,048
- 0,049 - 0,079
- 0,080 - 0,107

#### Landemerker

■ Nikkelverk, Fiskå Verk

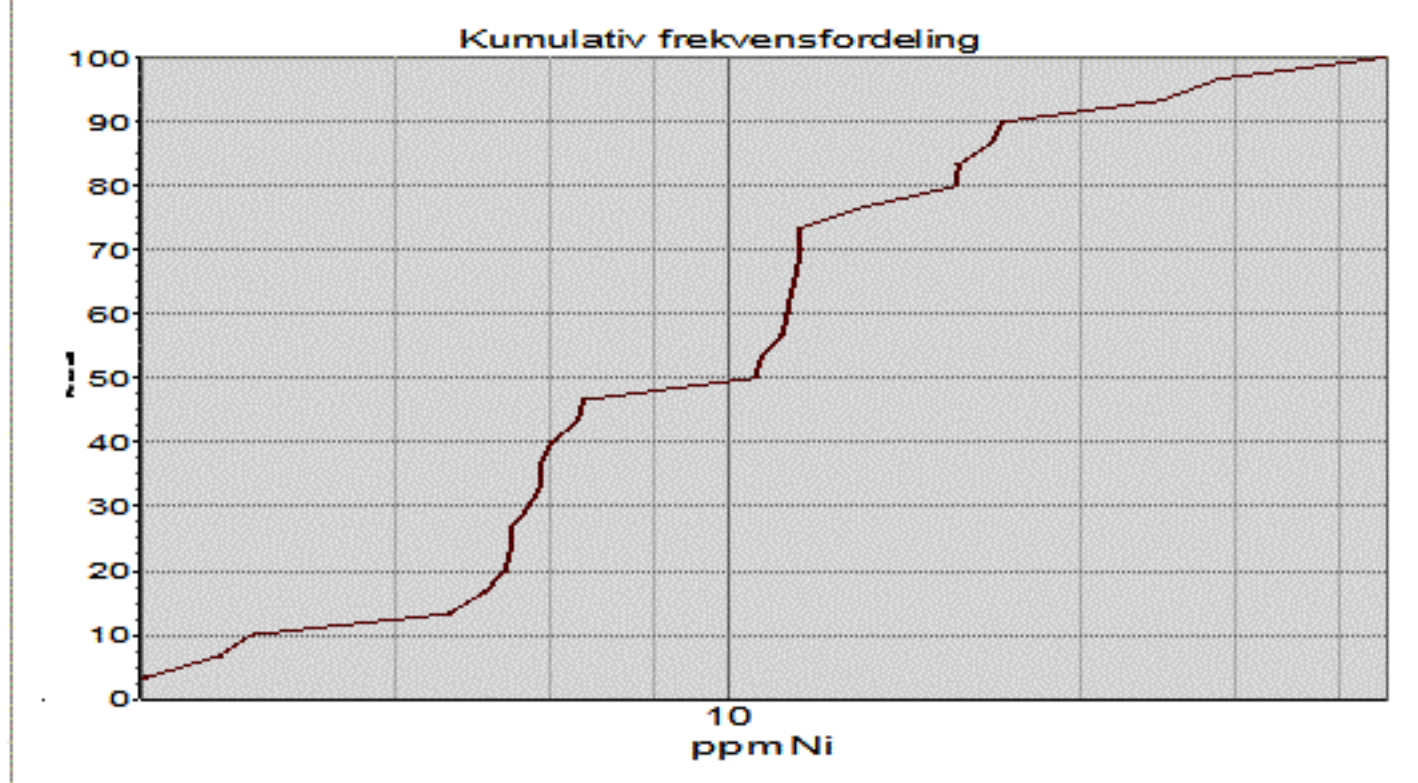
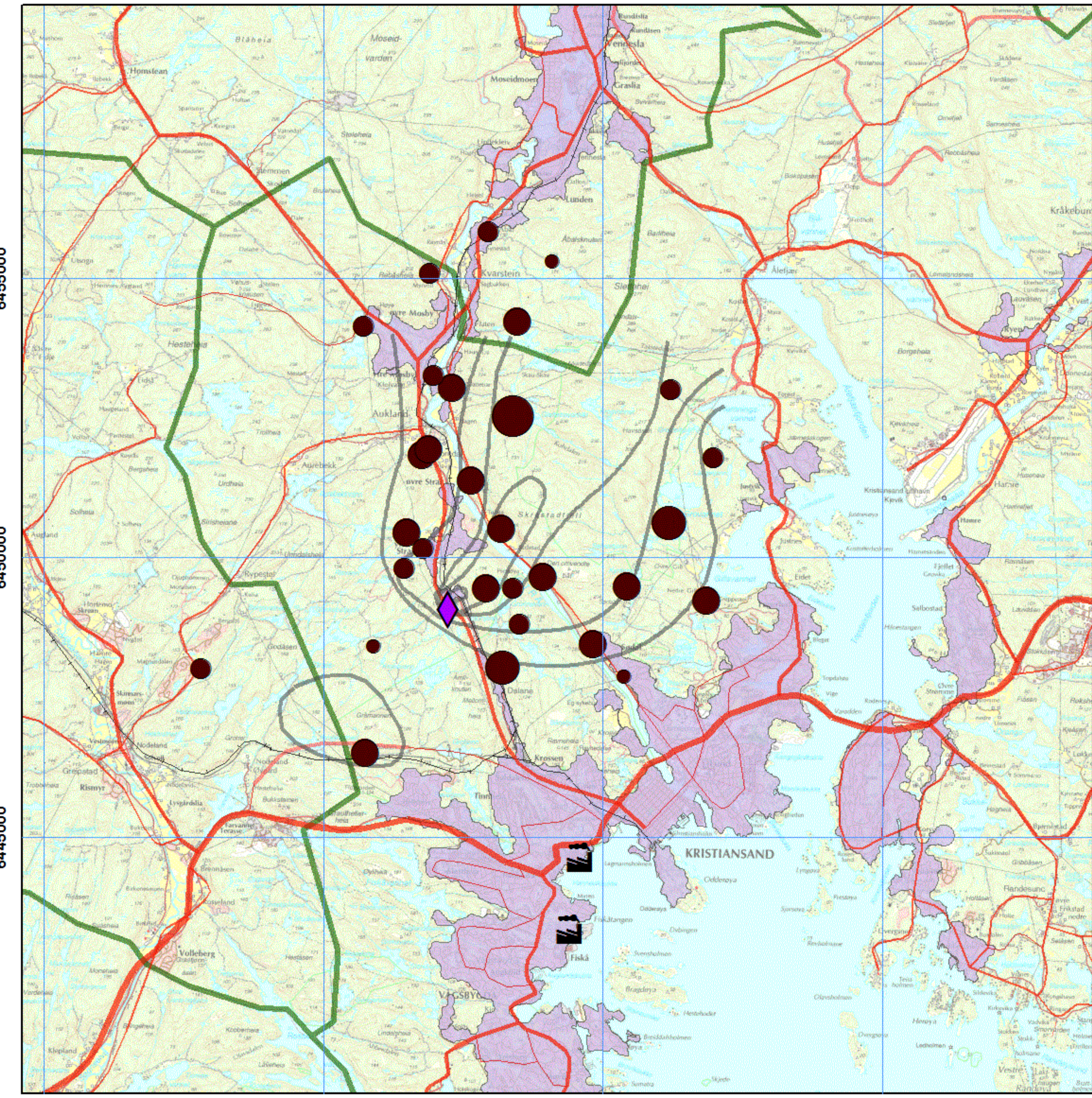
◆ Returkraft Langemyr

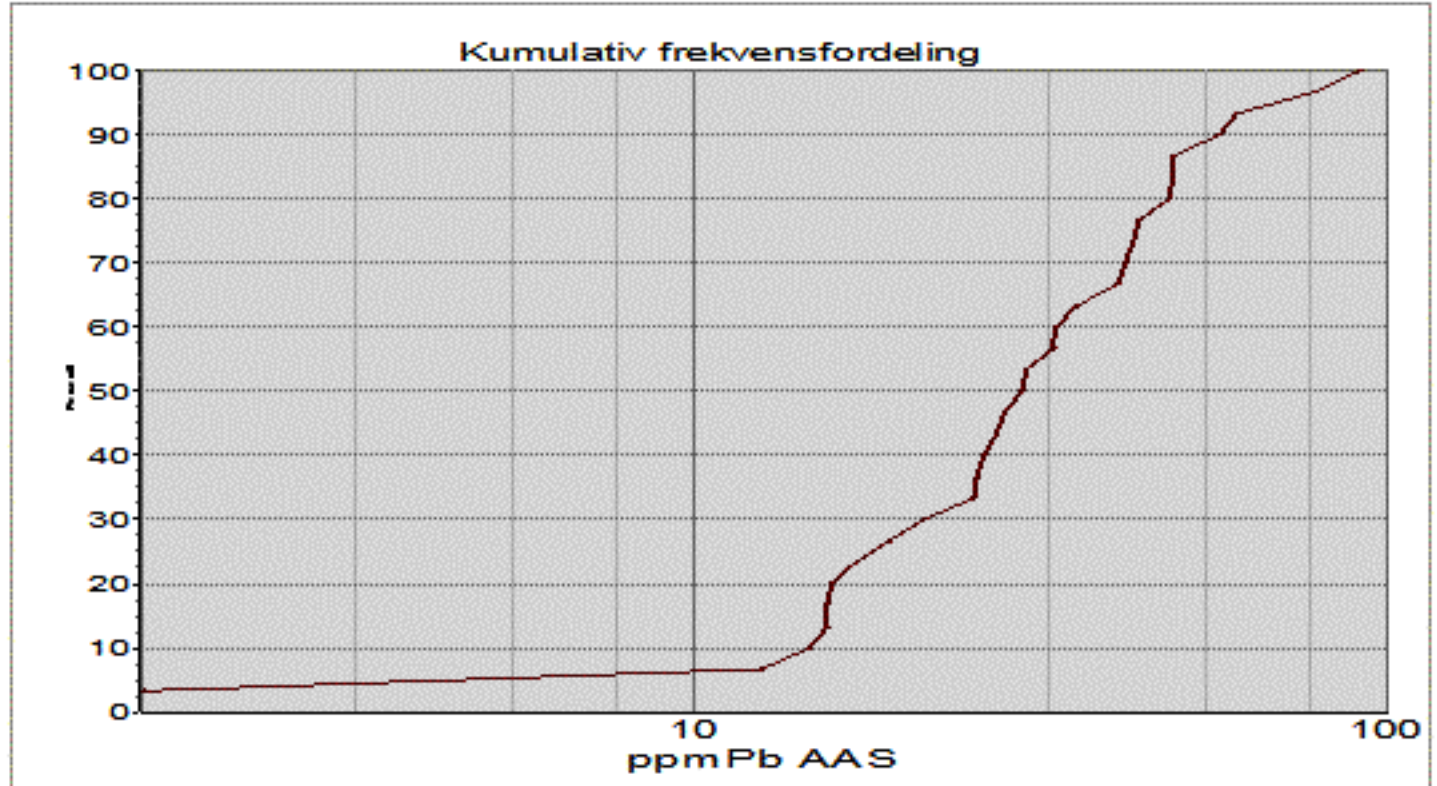
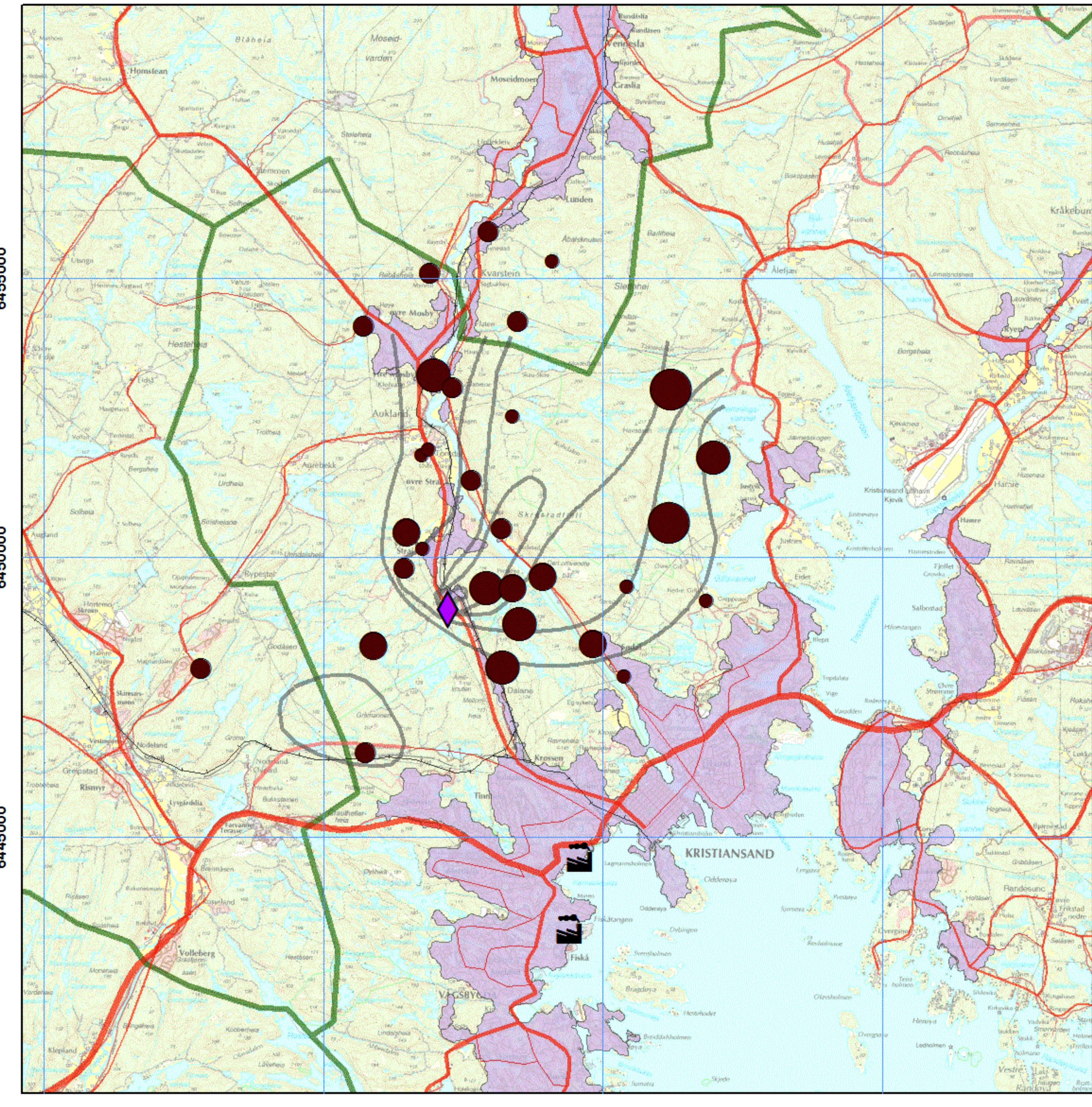
— NILU 2006

km

0 1,5 3 6

NGU20100318TEF





### Jordprøver 0-2 cm <2mm

#### Bly HNO<sub>3</sub>-extr

#### ppmPb AAS

- 1,6 - 19,0
- 19,1 - 33,3
- 33,4 - 43,9
- 44,0 - 60,8
- 60,9 - 91,4

#### Landemerker

■ Nikkelverk, Fiskå Verk

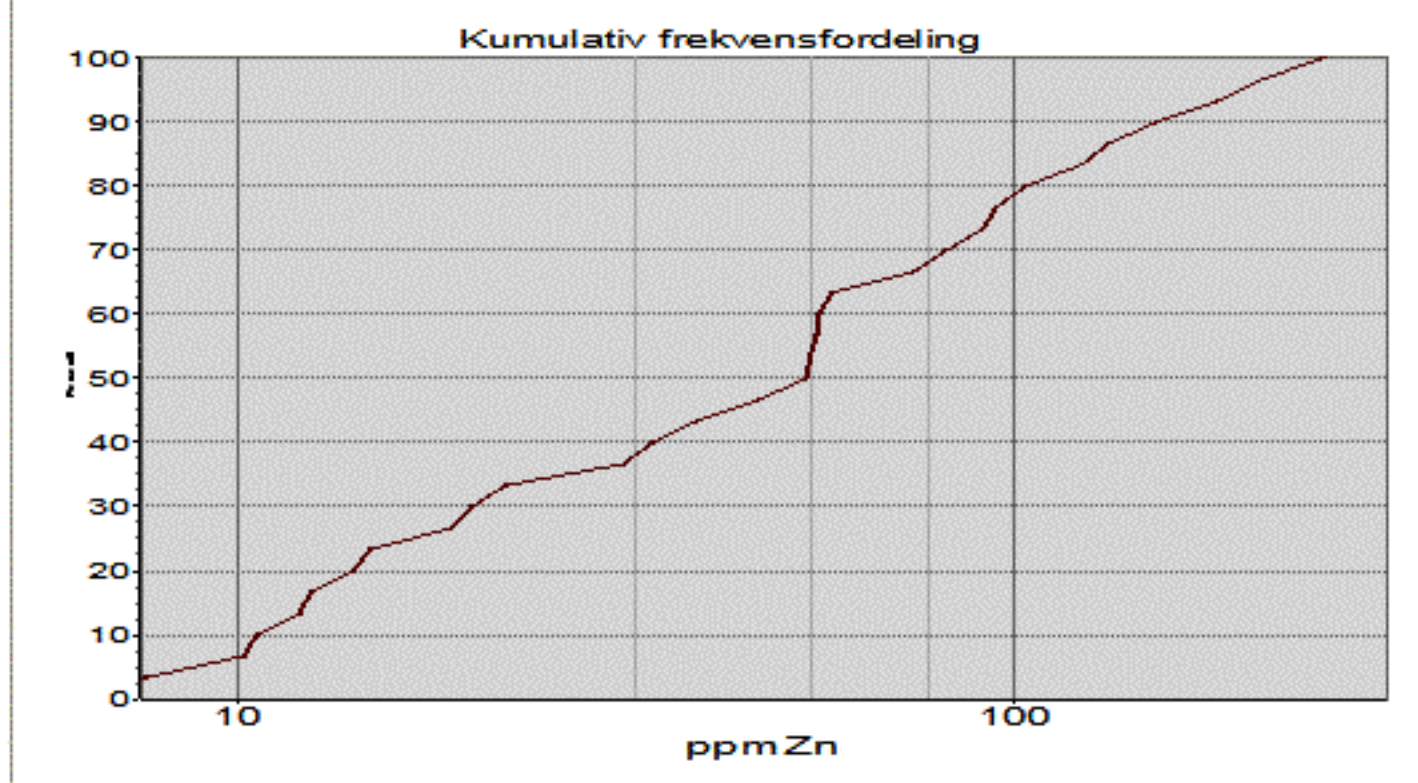
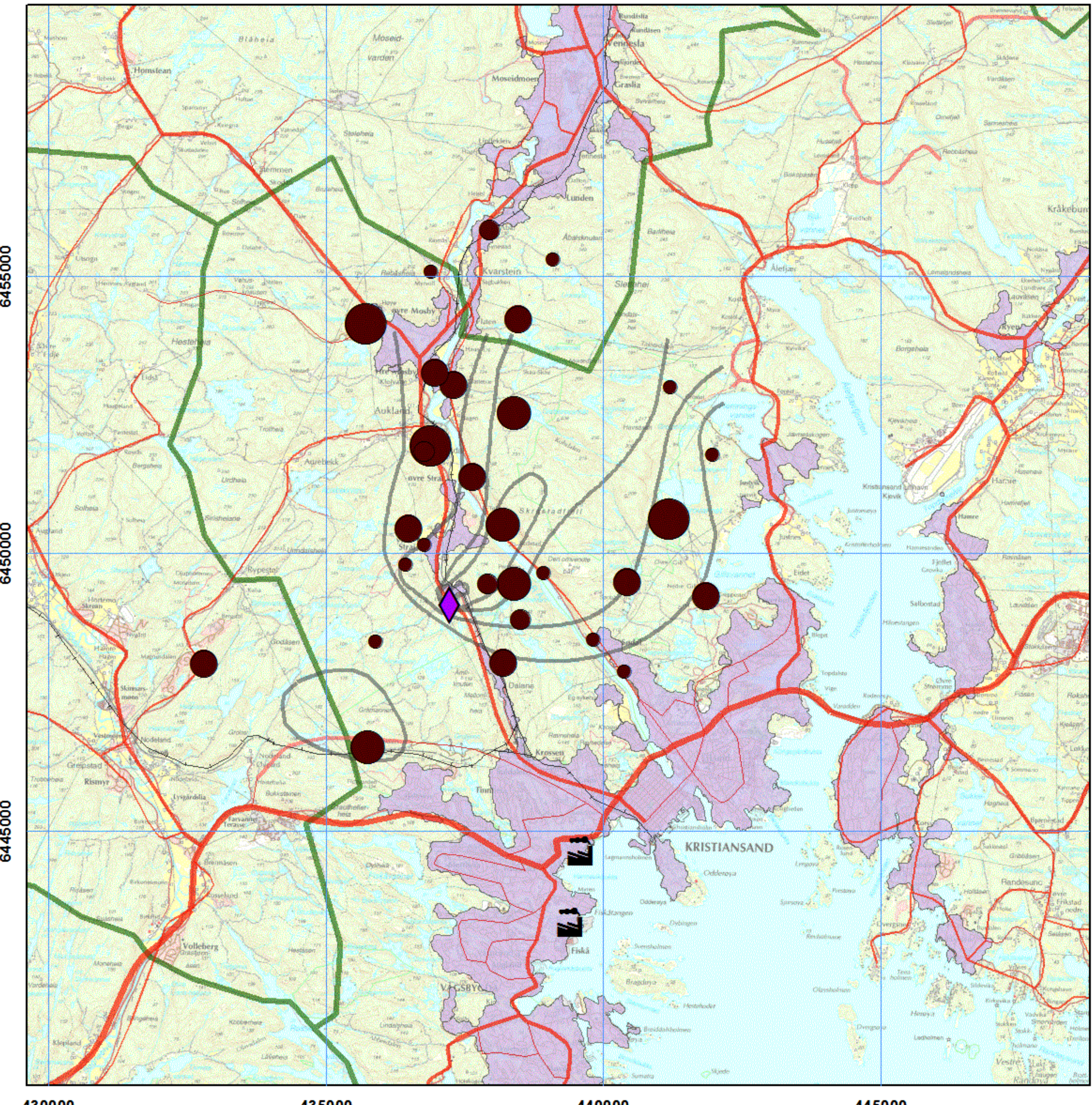
◆ Returkraft Langemyr

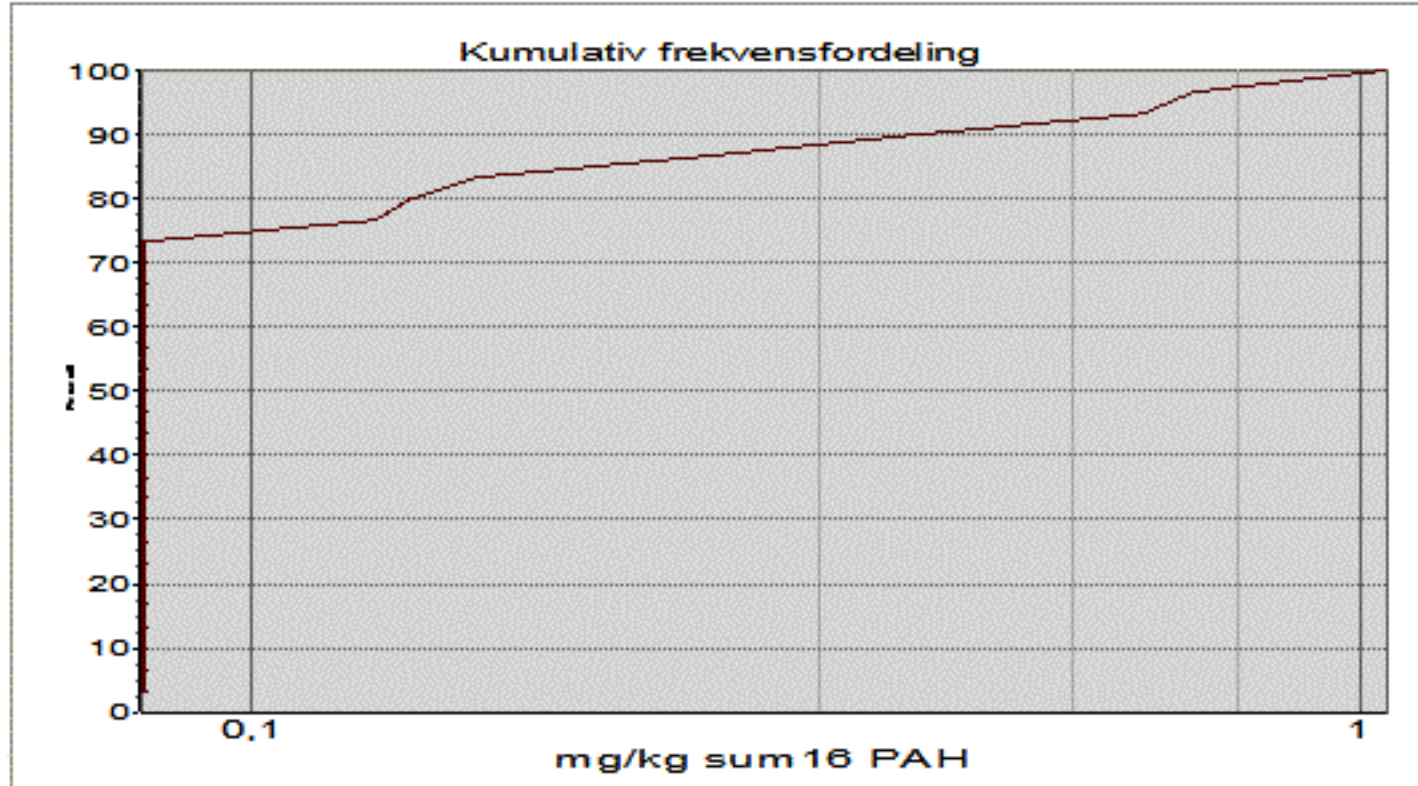
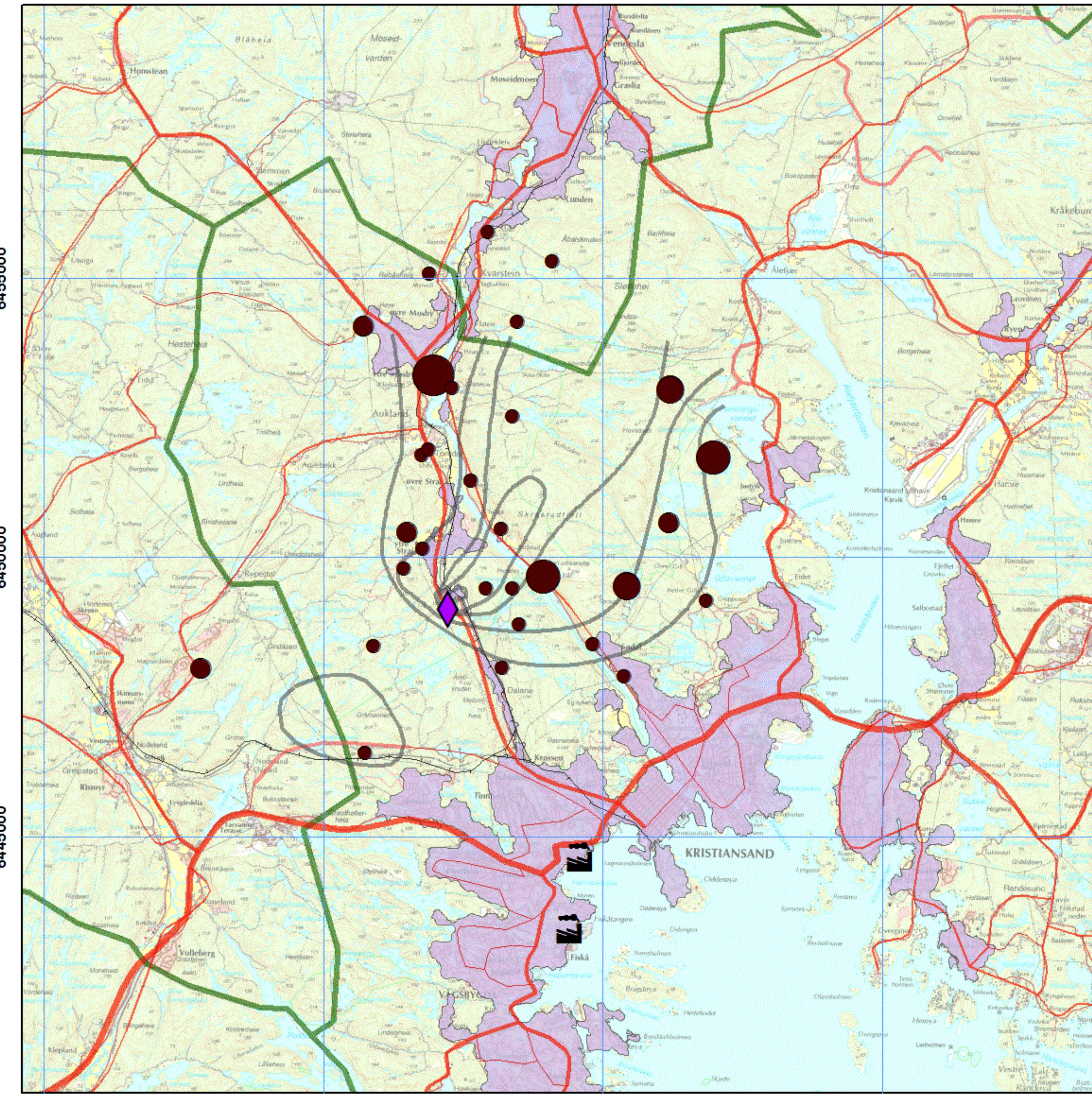
— NILU 2006

km

0 1,5 3 6

NGU20100318TEF





### Jordprøver 0-2 cm

#### 16 PAH

#### ppm sum16PAH

- <0,150
- 0,151 - 0,160
- 0,161 - 0,320
- 0,321 - 0,735
- 0,736 - 0,985

#### Landemerker

■ Nikkelverk, Fiskå Verk

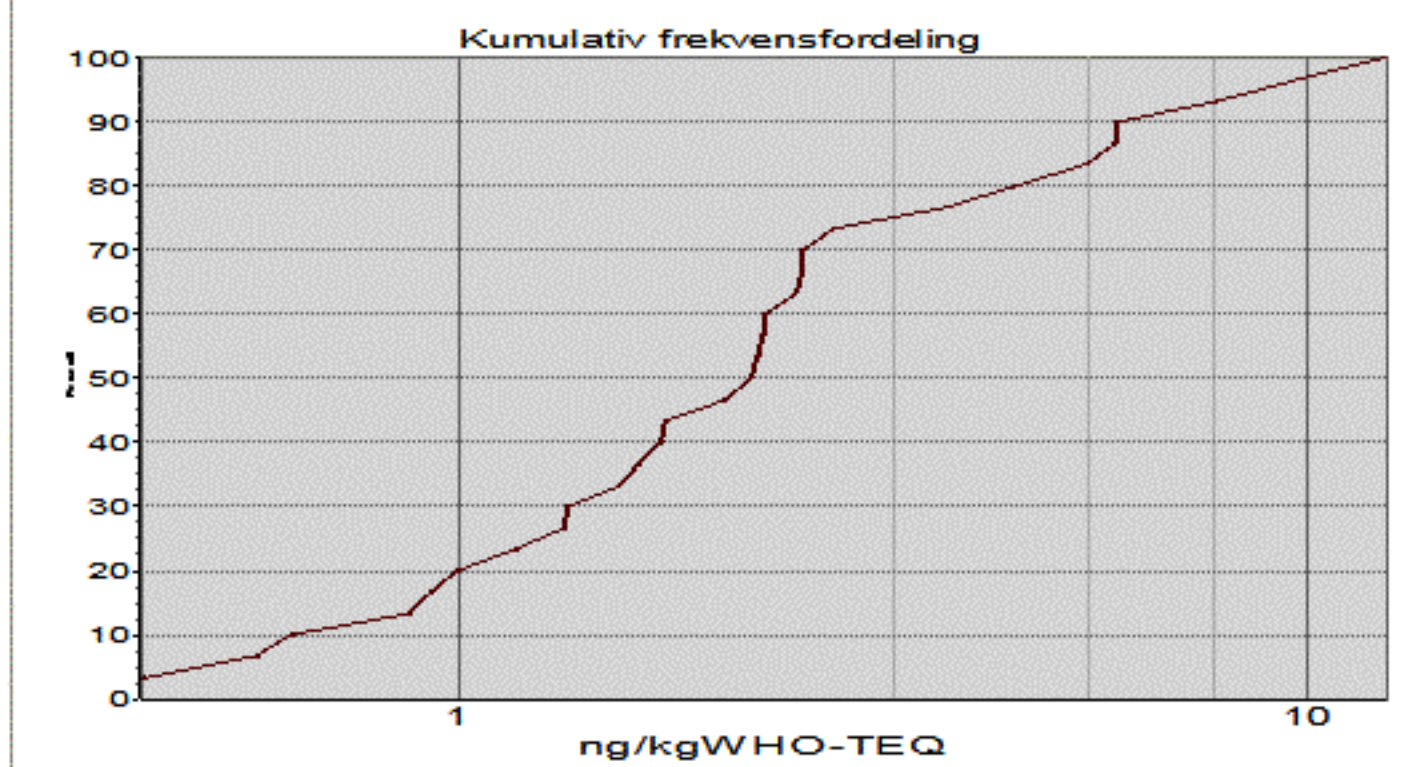
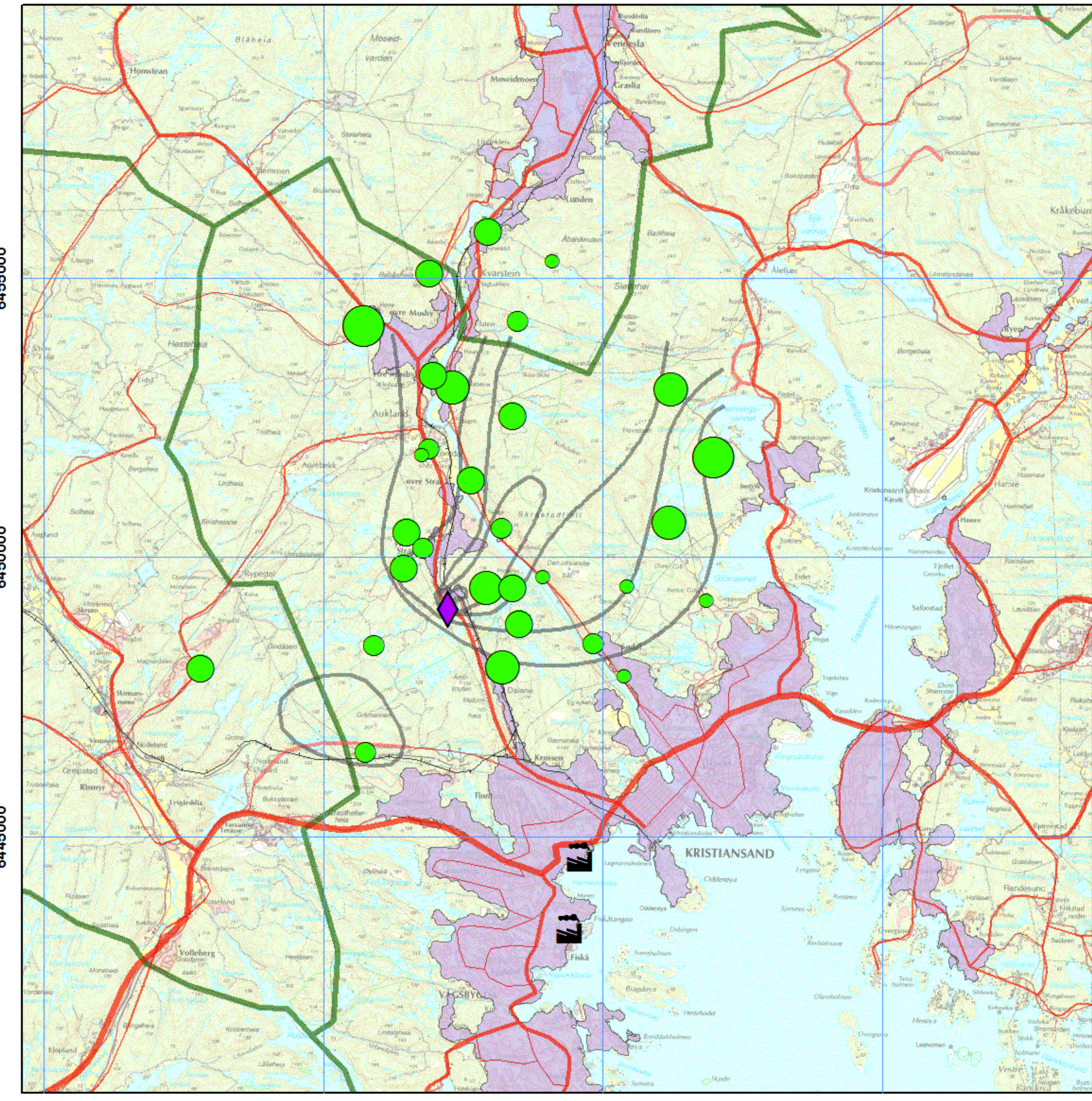
◆ Returkraft Langemyr

— NILU 2006

km

0 1,5 3 6

NGU20100318TEF



### Jordprøver 0-2 cm

#### Dioxin

ng/kg WHO\_TEQ

- 0,425 - 0,993
- 0,994 - 1,745
- 1,746 - 3,754
- 3,755 - 7,859
- 7,860 - 12,248

#### Landemerker

■ Nikkelverk, Fiskå Verk

◆ Returkraft Langemyr

— NILU 2006

km

0 1,5 3 6

NGU20100318TEF

## **Vedlegg 6**

Kumulative frekvensdiagrammer for As, Cd, Cr, Cu, Hg, Ni, Pb, Zn, PAH SUM16 og dioksiner. 10 diagrammer.

